



دانشکده عمران و معماری

گروه مهندسی عمران - کاریش سازه های هیدرولیکی

بررسی عددی جریان آشفته در کانالهای غیربدور

دانشجو: سکینه عمارلو

استاد راهنما:

دکتر رامین امینی

استاد مشاور:

دکتر محمود نوروزی

پایان نامه ارشد جهت اخذ درجه کارشناسی ارشد

۹۱ تیر



دانشکده صنعتی شاهرود
دانشکده عمران و معماری
گروه مهندسی عمران

پایان نامه کارشناسی ارشد سکینه عمارلو

تحت عنوان:

بررسی عددی جریان آشفته در کانالهای غیرمدور

در تاریخ **_____**
توسط کمیته تخصصی زیر جهت اخذ مدرک کارشناسی ارشد مورد
ارزیابی و بادرجه **_____**
پذیرش قرار گرفت.

امضا	اساتید راهنما
	نام و نام خانوادگی: دکتر رامین امینی

امضا	نماينده تحصيلات تكميلي	امضا	اساتيد داور
	نام و نام خانوادگی: مهندس عباس محمدی		نام و نام خانوادگی:
			نام و نام خانوادگی:
			نام و نام خانوادگی:
			نام و نام خانوادگی:

تقدیم اثر

تقدیم به سه وجود مقدس:

... آنان که ناتوان شدند تا مابه تو ای برسیم

... موہیشان پسید شد تا مارو پسید شویم

... و عاشقانه سوختند تا کریم خش وجود ما و روشنگر راهمان باشند

پدر ایمان

مادر ایمان

استاد ایمان

تشکر و قدردانی

خداآوند مهربان را شاکرم که مرا نیرو بخشید تا نگارش پایان نامه پیش رو را به اتمام برسانم. بر خود لازم می دانم کمال تقدیر و تشکر خود را نثار کسانی کنم که در این مسیر پر فراز و نشیب از راهنمایی، پشتیبانی و تشویق من دریغ نکردند. از استاد بزرگوارم، آقای دکتر امینی، و استاد بردبارم آقای دکتر نوروزی که در تمام این مدت تجارت‌شان را که سرشار از آموختن توامان علم و اخلاق بود، در اختیارم گذاشتند، نهایت تشکر را دارم.

از آقای مهندس شتاب بوشهری بابت همکاری و راهنمایی در نرم افزار سپاسگزاری می نمایم.
امید است که این تحقیق، راه گشای کسانی باشد که در آینده در این مسیر گام می نهند.

تعهدنامه

اینجانب سکینه عمارلو دانشجوی دوره کارشناسی ارشد رشته مهندسی عمران - گرایش سازه های هیدرولیکی دانشکده عمران و معماری دانشگاه صنعتی شاهرود نویسنده پایان نامه "بررسی عددی جریان آشفته در کانالهای غیرمدور" تحت راهنمایی آقای دکتر رامین امینی به عنوان استاد راهنما و دکتر محمود نوروزی به عنوان مشاور متعهد می شوم:

- تحقیقات در این پایان نامه توسط اینجانب انجام شده و از صحت و اصالت برخوردار است.
- در استفاده از نتایج پژوهش‌های محققان دیگر به مرجع مورد استفاده استناد شده است.
- مطالب مندرج در پایان نامه تاکنون توسط خود یا فرد دیگری برای دریافت هیچ نوع مدرک یا امتیازی در هیچ جا رائمه نشده است.
- کلیه حقوق معنوی این اثر متعلق به دانشگاه صنعتی شاهرود می باشد و مقالات مستخرج با نام "دانشگاه صنعتی شاهرود" و یا "Shahrood University of Technology" به چاپ خواهد رسید.
- حقوق معنوی تمام افرادی که در به دست آمدن نتایج اصلی پایان نامه تاثیرگذار بوده اند در مقالات مستخرج از پایان نامه رعایت می گردد.
- در کلیه مراحل انجام این پایان نامه، در مواردی که از موجود زنده (یا بافت های آن) استفاده شده است ضوابط و اصول اخلاقی رعایت شده است.
- در کلیه مراحل انجام پایان نامه، در مواردی که به حوزه اطلاعات شخصی افراد دسترسی یافته یا استفاده شده است اصل رازداری، ضوابط و اصول اخلاق انسانی رعایت شده است.

تاریخ :

امضای دانشجو

مالکیت نتایج و حق نشر

- کلیه حقوق معنوی این اثر و محصولات آن (مقالات مستخرج، کتاب، برنامه های رایانه ای، نرم افزار و تجهیزات ساخته شده است) متعلق به دانشگاه صنعتی شاھرود می باشد. این مطلب باید به نحو مقتضی در تولیدات علمی مربوطه ذکر شود.
- استفاده از اطلاعات و نتایج موجود در پایان نامه بدون ذکر مرجع مجاز نمی باشد.

چکیده

تجربه های آزمایشگاهی نشان می دهد که جریان های طولی توسعه یافته آشفته، در کanal های غیر دایره ای سبب ایجاد جریان های ثانویه می شوند. این جریان های ثانویه ممتد و حرارت را از مرکز کanal به سمت کناره ها هدایت می نمایند و در نتیجه از لحاظ مهندسی قابل توجه می باشند. تحقیقات نشان می دهند که برای مدلسازی عددی جریان های ثانویه لازم است که اولاً کanal غیر دایره ای باشد، ثانیاً جریان آشفته باشد، ثالثاً جریان به صورت کاملاً توسعه یافته درآید (جریان طول زیادی از کanal را بپیماید). اکثر تحقیقات گذشته روی کanal های مربع مرکز شده است ولی در این تحقیق انواع شکل ها شامل مربع، مستطیل، پنج ضلعی منتظم، شش ضلعی منتظم، هشت ضلعی منتظم و دوازده ضلعی منتظم در نظر گرفته شده اند. هدف این بوده که نشان دهیم هر چه تعداد اضلاع زیاد شوند و شکل به دایره نزدیک شود، اهمیت این جریان ها کاهش می یابد. همچنین در قسمت دیگری از این پایان نامه اثر گرد گوشه کردن اشکال بررسی شده است و نشان داده شده که تا چه حدودی گرد کردن گوشه ها سبب از بین رفتن اهمیت جریان های ثانویه می گردد.

برای انجام مدلسازی از نرم افزار منبع باز^۱ و رایگان OpenFOAM استفاده شده است. دلایل این انتخاب قدرتمند بودن نرم افزار و امکان تغییر کدهای آن بوده است. برای مدلسازی آشفتگی از روش مدلسازی ادی های بزرگ^۲ اسماگورینسکی^۳ استفاده شده که قوی ترین مدل توربولانسی قابل کاربرد موجود می باشد (DNS^۴ برای این کار از لحاظ هزینه غیر ممکن می باشد). برای انجام محاسبات OpenFOAM نیاز به سیستم عامل Linux و یادگیری کار در این محیط و برنامه نویسی فایل های مربوطه می باشد. همچنین حسب مورد نیاز، کدهای لازم برای انجام محاسبات به این نرم افزار به زبان C++ اضافه گردید. برای امکان انجام محاسبات از کامپیوتر i7 CORE استفاده گردید تا این حجم از محاسبات امکان پذیر باشد. در pisoFoam از حل کننده OpenFOAM استفاده گردید که از

1-open source

2-Large Eddy Simulation

3- Smagorinsky

4- Dircet Numeical Simulation

الگوریتم PISO استفاده می نماید. در ابتدا نتایج کanal مربع شکل با کارهای قبلی مقایسه گردید و پس از اطمینان از صحت عملکرد، برای سایر اشکال کanal ها کار مدل سازی صورت گرفت. در نهایت دو مقاله از این تحقیق در دو کنفرانس ارائه گردید و یک مقاله در یک مجله علمی پژوهشی و یک مقاله نیز در کنفرانس انجمن هیدرولیک ایران در حال بررسی می باشد.

كلمات کلیدی:

جريان آشفته، کanal، مقاطع غیر دایره ای، منبع باز OpenFOAM ، شبیه سازی گردابه های بزرگ، گرد کردن گوشه ها

مقالات ارائه شده:

۱- مدل سازی جریان آشفته در یک کanal مربعی مستقیم - دانشگاه آزاد اسلامی، لشت- نشا، زیباکنار،

۲۷ بهمن ۱۳۹۰ (مورد پذیرش قرار گرفت).

۲- مدل سازی ادی های بزرگ جریان آشفته در یک کanal مربعی مستقیم- شیراز ۲۶-۲۸ اردیبهشت

۱۳۹۱ (به (صورت پوستری)

۳- شبیه سازی گردابه های بزرگ جریان آشفته در یک کanal غیر دایره ای مستقیم- مجله علمی

پژوهشی دانشگاه تربیت مدرس (در حال بررسی است).

۴- بررسی عددی جریان آشفته در یک کanal چند ضلعی منظم - یازدهمین کنفرانس هیدرولیک ایران-

ارومیه - آبان ۱۳۹۱ (در حال بررسی است).

فصل اول : کلیات

۲	۱-۱- مقدمه
۴	۱-۲- معادلات حاکم
۵	۱-۳- مروری بر تحقیقات پیشین
۱۴	۱-۴- معرفی تحقیق حاضر
۱۵	۱-۴-۱- کانال

فصل دوم : روش های مدل سازی و معادلات حاکم

۲۰	۲-۱- مقدمه
۲۱	۲-۲- مدل توربولانسی
۲۷	۲-۳- مدل های اغتشاش صفر معادله ای
۳۲	۲-۴- مدل های یک معادله ای
۳۳	۲-۵- مدل های اغتشاش دو معادله ای
۳۴	۲-۵-۱- مدل $k - \epsilon$
۳۵	۲-۵-۲-۱- قابلیت های عمومی مدل استاندارد $k - \epsilon$
۳۷	۲-۵-۲-۲- مدل $k - \omega$
۳۹	۲-۵-۳- مدل $RNG k - \epsilon$
۴۰	۲-۵-۴- ۱- بررسی ویژگی های مدل $RNG k - \epsilon$
۴۱	۲-۵-۴- ۲- روش LES
۴۳	۲-۵-۴-۱-۱- معادلات حاکم
۴۷	۲-۶-۲- شرایط مرزی
۴۹	۲-۶-۱- شرایط مرزی در دیواره های جامد

فصل سوم: روش عددی

۵۱	۱-۳- مقدمه
۵۳	۲-۳- الگوریتم PISO
۵۴	۲-۳- ۱- پیش بینی کننده سرعت
۵۵	۲-۳- ۲- تصحیح کننده
۵۶	۳-۳- نرم افزار OpenFOAM چیست؟
۵۷	۳-۳- ۱- معرفی نرم افزار OpenFOAM
۵۸	۳-۳- ۲- سالورهای OpenFOAM
۵۸	۳-۳- ۳- پس پردازش در OpenFOAM
۵۹	۴-۳- کد نویسی الگوریتم PISO در OpenFOAM
۵۹	۴-۳- ۱- پیش بینی سرعت
۶۰	۴-۳- ۲- حلقه تصحیح کننده
۶۲	۴-۳- ۳- نحوه مش بندی

فصل چهارم: نتایج

۶۵	۱-۴- مقدمه
۶۵	۲-۴- نحوه مش بندی
۶۶	۲-۴- ۱- نحوه چاپ نتایج
۶۸	۲-۴- ۳- نتایج
۶۸	۱-۳- ۴- غیر وابسته بودن حل عددی به شبکه
۶۹	۲-۳- ۴- نحوه مش بندی و نتایج در کanal مقطع مربعی
۷۱	۳-۳- ۴- تأیید نتایج در مقطع مربعی
۷۲	۴-۳- ۴- ارائه نتایج در مقطع مربعی
۷۷	۴-۳- ۵- ارائه نتایج در مقطع مستطیلی

۷۹	۶-۳-۴- ارائه نتایج در مقطع مثلثی
۸۱	۴-۳-۷- ارائه نتایج در مقطع پنج ضلعی
۸۳	۴-۳-۸- ارائه نتایج در مقطع شش ضلعی
۸۵	۴-۳-۹- ارائه نتایج در مقطع هشت ضلعی
۸۷	۴-۳-۱۰- ارائه نتایج در مقطع دوازده ضلعی
۸۹	۴-۳-۱۱- ارائه نتایج در مقطع دایره ای
۹۰	۴-۴- اثر گرد کردن گوشه ها در مقطع
۹۹	فصل پنجم: نتیجه گیری و پیشنهادات
۱۰۰	۵-۱- نتیجه گیری
۱۰۱	۵-۲- پیشنهادات
۱۰۳	پیوست
۱۰۴	الف-۱- OpenFOAM چیست؟
۱۰۵	الف-۲- دانلود و نصب OpenFOAM
۱۰۶	الف-۳- ساختار کلی فولدرها
۱۰۷	الف-۴- حل کننده های OpenFOAM
۱۰۹	الف-۵- نحوه حل مسائل در OpenFOAM
۱۱۰	الف-۵-۱- فolder constant
۱۱۴	الف-۵-۲- فolder 0
۱۱۷	الف-۵-۳- فolder system
۱۲۱	الف-۶- نحوه اجرای حل کننده و مشاهده نتایج
۱۲۲	الف-۷- پسپردازش در OpenFOAM
۱۲۴	مراجع

فهرست اشکال

شکل ۱-۱- شماتیک لایه مرزی و طول ورودی جریان در کanal ۱۴
شکل ۱-۲- شماتیک هندسه کanal مربعی ۱۵
شکل ۱-۳- شماتیک هندسه کanal مستطیلی ۱۶
شکل ۱-۴- شماتیک هندسه کanal مثلثی ۱۶
شکل ۱-۵- شماتیک هندسه کanal با مقطع (الف) پنج ضلعی- (ب) شش ضلعی- (ج) دوازده ضلعی ۱۷
شکل ۱-۶- مقطع گرد شده کanal ۱۷
شکل ۱-۷- مقطع گرد شده کanal ۱۸
شکل ۱-۸- مقطع گرد شده کanal ۱۸
شکل ۱-۹- مقطع گرد شده کanal ۱۸
شکل ۱-۲- رژیمهای مختلف جریان نزدیک سطح ۲۲
شکل ۲-۲- مقایسه پروفیلهای سرعت لایه های مرزی آرام و مغشوش ۲۲
شکل ۲-۳- نمایش مقادیر متوسط و نوسانی در جریانهای دائم و غیردائم ۲۳
شکل ۲-۴- شماتیک هندسه کanal و سیستم مختصات ۴۴
شکل ۳-۱- المان حجم محدود برای گره P ۵۲
شکل ۳-۲- نمونهای از عملیات مختلف پسپردازش در OpenFOAM ۵۹
شکل ۴-۱- مش های مختلف در مقطع مستطیلی و وجود بردارهای سرعت ثانویه ۶۹
شکل ۴-۲- مش کanal مقطع مربعی ۷۰
شکل ۴-۳- (الف) بردارهای سرعت ثانویه متوسط و (ب)- کانتورهای سرعت متوسط جریان ۷۱
شکل ۴-۴- پروفیل های نرمالیزه شده سرعت جریان با سرعت اصلی جریان ۷۱
شکل ۴-۵- بردارهای سرعت ثانویه متوسط در یک چهارم مقطع ۷۲
شکل ۴-۶- کانتورهای گردابه های متوسط جریان ۷۲

شکل ۴-۱-۱- (الف) و (ب) کانتورهای رنگی سرعت های ثانویه ۷۱
شکل ۴-۱-۲- کانتورهای فشار متوسط در مقطع ۷۲
شکل ۴-۱-۳- کانتورهای رنگی سرعت های ثانویه ۷۳
شکل ۴-۱-۴- پروفیل های (۰.۵ cm) در تحقیق حاضر و نتایج موجود ۷۴
شکل ۴-۱-۵- مش کanal مقطع مستطیلی ۷۵
شکل ۴-۱-۶- (الف) کانتورهای گردابه های متوسط جریان در یک چهارم مقطع مقطع (ب) بردارهای سرعت ثانویه متوسط در یک چهارم مقطع ۷۶
شکل ۴-۱-۷- پروفیل های نرمالیزه شده سرعت جریان با سرعت اصلی در طول خط ($y=0.5\text{ cm}$) ۷۷
شکل ۴-۱-۸- (الف) کانتورهای رنگی سرعت های ثانویه (ب)- کانتورهای سرعت متوسط جریان ۷۸
شکل ۴-۱-۹- پروفیل های تنش های برشی در ($y=0.1\text{ cm}$) در مقطع جریان ۷۹
شکل ۴-۱-۱۰- کانتورهای فشار متوسط در مقطع ۸۰
شکل ۴-۱-۱۱- مش کanal مقطع مثلثی ۸۱
شکل ۴-۱-۱۲- (الف) بردارهای سرعت ثانویه متوسط -(ب) کانتورهای گردابه های متوسط جریان ۸۰
شکل ۴-۱-۱۳- کانتورهای سرعت های ثانویه ۸۰
شکل ۴-۱-۱۴- (الف) پروفیل ویسکوزیته ادی در طول خط ($y=1\text{ cm}$) ۸۱
شکل ۴-۱-۱۵- کانتورهای رنگی تنش های برشی (الف) (ب) (ج) ۸۱

شکل ۴-۲۶-مش کانال مقطع پنج ضلعی ۸۲ ۸۲
شکل ۴-۲۷-(الف) کانتورهای سرعت ثانویه متوسط -(ب) کانتورهای گردابه های متوسط جریان ۸۲ ۸۲
شکل ۴-۲۸-اثر افزایش زمان روی جریان های ثانویه ۸۳ ۸۳
شکل ۴-۲۹-مش کانال مقطع شش ضلعی ۸۴ ۸۴
شکل ۴-۳۰-(الف) کانتورهای سرعت ثانویه متوسط -(ب) کانتورهای گردابه های متوسط جریان ۸۴ ۸۴
شکل ۴-۳۱-بردارهای سرعت ثانویه متوسط ۸۴ ۸۴
شکل ۴-۳۲-مش کانال مقطع هشت ضلعی ۸۵ ۸۵
شکل ۴-۳۳-(الف)- کانتورهای سرعت ثانویه متوسط(ب)- بردارهای سرعت ثانویه متوسط ۸۶ ۸۶
شکل ۴-۳۴-کانتورهای فشار در مقطع جریان ۸۶ ۸۶
شکل ۴-۳۵-مش کانال مقطع دوازده ضلعی ۸۷ ۸۷
شکل ۴-۳۶-(الف)-کانتورهای سرعت متوسط (ب)- پروفیل های نرمالیزه شده سرعت جریان با سرعت اصلی جریان های ثانویه ۸۷ ۸۷
شکل ۴-۳۷-کانتورهای رنگی تنش های برشی(الف) \bar{W} (ب) \bar{U} (ج) ۸۸ ۸۸
شکل ۴-۳۸-پروفیل های $\bar{W}^{1/2}$, $\bar{V}^{1/2}$ (تنش های عمودی) در طول خط ($y=0.75\text{cm}$) ۸۸ ۸۸
شکل ۴-۳۹-کانتورهای فشار در مقطع جریان ۸۹ ۸۹
شکل ۴-۴۰-پروفیل نرمالیزه شده سرعت جریان با سرعت اصلی جریان در طول خط ($y=1\text{ cm}$) ۸۹ ۸۹
شکل ۴-۴۱-کانتورهای گردابه های متوسط جریان ۹۰ ۹۰
شکل ۴-۴۲-کانتورهای تنش های عمودی در مقطع جریان ۹۰ ۹۰
شکل ۴-۴۳-نحوه مش بندی در مقطع روند زده شده کانال ۹۱ ۹۱
شکل ۴-۴۴-(الف) کانتورهای سرعت ثانویه متوسط (ب) کانتورهای گردابه های متوسط جریان ۹۱ ۹۱
شکل ۴-۴۵-بردارهای سرعت ثانویه متوسط در یک چهارم مقطع ۹۱ ۹۱
شکل ۴-۴۶-بروفیل های نرمالیزه شده سرعت اصلی، جریان، در طوا، خط ($y=0.5\text{ cm}$) ۹۲ ۹۲

شکل ۴-۴۷- (الف) و (ب) کانتورهای رنگی تنش های عمودی رینولدز در مقطع جریان و (ج) کانتورهای رنگی تنش برشی در مقطع جریان.....	۹۲
شکل ۴-۴۸- نحوه مش بندی در مقطع روند زده شده کanal.....	۹۲
شکل ۴-۴۹- (الف) کانتورهای سرعت ثانویه متوسط (ب) کانتورهای گردابه های متوسط جریان.....	۹۳
شکل ۴-۵۰- کانتورهای رنگی تنش برشی (الف) $\overline{u'v'}$ (ب) $\overline{u'w'}$ (ج) $\overline{v'w'}$	۹۳
شکل ۴-۵۱- نمودار تنش های عمودی	۹۴
شکل ۴-۵۲- کانتورهای رنگی سرعت های ثانویه	۹۵
شکل ۴-۵۳- نحوه مش بندی در مقطع روند زده شده کanal	۹۵
شکل ۴-۵۴- (الف) کانتورهای سرعت ثانویه متوسط - (ب) کانتورهای گردابه های متوسط جریان در یک چهارم مقطع	۹۵
شکل ۴-۵۵- بردارهای سرعت ثانویه متوسط	۹۶
شکل ۴-۵۶- (الف)- کانتورهای ویسکوزیته ادی (ب)-کانتورهای فشار متوسط در مقطع جریان.....	۹۶
شکل ۴-۵۷- نحوه مش بندی در مقطع روند زده شده کanal	۹۶
شکل ۴-۵۸- (الف)کانتورهای سرعت متوسط (ب) کانتورهای گردابه های متوسط جریان در مقطع	۹۷
شکل ۴-۵۹- بردارهای سرعت متوسط در مقطع	۹۷
شکل ۴-۶۰- نمودار تنش های عمودی مقطع	۹۸
شکل ۴-۶۱- نمودار خطا در محاسبه سرعت	۹۸
شکل الف-۱- جزئیات موجود در حل کننده cavity	۱۱۰
شکل الف-۲- نمونه‌ای از عملیات مختلف پسپردازش در OpenFOAM	۱۲۳

فهرست جداول

- ۱۰۶ جدول الف-۱- فولدر های موجود در OpenFOAM
- ۱۰۷ جدول الف-۲- تعدادی از حل کننده های اصلی در OpenFOAM

فصل اول

کلیات

۱-۱-مقدمه

آشفتگی پدیده‌ای است که در جریان بسیاری سیالات وجود دارد. معادلات حاکم بر جریان سیال نیوتونی، معادلات ناویر-استوکس است که متأسفانه بجز در جریان‌های بسیار ساده، حل تحلیلی آن در دست نیست. به طور کلی برای تحلیل و پیش‌بینی رفتار جریان سیال در هندسه‌های مختلف، معادلات دیفرانسیل ناویر-استوکس با شرایط مرزی مناسب باید حل شوند.

جریان آشفته کاملاً توسعه یافته در کanal‌های مستطیلی مستقیم با جریان آشفته موجود در لوله‌ها به دو دلیل مهم تفاوت دارد:

- ۱- سه بعدی است و بنابر این دارای جزئیات پیچیده‌ای می‌باشد.
- ۲- در این مقاطع جریان‌های ثانویه وجود دارد که از پیچیدگی بیشتر جریان نتیجه می‌شود. اخیراً مسئله انتقال حرارت سیالات در جریان آشفته در کanal‌های خنک کننده راکتورهای هسته‌ای با مقطع مستطیلی یک موضوع مورد مطالعه و مهم می‌باشد. تحلیل انتقال حرارت در جریان آرام در مقاطع غیر دایره‌ای با شرایط مرزی گرمایی متفاوت نشان می‌دهد که توزیع دمای دیوار محیطی تأثیر زیادی روی عدد ناسلت^۱ دارد. شرط مرزی دیوار با شار گرمایی ثابت، نسبت به دمای دیوار ثابت منجر به اعداد ناسلت پایین تری می‌شود.

کلید حل اینگونه مسائل مهندسی با فهم بهتر مکانیزم جزئیات جریان و با تأکید ویژه روی توزیع جریان نزدیک مرزهای جامد می‌باشد. جریان‌های ثانویه نقش مهمی در تعیین توزیع جریان کلی ایفا می‌کند، بنابر این باید به عنوان یک پارامتر مهم در نظر گرفته شود که نتایج انتقال حرارت را توضیح دهد. مسئله مهندسی مهم دیگری که نیاز به شناخت جزئیات جریان دارد، جریان رسوبات در رودخانه‌ها و کanal‌های کوتاه است. انتقال رسوبات به عنوان مسئله‌ای که به وسیله جریان‌های ثانویه تحت تأثیر قرار می‌گیرد، برای مهندسین عمران مسئله‌ای جالب بوده است. جریان‌های ثانویه در مقاطع خمیده و مستقیم جالب توجه است. اگرچه این کاربرد شامل جریان آشفته در کanal‌های باز است. پدیده جریان

1-Nusselt number

ثانویه در کanal های باز و بسته خیلی شبیه است. دلر^۱ و مانوس^۲ [۱] مسئله کanal های باز را مطالعه کرده اند و توزیع جریان اولیه را اندازه گیری کرده اند. آنها جریان های ثانویه را مشاهده کردند و سعی کردند یک تئوری ساده شده برای ایجاد جریان های ثانویه ارائه دهند. اگر چه جریان ثانویه در مقاطع غیر دایره ای مدت ها پیش توسط نیکورادزه^۳ و پرانتل^۴ [۲، ۳، ۴] مشاهده شد، اما دلایل ایجاد آن ارائه نشد. نیکورادزه [۲، ۳] توزیع سرعت محوری آشفته در جریان های کاملاً توسعه یافته را اندازه گیری کرد.

مویزز^۵ [۵] و ماسلن^۶ [۶] نشان دادند که جریان های ثانویه در جریان های آرام کاملاً توسعه یافته مشاهده نمی شود و به سطح مقطع شکل بستگی ندارد و فقط به جریان های آشفته محدود می شوند. هووارث^۷ [۷] اینستین^۸ و لی^۹ [۸] سعی کردند دلایل ایجاد جریان های ثانویه را توضیح دهند. دیزلر^{۱۰} [۹] جریان های ثانویه را نادیده گرفت و توزیع سرعت محوری را برای مقاطع مربعی و مستطیلی محاسبه نمود.

ماکزیمم مقدار سرعت های ثانویه حدود ۰.۵ تا ۱ درصد سرعت محوری خط مرکزی می باشد و در نزدیک دیوار در ناحیه گوشه اتفاق می افتد، جایی که گرادیان تنفس های بزرگ دیوار مشاهده می شود. جریان های ثانویه با انتقال ممنتوم محوری نقش مهمی در توزیع جریان های اولیه دارد به ویژه به خاطر تنفس های برشی دیوار که در داخل محیط مقطع ثابت و در نواحی گوشه ثابت نیست. گرادیان تنفس های برشی دیوار یکی از علل مهم ایجاد جریان های ثانویه می باشد و نیروهای محرک حرکت ثانویه را ایجاد می کند.

1-Delleur

2- McManus

3- Nikuradse

4- Prandtl

5-Moissis

6- Maslen

7- Howarth

8- Einstein

9- Li

10- Deissler

۲-۱- معادلات حاکم

معادلات ناویر استوکس برای جریان آشفته به خوبی جریان آرام معتبر است اگر پارامترها شامل یک مؤلفه متوسط و یک مؤلفه نوسانی باشد. (یعنی $u = \bar{u} + u^{\circ}$) معادلات رینولدز با جایگزینی مؤلفه های متوسط و نوسانی در معادلات ناویر استوکس سیال تراکم ناپذیر به دست می آیند. معادله پیوستگی برای جریان تراکم ناپذیر یکنواخت به صورت زیر می باشد:

$$\frac{\partial \bar{u}_j}{\partial x_j} = 0 , \quad (1-1)$$

$j = 1, 2, 3$ می باشد. معادله پیوستگی برای مقادیر نوسانی آنی به صورت زیر می باشد:

$$\frac{\partial u_j}{\partial x_j} = 0 \quad (2-1)$$

شرایط مرزی برای همه مرزهای جامد به صورت زیر می باشد.

$$\bar{u} = \bar{v} = \bar{w} = \overline{u^2 v^2} = \overline{u^2 w^2} = \overline{v^2 w^2} = \overline{v^2} = \overline{w^2} = \quad (3-1)$$

$$\overline{u^2} = 0$$

مؤلفه گردابه در راستای جریان در صفحه جریان تعریف می شود به صورت :

$$(4-1)$$

$$\Omega_x = \frac{\partial w}{\partial y} - \frac{\partial v}{\partial z}$$

گردابه های متوسط جریان یک مظهر مستقیم سرعت های ثانویه است. مکانیزم هایی که در معادلات حاکم مهم هستند، انتقال گردابه های متوسط جریان یک نقش مهم را در فهم جریان های ثانویه اصلی ایفا می کند. معادلات انتقال برای گردابه های متوسط جریان (Ω_x) در یک جریان آشفته کاملاً توسعه یافته، به صورت زیر داده می شود :

$$\underbrace{\bar{v} \frac{\partial \Omega_x}{\partial y} + \bar{w} \frac{\partial \Omega_x}{\partial z}}_I = \underbrace{\frac{\partial^2}{\partial y \partial z} \left[\langle \bar{v}'^2 \rangle - \langle \bar{w}'^2 \rangle \right]}_{II} +$$

$$\underbrace{\left(\frac{\partial^2}{\partial y^2} - \frac{\partial^2}{\partial z^2} \right) \langle \bar{v} \bar{w} \rangle}_{III} + \underbrace{\nu \left(\frac{\partial^2 \Omega_z}{\partial y^2} + \frac{\partial^2 \Omega_z}{\partial z^2} \right)}_{IV} \quad (5-1)$$

معادله بالا، ترم اول انتقال گردابه متوسط جریان را بوسیله سرعت های ثانویه متوسط نشان می دهد. ترم دوم تولید را به خاطر گرادیان اختلاف در تنش های عمودی رینولدز نشان می دهد. ترم سوم به خاطر گرادیان در تنش برشی رینولدز ثانویه به تولید مربوط می شود و ترم آخر پخش ویسکوزیته را نشان می دهد. به منظور اینکه گردابه متوسط قابل توجه در جریان داشته باشیم، واضح است که ترم تولید باید مخالف صفر باشد.

در معادله ممنتوم محوری (۱-۵) علت ایجاد جریان های ثانویه دیده می شود. Ω_x چرخش متوسط المان های سیال را حول یک محور موازی محور کanal نشان می دهد. اگر هیچ جریان ثانویه ای وجود نداشته باشد $\bar{W}, \bar{\tau}, \bar{\Omega}_x$ صفر خواهند بود و بنابر این ترم اول و چهارم معادله (۱-۵) ناپذید خواهند شد. سه ترم تنش آشفتگی انتظار می رود که مقادیر محدود و معینی داشته باشند. اگر چه تنش های $\bar{v}' W'$ ممکن است در غیاب حرکت ثانویه صفر باشند، شدت های v'^2 و W'^2 صفر نیستند، علاوه بر این در حالت کلی اگر هندسه شکل متقارن نباشد آنها با هم برابر نیستند. همچنین به خاطر متقارن نبودن هندسه شکل، نتیجه می شود که هر سه مؤلفه تنش های آشفتگی در معادله (۱-۵) مقادیر محدود و معینی دارند و یک حرکت ثانویه را سبب می شود. درست مثل ترم اول و چهارم که صفر نیستند. اگر چه بحث هایی به وجود آمده یک دلیل وجود یا علت حرکت ثانویه را بیان نمی کنند اما این چنین بحث هایی با مشاهده معادله حرکت ساده می شود.

۱-۳- مروری بر تحقیقات پیشین

جریان های آشفته داخل کanal های مربعی نتایج مهندسی مهمی را نشان می دهند، که این نتایج به خاطر وجود جریان های ثانویه مشخص می شوند.

پرانتل، اولین کسی بود که ناحیه متمایز چنین جریان هایی را که به جریان های ثانویه نوع دوم پرانتل اشاره دارد، تشخیص داد. جریان های ثانویه نوع اول پرانتل از نامتوازن بودن گردابه های متوسط

جريان در مقطع ناشی می شوند و سرعت های ثانویه مربوطه معمولاً قوی تر هستند از حالتی که بوسیله آشفتگی ایجاد می شوند برادشو در سال ۱۹۸۷ [۱۰].

جريان ثانویه متوسط در یک جريان آشفته توسعه یافته در یک کanal مستقیم و با مقطع مربعی ، برای اولین بار توسيط نيكورادزه [۱۱]، بيش از ۶۰ سال قبل در آزمایشگاه مشاهده شد. او مشاهده کرد که بردارهای سرعت از مرکز مقطع کanal به سمت گوشه ها حرکت می کنند، پدیده ای که در کanal های مستقیم دایره ای و يا در جريان های آرام کاملاً توسيعه یافته مشاهده نمی شوند. نيكورادزه اين برآمدگی را به وجود جريان های ثانویه در مقطع جريان نسبت داد که جهت آن از مرکز مقطع به سمت گوشه هاست. اين جريان های ثانویه ممنتوом و مقادير عددی را با حفظ خاصيت پيوستگی از ناحيه مرکзи به سمت دیوارها در طول نيمساز گوشه، منتقل می کنند. سرعت های ثانویه معمولاً حدود ۵-۱۰٪ سرعت اصلی جريان هستند، اما به طور محسوسی نرخ ممنتووم و انتقال حرارت نزديك دیوارها را تعغير می دهند. جريان های ثانویه به خاطر غير ايزوتropic بودن تنش های رينولدز ایجاد می شوند، اگر چه سهم دقيق تنش های برشی و عمودی در توليدشان به طور دقيق اثبات نشده است. بعدها نيكورادزه اندازه گيري های مشابهی را در کanal های با مقطع غير دایره ای انجام داد و جريان های ثانویه را با تزریق يک ماده شیری رنگ به داخل جريان آب کanal، مشاهده کرد.

مدل های آشفتگی برای محاسبه جريان های ثانویه تولید شده بوسیله نوسانات آشفتگی موضوع چالش انگيزی بوده و با استفاده از مدل آشفته رينولدزهای متوسط مشکلاتي داشته است. برخی از مدل سازی های اولیه با کارهای آزمایشگاهی سعی کردند این مشکلات را رفع نمایند. اطلاعات كامل در چنین جريان هایی از حل معادلات ناوي استوکس با شرایط مرزی مناسب به دست می آيد. [۱۲].

اندازه گيري های ديگري از جنبه های مختلف در جريان های آشفته توسيعه یافته و در حال توسيعه کanal های با مقطع غير دایره ای، توسيط چندين محقق در پنج دهه اخير گزارش شده اند [۱۳-۲۰].

بوندرت^۱ و باینز^۲ [۱۴] مشاهده کردند که گردابه های جریان متوسط در جریان کاملاً توسعه یافته، به به خاطر گرادیان تنش های نرمال رینولدز به وجود می آیند. از آنجایی که گردابه های متوسط جریان یک مشخصه جریان ثانویه است، آنها اثبات کردند که گرادیان تنش های نرمال رینولدز عامل تولید جریان های ثانویه هستند. این دو محقق همچنین نشان دادند که اعداد رینولدز در رنج ۲۰۰۰۰-۸۳۰۰۰ هیچ اثر خاصی بر کیفیت شکلی جریان های ثانویه ندارند جز اینکه، جریان های ثانویه با افزایش عدد رینولدز، بیشتر به سمت گوشه ها متمایل می شوند.

جسنر^۳ و جونز^۴ [۱۶] نشان دادند که اندازه سرعت های ثانویه هنگامی که با سرعت اصلی جریان بی بعد می شوند، با افزایش عدد رینولدز کاهش می یابد. اگر چه تغییرات خیلی کم است هنگامی که سرعت ها با سرعت اصطکاکی بی بعد می شوند. در مقاله بعدی جسنر[۱۷] گزارش داد که غیر ایزوتروپی بودن تنش های نرمال آشتفتگی، یک نقش اصلی را در تولید جریان های ثانویه ایفا نمی کند به خاطر اینکه همه ترم ها در معادله گردابه های متوسط حداقل یک مرتبه اندازه، کمتر از ترم های معادلات برای دو مولفه گردابه هستند.

اندازه گیری های جریان های آشتفته در حال توسعه کanal های مربعی نشان دادند که جریان متوسط بعد از یک مسافت طولانی به حالت توسعه یافته می رسد و جریان ثانویه حتی فاصله طولانی تری نیاز دارد تا به حالت کاملاً توسعه یافته برسد. روش های شبیه سازی زیادی برای جریان های آشتفته در مقاطع غیر دایره ای وجود دارند، در این روش ها معادلات حاکم در ناحیه جریان متوسط برای به دست آوردن تنش های رینولدز حل می شوند، به خصوص روش هایی مانند $k-\epsilon$ که بر اساس تنش های رینولدز ایزوتروپ هستند که هیچ جریان ثانویه ای را نمی توانند نشان دهند. اولین محاسبات جریان ثانویه در کanal های غیر دایره ای مستقیم بوسیله لاندر^۵ [۱۸] انجام شد که مدل

1- Brundrett

2- Baines

3- Gessner

4- Jones

5- Launder

های تنش رینولدز جبری برای حل جریان در مقطع استفاده شد. تفاوت های این مدل ها در معادلات دیفرانسیلی تنش های رینولدز، به خصوص روابط کرنش و فشار می باشد.

اسپیژیال^۱ [۲۰] نشان داد که جریان های ثانویه در کanal های غیر دایره ای از یک اختلاف غیر صفر در تنش های نرمال رینولدز در سطح مقطع ایجاد می شود. اسپیژیال و [۲۱] و نیزیما^۲ [۲۲] فرم های غیر خطی معادلات $\epsilon - k$ را برای غیر ایزوتروپ بودن تنش های عمودی رینولدز استفاده کردند که قادر بودند وجود جریان های ثانویه را در کanal های مربعی نشان دهند. همه این شبیه سازی های عددی قادر بودند که وجود جریان های ثانویه را نشان دهند، اما مقایسه مقادیر آشفتگی با داده های آزمایشگاهی راضی کننده نبود. این ناسازگاری احتمالاً به خاطر استفاده از ایده های تجربی در معادلات انتقال می باشد. عدم قطعیت ها در اندازه گیری سرعت های ثانویه کوچک و خواص آماریشان، نیز در این ناسازگاری سهیم هستند. به خاطر اینکه تنش های رینولدز با حمل اطلاعات در محدوده مقیاس طول آشفتگی ایجاد می شوند، و مدل هایی که آنها را نشان می دهند، از درجه بالای دقت در مقطع برخوردار نیستند. برخی شبیه سازی های مستقیم عددی^۳ به هیچ مدل آشفتگی نیاز ندارند و با اعمال شبکه بندی در حد کوچکترین مقیاس ها می توانند داده های ارزشمندی را در ساختار های آشفتگی بدهند، از آنجایی که روش شبیه سازی مستقیم عددی همه مقیاس های طول را در نظر می گیرد، حجم محاسبات خیلی زیاد می شود و به اعداد رینولدز پایین تر محدود می شود.

استفاده از روش LES^۴ به اوایل دهه ۷۰ میلادی بازمی گردد. در سال ۱۹۷۰ دیردف^۵ برای اولین بار مقیاس های سرعت و دما را در لایه مرزی به صورت سه بعدی شبیه سازی کرد [۲۳].

در روش گردابه های بزرگ (LES) تفاوت مدل سازی های مختلف در نحوه محاسبه ضریب اسماگورینسکی (C_S) در به دست آوردن جمله های تنش های رینولدز است که بر اثر اعمال فیلتر در

1-Speziale

2- Nisizima

3- Direct Numerical Simulation

4- Large Eddy Simulation

5-Deardorff

معادلات حاکم به وجود می آید. اولین مدل SGS که شکل عملی به خود گرفت مدل SM^۱ بوده که در سال ۱۹۶۳ توسط اسماگورینسکی معرفی شد [۲۴]. در مدل اسماگورینسکی، از (C_S) به عنوان ثابتی تجربی استفاده می شود. ویژگی این روش سادگی و سهولت کاربرد آن است. پس از آن اصلاحاتی بر روی مدل SM انجام شد که می توان به مدل SM' بهبود یافته اشاره کرد. توابع میرا کننده برای کاهش نرخ اتلاف نزدیک دیواره پیشنهاد شد که همگی در راستای کاهش معایب مدل SM بودند. در سال ۱۹۹۱ مدل دینامیکی توسط جرمنو^۲ و همکاران برای محاسبه دقیق تر ضریب اسماگورینسکی با توجه به اطلاعات به دست آمده از مقیاس های حل شده به ویژه در نزدیکی مرز ارائه شد و با توجه به اینکه کمتر از ۲۰ سال از ابداع این مدل می گذرد، مدل جدیدی محسوب می شود [۲۶]. مدل دینامیکی با استفاده از سرعت های به دست آمده و با اعمال فیلتر بر این سرعت ها به محاسبه (C_S) می پردازد و بنابراین در محاسبه آن از خصوصیات جریان و هندسه به طور مستقیم استفاده می شود. بزرگترین مشکل مدل دینامیکی آن است که فقط برای هندسه هایی قابل پیاده سازی است که راستای همگن داشته باشند. در همین راستا و به منظور برطرف ساختن مشکلات مدل دینامیکی در سال ۱۹۹۵ مدل دینامیکی موضعی معرفی شد که برای محاسبه ضریب اسماگورینسکی در هندسه های پیچیده مناسب است [۲۷]. از میان سایر افرادی که در این زمینه فعالیت داشته اند می توان به معین^۳ و کیم^۴، اشاره کرد [۲۸، ۲۹]. روش LES در ایران روش جدیدی محسوب می شود. در داخل کشور می توان به گروه تحقیقاتی حیدری نژاد در دانشگاه تربیت مدرس اشاره کرد [۳۰]. بیشتر مطالعات به جریان در یک کانال با مقطع مربعی محدود می شود، اما جریان هایی در کانال های با مقطع مثلثی [۳۱] و مقطع مستطیلی [۳۲] نیز بررسی شدند و در موارد پیچیده تر زبری سطح دیوار به عنوان یک پارامتر متغیر و یا استفاده از دندانه های زاویه دار در مقاطع جریان [۳۳] نیز بررسی شدند.

1 - Smagorinsky Model

2- Germano

3-Moin

4-Kim

در برخی تحقیقات نظیر مینگ^۱ و کوبایاشی^۲ [۳۶-۳۴]، شرط عدم لغزش روی دیوار را به جای توابع دیوار استفاده کردند به دلیل اینکه نواحی نزدیک دیوار و گوشه نواحی مؤثر در خصوصیات جریان ثانویه هستند. این دو محقق یک روش غیرایزوتروپ $\epsilon - k$ را برای اعداد رینولدز پایین و با شرط عدم لغزش در دیوارها را استفاده کردند. این دو محقق همچنین استفاده مفید یک مدل آشفته غیرایزوتروپ $\epsilon - k$ را در پیش بینی جریان های ثانویه در یک کanal مقطع مربعی نشان دادند.

پرانتل نوع های مختلف جریان های ثانویه را بر اساس منشأ ایجادشان به دو گروه اصلی تقسیم بندی کرد، و اولین کسی بود که نقش نوسانات آشفتگی را در حرکت های ثانویه در کanal های با مقطع غیر دایروی، تشخیص داد [۳۷-۳۸] که اغلب به عنوان جریان های ثانویه نوع دوم پرانتل طبقه بندی می شوند. به عبارت دیگر جالب توجه است که جریان های ثانویه نوع اول پرانتل از حرکت های اریب شبه روان سیال به خاطر گرادیان فشار موجود در مقطع یا نیروهای اینرسی ناشی می شود [۳۹].

جالب توجه است که اگرچه اندازه جریان های ثانویه عموماً کوچک است و در حدود ۱٪-۳٪ سرعت متوسط اصلی جریان می باشند، اما به طور قابل توجهی به توزیع تنش های دیوار و انتقال ممنتوم، گردابه، انرژی و مقادیر عددی کمک می کنند [۴۰].

شبیه سازی های مستقیم عددی (DNS) جریان آشفته در یک کanal مربعی بوسیله گاوریلاکس^۳ [۴۱]، و هوزر^۴ و برینگن^۵ [۴۲] توصیفات کمی ساختار حرکت های آشفته و بینش بنیادی به منشأ آنها را ارائه نمودند. روش (DNS) انجام شده بوسیله گاوریلاکس [۴۱]، به طور ویژه جزئیاتی از آمار آشفتگی و حرکت های ثانویه در طول دیوار و نیمساز گوشه ها در کanal را ارائه نمود، در حالیکه هوزر و برینگن [۴۲] مکانیزم تولید جریان های ثانویه را در یک چهارم مقطع تحلیل نمودند.

پیش بینی های عددی جریان های آشفته یک ابزار ارزشمند برای به دست آوردن جزئیات جریان آشفته می باشند.

1-Myong

2- Kobayashi

3- Gavrilakis

4- Huser

5- Biringen

تنش های برشی در غیاب جریان های ثانویه صفر می باشند، اما تنش های عمودی (\bar{v}^2, \bar{w}^2) صفر نیستند. علاوه بر این در صورتی که هندسه شکل تقارن نداشته باشد، این تنش ها با یکدیگر برابر نیستند.

هووارث [۷] تئوری انتقال گردابه های اصلاح شده را استفاده کرد و گلدستین^۱ مدلی را برای تنسور تنش های آشفته (بر اساس مفهوم طول اختلاط به جریان های چند بعدی) فرض کرد که نشان دهد جریان های ثانویه زمانی اتفاق می افتد که طول اختلاط در طول خطوط گرادیان سرعت ثابت، یکنواخت نباشد.

تاونسند^۲ [۴۳] مسئله لایه مرزی جریان آشفته دو بعدی را با اثرات گوشه در نظر گرفت. او نشان داد که نزدیک دیوار اختلاف ذاتی در (\bar{v}^2, \bar{w}^2)، ترم شدت و گرادیان در تنش برشی دیوار ترکیب می شوند که یک مقطع جریان در لایه مرزی ایجاد شود. ضمناً او فهمید که این پدیده علت ایجاد جریان های ثانویه در کanal های غیر دایروی مستقیم می باشد.

دیزلر و تیلور^۳ [۹] توزیع سرعت محوری را برای جریان کاملاً توسعه یافته در کanal های با مقطع مربعی و مثلثی، با صرف نظر کردن از اثر جریان های ثانویه بررسی و محاسبه کردند. آنها فرض کردند که $0 = \bar{w} = \bar{v}$ و تنش های برشی آشفته $\bar{u}\bar{v}, \bar{u}\bar{w}$ فقط در صفحاتی که یک گرادیان محدود سرعت متوسط وجود دارد، ظاهر می شوند. آنها یک روش ابتکاری شامل روابط قانون دیوار و سیستم مختصات خطوط هم سرعت برای تعیین تنش برشی از گرادیان فشار محوری ابداع نمودند. فرض در نظر نگرفتن اندازه های جریان ثانویه، ساده سازی های قابل ملاحظه ای را در معادله حرکت فراهم می کند. معادلات ممنتوں y و z (۶-۷) و (۶-۸) به کلی حذف می شوند (یعنی وابسته نیستند) و معادله ممنتوں محوری (۶-۶) با حذف ترم های انتقال غیر خطی ساده سازی می شود.

$$\bar{v} \frac{\partial \bar{u}}{\partial y} + \bar{w} \frac{\partial \bar{u}}{\partial z} = -\frac{1}{\rho} \frac{\partial \bar{p}}{\partial x} + \vartheta \nabla^2 \bar{u} - \frac{\partial}{\partial y} (\bar{u} \bar{v}) - \frac{\partial}{\partial z} (\bar{u} \bar{w}) \quad (6-1)$$

1- Goldstein

2-Townsend

3- Taylor

$$\bar{v} \frac{\partial \bar{v}}{\partial y} + \bar{w} \frac{\partial \bar{v}}{\partial z} = -\frac{1}{\rho} \frac{\partial \bar{p}}{\partial y} + \vartheta \nabla^2 \bar{v} - \frac{\partial}{\partial y} (\bar{v}^2) - \frac{\partial}{\partial z} (\bar{v} \bar{w}) \quad (7-1)$$

$$\bar{v} \frac{\partial \bar{w}}{\partial y} + \bar{w} \frac{\partial \bar{w}}{\partial z} = -\frac{1}{\rho} \frac{\partial \bar{p}}{\partial z} + \vartheta \nabla^2 \bar{w} - \frac{\partial}{\partial y} (\bar{w} \bar{v}) - \frac{\partial}{\partial z} (\bar{w}^2) \quad (8-1)$$

مقایسه های گسترده ای بین نتایج تحلیل دیزلر و اندازه گیری های آزمایشگاهی لارنس^۱ [۴۴] وجود دارد، نشان داده می شود که سرعت های ثانویه نادیده گرفته نمی شوند بلکه تا اندازه ای همکاری محسوسی را با ترم های انتقال در معادله ممنتوم محوری دارند. در ابتدا به نظر می رسد که نتایج دیزلر توزیع جریانی را نشان می دهد که از نادیده گرفتن جریان های ثانویه به دست می آیند. این مورد لازم نیست، مهم این است که بررسی کنیم که فرض او مربوط به تنش های برشی آشفته می باشد. او فرض کرد که تنش های برشی آشفتگی \bar{u} فقط در صفحات عمود به صفحه ای که گرادیان معین \bar{u} وجود دارد، ظاهر می شوند. این فرض در ارتباط با مفهوم کلاسیکی تئوری طول اختلاط است که یک نوسان سرعت \bar{u} بواسطه یک گرادیان ممنتوم \bar{u} در راستای u ، یک ارتباط بین \bar{u} ، \bar{u} ایجاد می کند و در نتیجه یک تنش برشی $\bar{u}\bar{u}$ ایجاد می شود. در حالیکه این دلیل فیزیکی به نظر می رسد، وارونگی لزوما درست نیست، اگر هیچ گرادیان \bar{u} در راستای u وجود نداشته باشد.

متأسفانه در جریان های برشی ساده تر شرایط خاصی وجود دارد، در نگاه اول، این طرز فکر وارونه حمایت شود. جریان آشفته کاملاً توسعه یافته را در یک لوله با مقطع دایره ای در نظر بگیرید. u سرعت محوری و v سرعت شعاعی و w سرعت مماسی باشد. تنش های $\bar{u}\bar{u}$ به خاطر تعادل نیروهای برشی و فشاری (به جز در نزدیک دیوار) به طور خطی تغییر می کند. همچنین تنش های $\bar{u}\bar{w}$ در هر نقطه ای صفر است . گرادیان \bar{u} در راستای W صفر است. تنش های $\bar{u}\bar{w}$ باید به خاطر تقارن صفر باشد نه به خاطر گرادیان سرعت که صفر است. هر دو تنش های $\bar{u}\bar{u}$ و گرادیان سرعت $\frac{\partial u}{\partial y}$ در راستای محور لوله صفر هستند اما در اینجا نیز به خاطر تقارن، $\bar{u}\bar{u}$ صفر است. جریان برشی ساده دیگر جریان در کانال های دوبعدی (جریان بین صفحات موازی است). در اینجا نیز تنش برشی $\bar{u}\bar{w}$ در هر

مکانی صفر است که دلیل این امر تقارن موجود می باشد. لورنس [۴۴] می دارد که در جریان آشفته، با توجه به نتایجی که اندازه گیری ها نشان می دهد، تنش های برشی به دلیل تقارن در هندسه شکل نمی توانند صفر شوند. برای مشاهده امکان یک تنش برشی آشفته ناشی شده در غیاب یک گرادیان سرعت متوسط، یک گرادیان آنی سرعت در راستای \hat{W} را در نظر بگیرید. ملاحظات فیزیکی انتقال ممنتوم پیشنهاد می کند که یک ارتباط آنی بین \hat{U} و \hat{W} وجود دارد. اگر جریان همگن باشد، ماهیت رندمی آشفتگی پیشنهاد می کند که در حالت میانگین همبستگی صفر است و بنابراین هیچ تنش برشی متوسط نتیجه نمی شود. اگرچه، اگر جریان همگن نباشد و اگر هندسه جریان نامتقارن باشد، به منظور اینکه راستای بهتری برای سرعت های نوسانی وجود دارد ممکن است یک همبستگی میانگین وجود داشته باشد. بعلاوه، ممکن است اما شاید خیلی امکان پذیر نباشد. که یک چنین همبستگی از همان مرتبه اندازه خواهد بود که بوسیله گرادیان متوسط سرعت ایجاد می شود.

اگرچه بحث های بالا به هیچ عنوان تأیید نمی کند که یک تنش برشی آشفته باید در صفحه عمود به خطوط هم سرعت وجود داشته باشد، سوالات و ابهامات راجع به اعتبار فرضیات دیزلر را از بین می برد، که این سوالات فقط با برخی اندازه گیری های دقیق این تنش ها که در آزمایشگاه صورت می گیرد، می توانند پاسخ داده شود.

بر خلاف این حقیقت که حل دیزلر لزوماً توزیع جریانی را نشان نمی دهد که از نادیده گرفتن جریان های ثانویه به دست می آید، با اندازه گیری های موجود مقایسه می شود که این تفاوت اثر جریان های ثانویه را نشان می دهد.

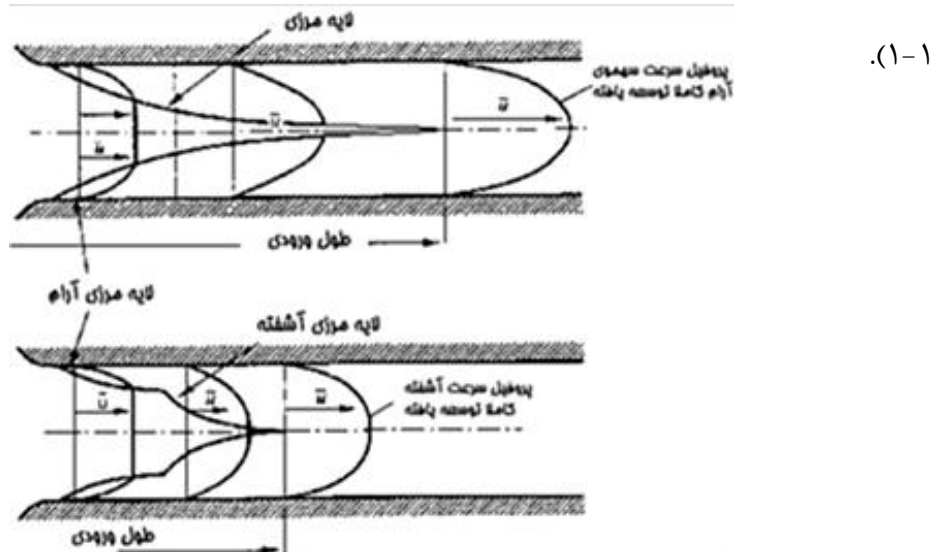
در نظر گرفتن فرمول بندی مسئله نیازمند یک حل تئوری می باشد، لذا بهترین روش، اندازه گیری جریان های ثانویه می باشد که نیازمند اندازه گیری های دقیق در ناحیه جریان می باشد.

مادابهوشی^۱ [۴۵] وجود جریان های ثانویه و اثراتشان را در مقطع مربعی بررسی کرد و نتایج در تطابق با داده های آزمایشگاهی بودند.

۴-۱- معرفی تحقیق حاضر

با مرور تحقیقات گذشته برای مشاهده جریان های ثانویه، در مقاطع غیر دایره ای اکثر تحقیقات انجام شده روی مقطع مربعی انجام شده است در این تحقیق مقاطع غیر دایره ای اعم از مقاطع مربعی، مستطیلی، مثلثی، و چند ضلعی های منتظم مورد بررسی قرار گرفته اند. در این تحقیق ابتدا جریان سیال تراکم ناپذیر کاملاً توسعه یافته در کanal های با مقاطع غیر مربعی مذکور مدل سازی و تحلیل می شود و وجود یا عدم وجود جریان های ثانویه در آن بررسی می شود. جریان در ابتدای کanal آرام و سپس گذرا و بعد آشفته و در نهایت توسعه یافته خواهد شد هر چند بصورت نظری، نزدیک شدن به نمودار توزیع سرعت کاملاً توسعه یافته به شکل مجانبی است و تعیین محلی معین و دقیق که در آنجا جریان در مجا ر کاملاً توسعه یافته است، غیر ممکن می باشد. با اینحال برای تمام کاربردهای عملی طول ورودی هیدرودینامیکی محدود است. به فاصله ای که در طی آن سرعت کاملاً توسعه یافته می شود طول ورودی هیدرودینامیکی می گویند. طول هیدرودینامیکی مورد نظر برای کanalها در آزمایشگاه [۴۴]،

$\frac{l}{d_h} = 75$ می باشد که l طول کanal مورد نظر و d_h قطر هیدرولیکی مقطع می باشد. مشابه طول ورودی هیدرودینامیکی در مسائل مربوط به انتقال حرارت، طول ورودی گرما تعریف می شود و به فاصله ای که در طی آن نمودار توزیع دما کاملاً توسعه یافته می شود طول ورودی گرما می گویند (شکل

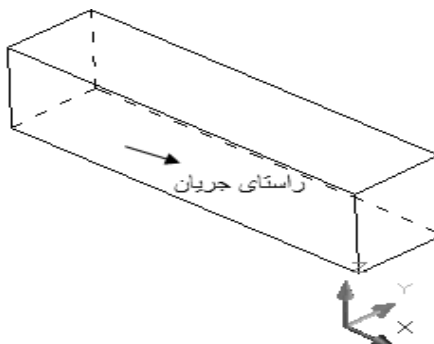


شکل ۱- شماتیک لایه مرزی و طول ورودی جریان در کanal

در قسمت دوم این تحقیق گوشه های این مقاطع پخ زده می شود و بردار های سرعت و نمودارهای تنش های عمودی و برشی ترسیم و تحلیل می شود و با قسمت اول مقایسه می شود. معادلات ناویراستوکس وابسته به زمان با مدل معروف اسماگورینسکی برای تنش های زیر شبکه حل می شوند. لازم به ذکر است که نتایج به دست آمده از حل عددی با استفاده از نرم افزار Open FOAM انجام شده و با تحقیقات تجربی انجام شده، مقایسه شده است، کیفیت و دقت مدل سازی انجام شده با دستاوردهای تجربی مذکور، ارزیابی و ارائه شده است.

۱-۴-۱ کanal

یک کanal مربعی با ابعاد مقطع $1cm \times 1cm^2$ و طول 2.5 cm انتخاب شد. در اعداد رینولدز ۵۰۰۰، ۱۰۰۰۰، ۲۰۰۰۰، ۴۰۰۰۰ و ۵۰۰۰۰ شبیه سازی انجام شده و جریان های ثانویه مشاهده گردید و نتایج روی نمودارهایی ترسیم گردید. راستای جریان راستای x و راستای z، y دو راستای عمود بر هم در مقطع جریان می باشند. شماتیک هندسه کanal مربعی در شکل ۱-۲ نشان داده شده است.



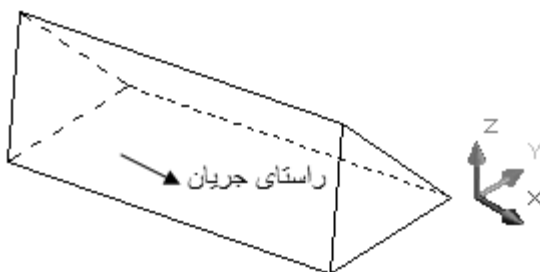
شکل ۱-۲ - شماتیک هندسه کanal مربعی

کanal با مقطع مستطیلی نیز مشابه مقطع مربعی می باشد. ابعاد مقطع $1 \times 1.5cm^2$ می باشد طول کanal مشابه قسمت قبل 2.5 cm است. شبیه سازی در اعداد رینولدز متفاوت انجام شده است. شماتیک هندسه کanal مستطیلی در شکل ۳-۱ نشان داده شده است.



شکل ۱-۳- شماتیک هندسه کانال مستطیلی

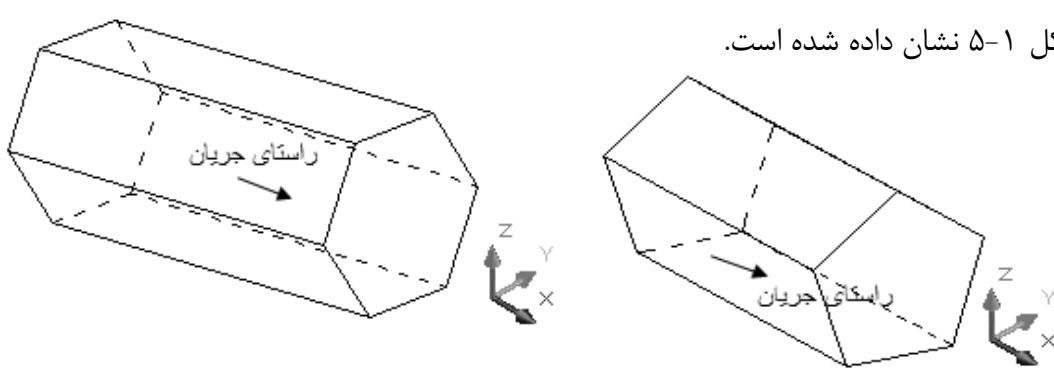
در کanal با مقطع مثلثی، مقطع یک مثلث متساوی الاضلاع می باشد که در دایره ای به شعاع 1 cm محاط شده و طول هر ضلع آن $\sqrt{3}\text{ cm}$ می باشد. طول کanal مشابه قسمت قبل 2.5 cm است. شبیه سازی در اعداد رینولدز متفاوت انجام شده است. شماتیک هندسه کانال مثلثی در شکل ۱-۴ نشان داده شده است.



شکل ۱-۴- شماتیک هندسه کانال مثلثی

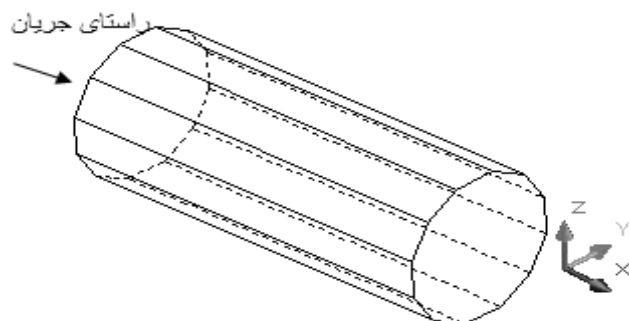
در کanal با مقطع چند ضلعی، مقطع یک چند ضلعی منتظم است که در دایره ای به شعاع 1 cm محاط شده، مقاطع پنج ضلعی، شش ضلعی، هشت ضلعی، دوازده ضلعی و مقطع دایره ای مورد بررسی قرار خواهد گرفت و وجود و یا عدم وجود جریان های ثانویه نشان داده خواهد شد، با توجه به اینکه در مقطع دایره ای مقادیر تنیش های رینولدز و جریان های ثانویه صفر می باشد با افزایش تعداد اضلاع در چند ضلعی های منتظم این موضوع مشهود است. طول کanal مشابه قسمت قبل 2.5 cm است. شبیه سازی در اعداد رینولدز متفاوت انجام شده است. شماتیک هندسه کانال چندضلعی های منتظم

در شکل ۱-۵ نشان داده شده است.



(ب)

(الف)

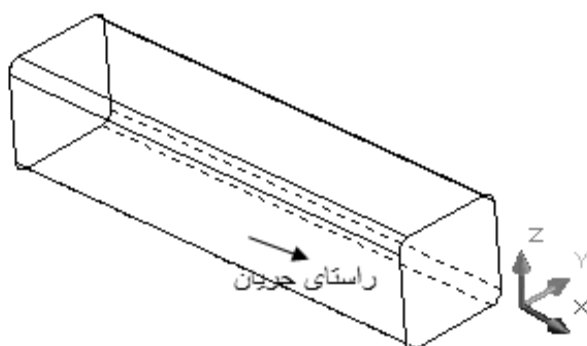


(ج)

شکل ۱-۵- شماتیک هندسه کanal با مقطع (الف) پنج ضلعی- (ب) شش ضلعی- (ج) دوازده ضلعی

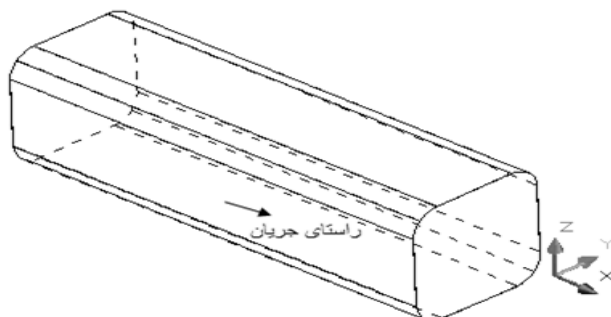
در قسمت دوم این تحقیق تیزی گوشه های این مقاطع گرد می شود و پروفیل های سرعت و وجود جریان های ثانویه بررسی می شود. با عنایت به گرد کردن گوشه ها و افزایش میزان شعاع گرد کردن و نزدیک شدن مقطع شکل به مقطع دایره ای انتظار می رود که با افزایش شعاع روند زدن جریان های ثانویه و تنش های رینولدز کاهش یابد، تحلیل این کanal ها در قسمت های بعدی بررسی خواهد شد.

بدین منظور ابتدا گوشه ها در مقطع مربعی به ابعاد $1 \times 1 \text{ cm}^2$ به میزان 1mm روند زده می شود و جریان تحلیل می گردد، شکل ۱-۶.



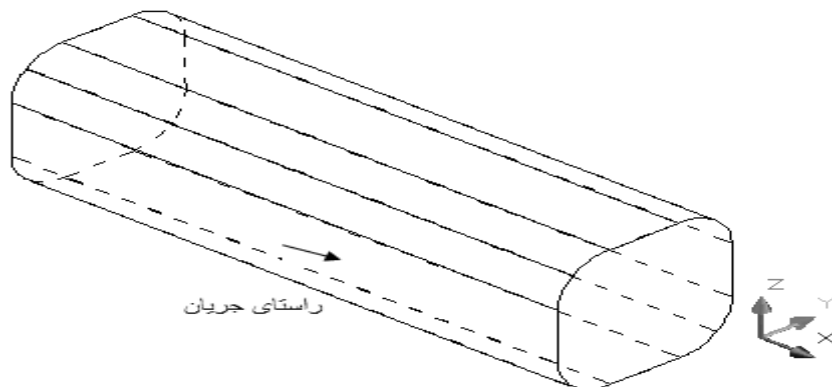
شکل ۱-۶- مقطع گرد شده کanal

سپس گوشه ها به میزان 2mm روند زده می شود و جریان تحلیل می گردد، شکل ۱-۷.



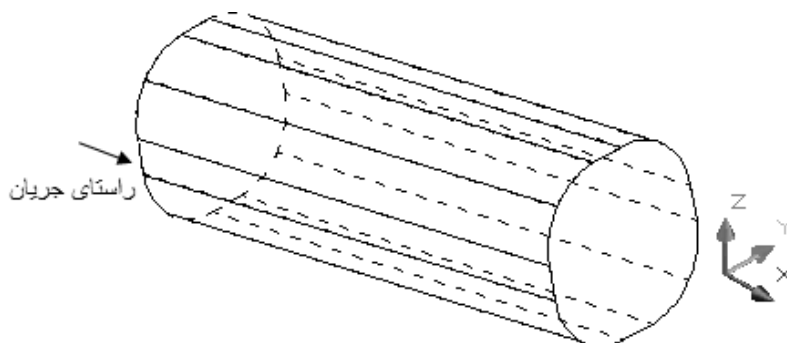
شکل ۱-۷- مقطع گرد شده کanal

سپس گوشه ها به میزان $3mm$ روند زده می شود و جریان تحلیل می گردد، شکل ۱-۸.



شکل ۱-۸- مقطع گرد شده کanal

و در نهایت گوشه ها به میزان $4mm$ روند زده می شود و جریان تحلیل می گردد، شکل ۱-۹.



گوشه های سایر مقاطع غیر دایره ای نیز مشابه مقطع مربعی روند زده شده و جریان در این مقاطع مورد بررسی قرار خواهد گرفت.

فصل دوم

روش های مدل سازی و معادلات حاکم

۱-۲ مقدمه

اندازه جمله های تشن رینولذ و دیگر نرخ های آشفتگی مانند نرخ شارهای حرارتی و غیره را نمی توان به تنهایی و از روی میدان سرعت متوسط، مدان آنتالپی و دیگر میدان های مربوط به کمیت های متوسط جریان به دست آورد، نکته اساسی در مورد نحوه تعیین جمله های تشن رینولذ این است که اندازه این جمله ها بایستی با استفاده از برخی معادلات و روابط تجربی کمکی و حل همزمان آنها در کنار معادلات متوسط گیری شده رینولذ به دست آیند. اگرچه معادلات ناویر استوکس بیانگر توصیف کاملی از هر نوع جریان سیال می باشند، لیکن در طی فرآیند متوسط گیری معمولاً بخشی از اطلاعات موجود در یک جریان آشفته به نوعی مفقود می شوند، از این رو لازم است تا برای جبران آن بخش از اطلاعاتی که در طی فرآیند متوسط گیری از بین رفته اند، از منابع کمکی دیگری غیر از معادله ناویر استوکس متوسط گیری شده استفاده نمود.

اگرچه می توان با یک سری ضرب و جمع های ساده، فر های صریح مرتبه بالاتری از معادلات بقا را به دست آورد و در این میان ممکن است این تصور پیش آید که با حل این معادلات در تمام میدان جریان می توان اندازه تشن های رینولذ را به دست آورد، اما بایستی خاطر نشان کنیم که متأسفانه در سمت راست معادلات جدید، جمله های مجھول بیشتری علاوه بر جمله های مجھول تشن رینولذ ظاهر خواهند شد که مجدداً برای تعیین اندازه این جمله های نوظهور، بایستی از برآیند معادله سازی از روی معادلات بقا استفاده شود و این روند به احتمال زیاد تا نقطه نامعلومی ادامه خواهد یافت.

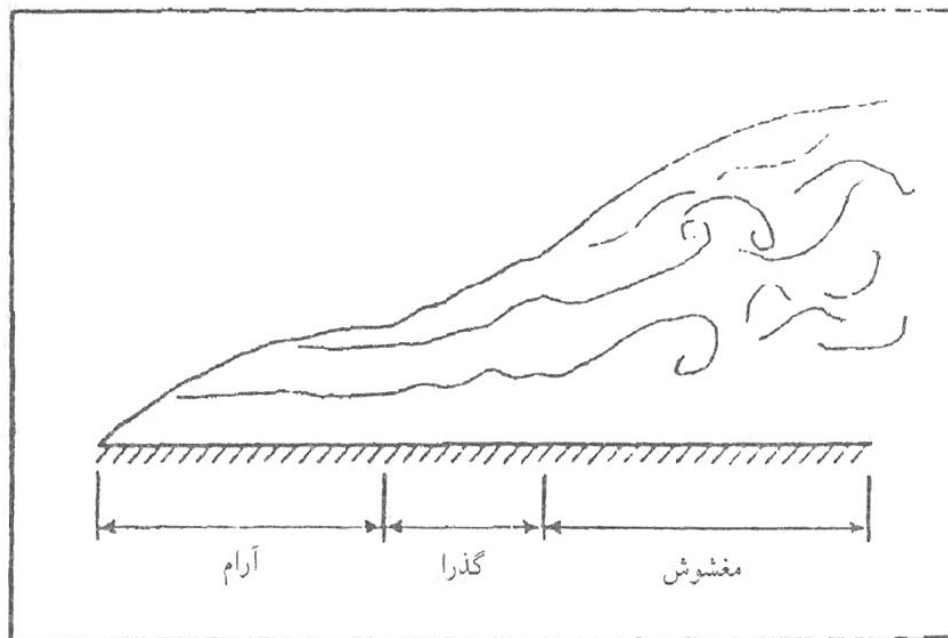
این سری های بی انتها از معادلات ممنتویی بالاخره بایستی در یک نقطه و با استفاده از اطلاعاتی که از منابعی غیر از معادلات ممنتوی موجود به دست می آیند، اصطلاحاً "قطع (یا بسته)" گردند. تا همین واحر، تنها منبع تأمین این گونه اطلاعات مستقل آزمایش های تجربی بودند، لیکن امروزه به کمک روش های قدرتمند CFD و همچنین با استفاده از سیستم های پردازش موازی و بالاخص "شبیه سازی عددی آشفتگی با استفاده از حل کامل معادلات وابسته به زمان ناویراستوکس" این امکان به وجود آمده تا به نتایجی که معادل و هم ارزش نتایج آزمایش های تجربی هستند دست بیابیم. اما با توجه به

اینکه این آزمایشات تجربی عمدتاً معطوف به جریان های بسیار ساده و البته معطوف به نواحی خاصی از این جریان ها بوده و در مسیر به دست آوردن آن ها از فرضیات ساده کننده متعددی استفاده شده است، لذا این نتایج تنها برای برخی جریان های خاص و محدود و یا حتی برای نواحی خاصی از یک میدان جریان معتبر می باشند. بنابر این روابط و فرمول های به دست آمده از اطلاعات تجربی و یا شبیه سازی های پیچیده عددی هم لزوماً فرمول های جامع و کاملی نبوده و از آن ها نمی توان در همه نقاط یک جریان آشفته استفاده نمود. از این رو مدل های آشفتگی استفاده کننده از این روابط و فرمول ها را اصطلاحاً "مدل های غیر کامل^۱" می نامند. لذا مدل کاملی که در تمام مسائل مهندسی و یا حتی در تمام نقاط از یک میدان جریان آشفته، با دقیقیت معتبر و قابل قبول استفاده شود، وجود ندارد. تاکنون صدها مدل آشفتگی ارائه شده اند که هر یک فقط برای رژیم های خاص جریانی و حتی در نواحی خاصی از میدان جریان معتبر و دقیق می باشند.

۲-۲- مدل توربولانسی

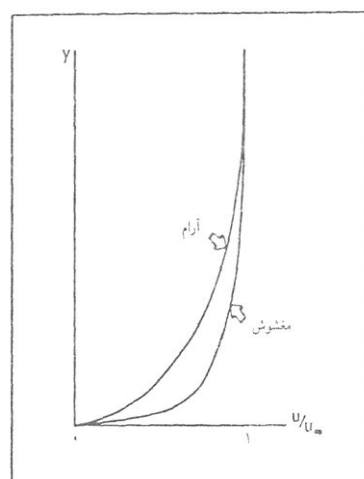
در بیشتر جریانهای با رینولدز بالا، اثر نیروهای لزجت به ناحیه نزدیک سطح محدود می شود. این ناحیه را لایه مرزی می نامند. از مبانی درس مکانیک سیالات می دانیم که لایه مرزی معمولاً از یک دسته خطوط جریان خوش رفتار آغاز می شود و اختلال در سطح میکروسکوپی صورت می گیرد. چنین لایه مرزی را لایه مرزی آرام می نامند. به علت شرایط ناشی از شکل هندسی و میدان جریان، مانند زبری سطح، دمای سطح، تزریق به سطح و گرادیان فشار، اختلال سیال به سطح ماکروسکوپی افزایش می یابد و خطوط جریان دیگر خوش ترکیب نیستند. این نوع جریان را جریان مغشوش می نامند. ناحیه گذرایی هم بین لایه های مرزی آرام و مغشوش وجود دارد که به آن ناحیه گذرا می گوییم.

در نتیجه اختلال شدید در لایه مرزی مغشوش و شار مومنتوم بزرگ مربوط به آن، پروفیل سرعت در لایه مرزی مغشوش پهن تر از پروفیل مربوط به لایه مرزی آرام است، یعنی، گرادیان سرعت نزدیک دیوار در لایه مرزی مغشوش بزرگتر از مقدار آن در لایه مرزی آرام است.



شکل ۲-۱- رژیمهای مختلف جریان نزدیک سطح

نمونه‌ای از پروفیلهای سرعت لایه‌های مرزی آرام و مغشوش در شکل ۲-۲ نشان داده شده است.



شکل ۲-۲- مقایسه پروفیلهای سرعت لایه‌های مرزی آرام و مغشوش

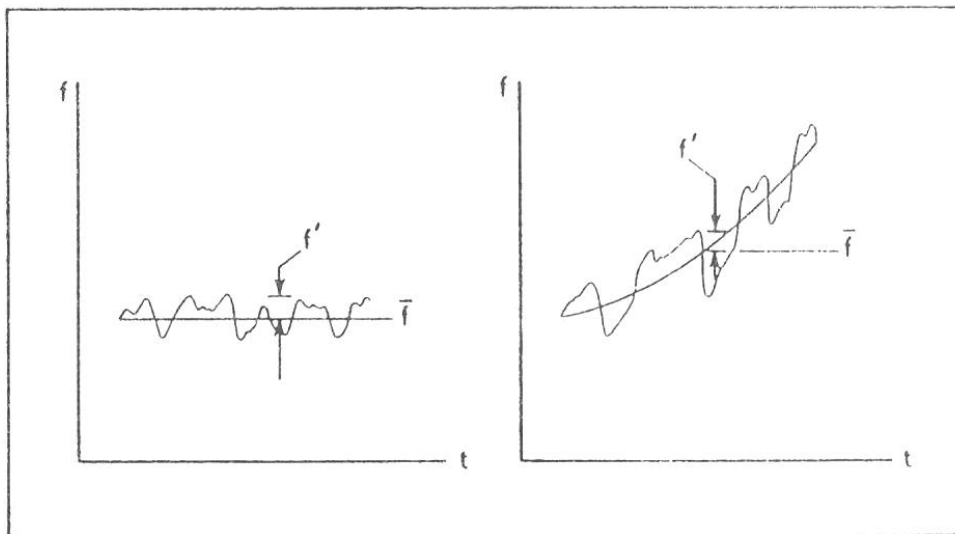
برای در نظر گرفتن اثر اغتشاش در میدان جریان باید معادله‌های حرکت سیال را تغییر داد. مرسوم است که این تغییرات را با نشان دادن مقادیر لحظه‌ای به صورت مجموع مقداری متوسط (که با قراردادن

خط کوتاهی روی متغیر نشان داده می شود) و مقدار نوسانی تابع زمانی (که با علامت پریم مشخص می شود) اعمال کنیم. از نظر ریاضی آنرا بصورت زیر می نویسیم :

$$f = \bar{f} + f' \quad (1-2)$$

در رابطه ۱-۲ کمیت \bar{f} از رابطه زیر بدست می آید :

$$\bar{f} = \frac{1}{\Delta t} \int_{t_0}^{t_0 + \Delta t} f dt \quad (2-2)$$



شکل ۲-۳- نمایش مقادیر متوسط و نوسانی در جریانهای دائم و غیردائم

فاصله زمانی Δt که در تعاریف بالا به کار رفت باید بزرگتر از دوره نوسانهای کمیتها و کوچکتر از فاصله زمانی جریان غیردائم باشد. پس فاصله زمانی تابعی از مسئله است یعنی تابعی از شکل هندسی و فیزیک میدان جریان موردنظر است.

شایان توجه است که در یک جریان دائم مقدار متوسط زمانی ثابت است در حالیکه در جریان غیردائم تابعی از زمان است برای پیگیری جزئیات ریاضی، قانونهای متوسطگیری زیررا به کار می بریم :

$$\bar{\bar{f}} = \bar{f} \quad (1-3-2)$$

$$\overline{f+g} = \bar{f} + \bar{g} \quad (2-3-2)$$

$$\overline{\bar{f}g} = \bar{f} \bar{g} \quad (3-3-2)$$

$$\frac{\partial \bar{f}}{\partial x} = \frac{\partial f}{\partial x} \quad (4-3-2)$$

$$\overline{f'^2} \neq 0 \quad (5-3-2)$$

$$\overline{f'g'} \neq 0 \quad (6-3-2)$$

$$\overline{[\bar{f} + f']^2} = \bar{f}^2 + \overline{f'^2} \quad (7-3-2)$$

قابل ذکر است که متوسط حاصلضرب مقادیر نوسانی که با $\overline{f'g'}$ نشان داده می شود، در حالت کلی صفر نیست. در واقع، این کمیت ها بویژه آنهایی که نوسانات های سرعت را شامل می شوند، بسیار مهم هستند و زیربنای اثر جریان مغشوش را تشکیل می دهند. در صورتیکه در معادلات حاکم ترمهای سرعت، فشار و دما را به فرم رابطه ۱-۲ بنویسیم و سپس از معادلات حاکم بصورت رابطه ۲-۲ متوسط بگیریم، معادلات جدیدی برای ترمهای متوسط سرعت، فشار و دما به دست می آید برای مثال در ناحیه اول معادلات به فرم

زیر درمی آیند :

$$\frac{\partial \bar{u}}{\partial x} + \frac{\partial \bar{v}}{\partial y} + \frac{\partial \bar{w}}{\partial z} = 0 \quad (4-2)$$

$$\frac{\partial u'}{\partial x} + \frac{\partial v'}{\partial y} + \frac{\partial w'}{\partial z} = 0 \quad (5-2)$$

$$\frac{D\bar{u}}{Dt} + \bar{a}_{x,rel} = \frac{-1}{\rho} \frac{\partial \bar{p}}{\partial x} + \nu \nabla^2 \bar{u} - \left(\frac{\partial \overline{u'^2}}{\partial x} + \frac{\partial \overline{u'v'}}{\partial y} + \frac{\partial \overline{u'w'}}{\partial z} \right) \quad (6-2)$$

$$\frac{D\bar{v}}{Dt} + \bar{a}_{y,rel} = \frac{-1}{\rho} \frac{\partial \bar{p}}{\partial y} + \nu \nabla^2 \bar{v} - \left(\frac{\partial \overline{u'v'}}{\partial x} + \frac{\partial \overline{v'^2}}{\partial y} + \frac{\partial \overline{v'w'}}{\partial z} \right) \quad (7-2)$$

$$\frac{D\bar{w}}{Dt} + \bar{a}_{z,rel} = \frac{-1}{\rho} \frac{\partial \bar{p}}{\partial x} + \nu \nabla^2 \bar{w} - \left(\frac{\partial \bar{u}' \bar{w}'}{\partial x} + \frac{\partial \bar{v}' \bar{w}'}{\partial y} + \frac{\partial \bar{w}'^2}{\partial z} \right) \quad (8-2)$$

$$\frac{D\bar{T}}{Dt} = \alpha \nabla^2 \bar{T} - \left(\frac{\partial \bar{u}' \bar{T}'}{\partial x} + \frac{\partial \bar{v}' \bar{T}'}{\partial y} + \frac{\partial \bar{w}' \bar{T}'}{\partial z} \right) \quad (9-2)$$

می توان نشان داد که تبادل مومنتوم ناشی از اغتشاش در اثر ترمهای $\rho \bar{u}' \bar{v}'$, $\rho \bar{u}'^2$ و ... بوده که آنها را تنفس برشی اغتشاش (یا تنفس رینولدز) می نامند و با τ نشان می دهند.

در جریان روی صفحه تخت تنفس برشی لزجت بصورت زیر نشان داده می شود.

$$\tau_\ell = \mu \frac{\partial \bar{u}}{\partial y} = \rho \nu \frac{\partial \bar{u}}{\partial y} \quad (10-2)$$

برای نشان دادن تنفس اغتشاشی به روش مشابه، مفهوم گرادیان لزجت را در نظر می گیریم، که در آن تنفس برشی مغشوش به گرادیان سرعت متوسط جریان مربوط می شود. این تحلیل را بوزینسک¹ انجام داده و به فرضیه بوزینسک معروف است.

$$\tau_t = \rho \nu_t \frac{\partial \bar{u}}{\partial y} = \mu_t \frac{\partial \bar{u}}{\partial y} \quad (11-2)$$

به روش مشابه، انتشار گردابه برای ترکیب شارهای حرارتی آرام و مغشوش تعریف می شود. لذا معادلات مومنتوم و انرژی به فرم استاندارد زیر در می آیند :

$$\frac{D\bar{V}}{Dt} + \bar{a}_{rel} = \frac{-1}{\rho} \nabla \bar{p} + (\nu + \nu_t) \nabla^2 \bar{V} \quad (12-2)$$

$$\frac{D\bar{T}}{Dt} = (\alpha + \alpha_t) \nabla^2 \bar{T} \quad (13-2)$$

در رابطه ۱۲-۲، \bar{V} بردار سرعت متوسط است.

1-Boussinesq

بایستی توجه داشت که در اینجا هنوز معادلات حاکم تکمیل نشده‌اند زیرا دو مجھول، α و μ به این معادلات اضافه شده‌اند. برای بدست آوردن این دو مجھول روش‌های متنوعی ارائه شده است. قبل از معرفی این روش‌ها، لازم است که طول اختلاط پرانتل را معرفی می‌کنیم.

می‌دانیم که در جریان آرام اختلاط سیال در سطح مولکولی است و تنشهای لزجت و شارهای حرارتی ناشی از انتقال مومنتوم و حرارت در اثر حرکت مولکولها در فاصله آزاد آنها پیش از برخوردشان است.

مفهوم مشابهی را برای جریان مغشوش به کار می‌بریم، به این شکل که فرض می‌کنیم تکه‌های سیال پیش از برخورد، فاصله محدودی را طی می‌کنند. تبادل مومنتوم و انرژی حاصل مفهوم تنش برشی و شار حرارتی مغشوش را می‌دهد. این فاصله محدود را طول اختلاط می‌نامند. این مفهوم توسط پرانتل معرفی شده و به طول اختلاط پرانتل معروف است.

فرضیه پرانتل بصورت زیر بیان می‌شود :

$$\tau_t = -\rho \overline{u'v'} = \rho \ell^2 \left(\frac{\partial \bar{u}}{\partial y} \right)^2 \quad (14-2)$$

$$\left(\frac{q}{A} \right)_t = \rho \ell_e^2 \left(\frac{\partial \bar{T}}{\partial y} \right)^2 \quad (15-2)$$

برحسب جمله‌های لزجت گردابهای و پخش گردابهای، روابط زیر به دست می‌آیند :

$$v_t = \ell^2 \left(\frac{\partial \bar{u}}{\partial y} \right) \quad (16-2)$$

$$\alpha_t = \ell_e^2 \left(\frac{\partial \bar{T}}{\partial y} \right) \quad (17-2)$$

مفهوم لزجت گردابهای و پخش گردابهای را می‌توان به آسانی به معادلات ناویراستوکس تعمیم داد.

مثالاً در یک مسئله دوبعدی، ۷ از قرار زیر خواهد بود:

$$\nu_t = \ell^2 \left[\left(\frac{\partial \bar{u}}{\partial y} \right)^2 + \left(\frac{\partial \bar{v}}{\partial y} \right)^2 \right]^{\frac{1}{2}} \quad (18-2)$$

آنچه تا این مرحله ارائه شد، معرفی دو پارامتر جدید است و موضوع اصلی یعنی تکمیل معادلات هنوز پابرجاست زیرا دو مجھول اضافی وجود دارند. که به صورت ℓ و ℓ_e ظاهر شده‌اند.

برای نوشتن رابطه‌ای برای طول اختلاط، شدیداً به نتایج آزمایشگاهی نیاز است و ℓ و ℓ_e را برای رژیمهای مختلف جریان، یعنی ناحیه داخلی و خارجی مدل می‌کنیم. این روابط نیمه تجربی را مدل‌های اغتشاش می‌نامند و به صورت معادلات جبری یا معادلات دیفرانسیل ارائه می‌شوند.

۲-۳- مدل‌های اغتشاش صفر معادله‌ای

مدلهای صفر معادله‌ای، معادلاتی هستند که جمله‌های نوسانی اغتشاش با رابطه‌های جبری و بر حسب کمیتهای متوسط میدان جریان مشخص می‌شوند. فرض نهفته در مدل‌های صفر معادله‌ای این است که نرخ تولید و از بین رفتن اغتشاش مساوی است. به هر حال این معادلات جابجایی اغتشاش را در نظر نمی‌گیرند.

آشکار است که این نکته با فیزیک مسئله مغایرت دارد، زیرا تاریخچه قبلی جریان در نظر گرفته نمی‌شود. به هر صورت این مدلها شکل ریاضی ساده‌ای دارند و اعمال آنها در یک برنامه عددی نسبتاً آسان است. عموماً، اغلب مدلها ناحیه‌های داخلی و خارجی را برای نشان دادن اختلاط ارائه می‌کنند. مدلی که معمولاً استفاده می‌شود از یک تابع نمایی (تابع استهلاک ون دریشت^۱) برای ناحیه داخلی استفاده می‌کند در حالیکه ناحیه خارجی با ضخامت لایه مرزی متناسب است.

$$\ell_i = k (1 - e^{-y^+ / A^+}) y \quad (19-2)$$

$$\ell_e = C_e \delta \quad (20-2)$$

1- Van Driest

در روابط فوق k ثابت فون کارمن بوده و حدود 0.41 و C حدود 0.08 تا 0.09 است δ نیز معرف

ضخامت لایه مرزی است همچنین y^+ و A^+ نیز از روابط زیر بدست می آیند :

$$y^+ = \frac{y}{\nu} \left(\frac{\tau_w}{\rho} \right)^{\frac{1}{2}} \quad (21-2)$$

$$A^+ = 26 \left[1 + \frac{dp}{dx} \left(\frac{y}{\tau_w} \right) \right]^{\frac{1}{2}} \quad (22-2)$$

فرمولبندی دیگری که معمولاً برای لزجت مغشوش ناحیه خارجی به کار می رود، مدل سبسبی و اسمیت^۱ است و به صورت زیر است.

$$\nu_t = \alpha \bar{u}_e \delta^* \quad (23-2)$$

این مدل براساس Re_θ (عدد رینولدز مبتنی بر ضخامت مومنتوم) بزرگتر از 5000 قابل استفاده بوده و مقدار α نیز حدود 0.0168 و δ^* ضخامت جابجایی جنبشی است.

$$\delta^* = \int_0^\infty \left(1 - \frac{u}{u_e} \right) dy \quad (24-2)$$

گفتنی است که عدد رینولدز بر حسب ضخامت مومنتوم بصورت زیر تعریف می شود :

$$Re_\theta = \frac{\rho_e u_e \theta}{\mu_e} \quad (25-2)$$

که ضخامت مومنتوم θ بصورت زیر است :

$$\theta = \int_0^\infty \frac{u}{u_e} \left(1 - \frac{u}{u_e} \right) dy \quad (26-2)$$

دو مدل ذکر شده به اطلاعات مربوط به ضخامت لایه مرزی و خواص جریان در لب لایه مرزی نیاز

دارد. وقتی معادلات ناویراستوکس را حل می کنیم، تعیین ضخامت لایه مرزی یا خواص لبۀ آن امری دشوار است هرگاه جدایی جریان وجود داشته باشد، این امر دشوارتر است. در هر حال، اگر بخواهیم حد ناحیه لزج را تعیین کنیم از آنتالپی کل استفاده می کنیم. بالدوین و لومکس^۲ [۴۶] مدل اغتشاشی را برای لایه مرزی نوشتند که بر حسب ضخامت لایه مرزی نیست. ناحیه داخلی را با رابطه زیر تقریب می کنیم :

$$\mu_t = \rho \ell^2 |\omega| \quad (27-2)$$

که ω ورتیسیتی است و برای جریانهای دوبعدی بصورت زیر تعریف می شود:

$$\omega = \frac{\partial u}{\partial y} - \frac{\partial v}{\partial x} \quad (28-2)$$

در جریانهای سه بعدی نیز مقدار ω از رابطه زیر تعیین می شود :

$$\omega = \left[\left(\frac{\partial v}{\partial x} - \frac{\partial u}{\partial y} \right)^2 + \left(\frac{\partial w}{\partial y} - \frac{\partial v}{\partial z} \right) + \left(\frac{\partial u}{\partial z} - \frac{\partial w}{\partial x} \right)^2 \right]^{\frac{1}{2}} \quad (29-2)$$

در منطقه خارجی مقدار ویسکوزیته توربولنس از رابطه زیر بدست می آید :

$$\mu_t = \alpha \bar{\rho} C_{cp} F_{wake} F_{kleb} \quad (30-2)$$

مانند مدل سبسبی و اسمیت مقدار $\alpha = 0.0168$ بوده و F_{wake} نیز از رابطه زیر به دست می آید :

$$F_{wake} = \min \left[y_{\max} G_{\max}, C_{wake} y_{\max} \frac{(\Delta v)^2}{G_{\max}} \right] \quad (31-2)$$

مقدار نمونه برای $C_{wake} = 0.25$ است و G_{\max} نیز از رابطه زیر تعیین می شود :

$$G_{\max} = \max \left(\frac{1}{k} |\omega| \right) \quad (32-2)$$

در روابط فوق k ثابت فون کارمن و ℓ طول اختلاط (رابطه ۱۹-۲) است. اختلاف بین مقدار ماکزیمم و مینیمم سرعت مطلق در ناحیه لرج را با Δv نشان می‌دهیم و F_{kleb} ضریب تناوبی است.

$$F_{kleb} = \left[1 + 5.5 \left(\frac{C_{kleb} y}{y_{\max}} \right)^6 \right]^{-1} \quad (33-2)$$

همچنین y_{\max} موقعیت در رابطه زیر به دست می‌آید :

$$C_{kleb} = \frac{2}{3} - \frac{0.01312}{0.1724 - \beta^*} \quad (34-2)$$

در رابطه ۳۳-۲ مقدار β^* از رابطه زیر تعیین می‌شود.

$$\beta^* = \frac{y_{\max}}{\sqrt{\frac{\tau_w}{\rho}}} \frac{\partial V}{\partial x} \quad (35-2)$$

پس از تعیین ثابت کلبانف مقدار C_{cp} از رابطه زیر تعیین می‌شود :

$$C_{cp} = \frac{3-4C_{kleb}}{2C_{kleb}(2-3C_{kleb}+C_{kleb}^3)} \quad (36-2)$$

برای مدل کردن ضریب پخش گردابهای از تحلیل رینولدز استفاده می‌کنیم. گفتنی است که تحلیل رینولدز تشابهی را بین انتقال مومنتوم و انتقال حرارت فرض می‌کند. از این رو عدد پرانتل مغشوش

تصویرت زیر تعریف می‌شود :

$$(37-2) \Pr_t = \frac{\nu_t}{\alpha_t} = \frac{\mu_t C_p}{k_t}$$

در بیشتر جریانها، فرض می کنیم که عدد پرانتل مغشوش در لایه مرزی ثابت می ماند. برای هوا

است پس ضریب هدایت اغتشاش بصورت زیر محاسبه می شود:

$$k_t = \frac{\mu_t C_p}{\Pr_t} \quad (38-2)$$

که در رابطه فوق μ از مدل های اغتشاش بدست می آید.

$$R_{ij} = \frac{2}{3} K \delta_{ij} - \nu_t \left(\frac{\partial \bar{u}_i}{\partial x_j} + \frac{\partial \bar{u}_j}{\partial x_i} \right) \quad (39-2)$$

این معادله در واقع همان چیزی است که محققین از آن تحت عنوان "مدل ویسکوزیته ادی استاندارد"

یاد می نمایند. در این مدل کمیت $\frac{l_0^2}{\tau_0} \equiv \nu_t$ بیانگر "ویسکوزیته ادی" یا همان "ویسکوزیته آشفته" می باشد.

l_0 طول مقیاس آشفتگی و τ_0 زمان مقیاس آشفتگی می باشد. در مدل های صفر معادله ای هر دو

کمیت ν_t به صورت جبری و با استفاده از نتایج تجربی تعیین می گردد. قدیمی ترین شکل از مدل

های صفر معادله ای، تئوری اختلاط پرانتل می باشد که در آن ویسکوزیته ادی به شکل زیر می باشد:

$$l_m \text{ اندازه مرسوم برای ادی های حامل انرژی} \quad \nu_t = l_m^2 \left| \frac{\partial \bar{u}}{\partial n} \right|$$

باشد. از دیدگاه برخی محققین "طول مقیاس اختلاطی" بیانگر میزان مسافتی است که توده کوچکی از

سیال پیش از "از دست دادن ممنتوم خود" طی می نماید. این رابطه در واقع یک تئوری "تابعی نقطه

ای" محسوب می شود چرا که اولاً تنها تابعی از پارامتر های متوسط است و ثانیاً کاملاً تجربی و وابسته

به هندسه و جریان اطراف آن می باشد. اگر احیاناً در ناحیه ای از نواحی داخلی یک میدان جریان

رینولدز بالا، به هر دلیلی اندازه گرادیان سرعت متوسط نسبت به راستای متعامد η صفر گردد،

ویسکوزیته ادی هم صفر می گردد که این به معنی آرام بودن جریان در آن نقطه است.

نظریه طول اختلاطی فقط برای جریان های نسبتاً ساده نظری "جریان های لایه برشی نازک" و جریان های جت و جریان های برخاستگی و بعضًا جریان های لایه مرزی تشکیل شده بر روی دیواره صلب خوب کار می کند. استفاده از مدل های صفر معادله ای به واسطه نیاز به اندازه گیری های تجربی برای هر مسئله خاص و استفاده از روابط کاملاً موضعی از جامعیت کافی در تمام مسائل مهندسی برخوردار نیست و عملاً زمانی را که می توان برای تعیین اندازه طول اختلاطی l_m^1 در هر مسئله مهندسی خاص صرف نمود را می توان بر توسعه مدل های به مراتب قدرتمند تر و جامع تر اختصاص داد.

۴-۲- مدل های یک معادله ای

مدل های یک معادله ای با هدف رفع برخی از مشکلات در مدل های صفر معادله ای ارائه شدند. که از مهمترین آنها می توان به تأمین ابزاری برای محاسبه انرژی جنبشی آشفتگی و نیز در نظر گرفتن برخی تأثیرات محدود غیر موضعی و نیز اثرات تاریخچه در تعیین اندازه ویسکوزیته آشفته اشاره نمود. در مدل های یک معادله ای، فرض بر این است که ویسکوزیته آشفتگی دارای شکلی شبیه به رابطه زیر می باشد:

$$\nu_t = K^{\frac{1}{2}} l \quad \text{که در آن انرژی جنبشی آشفتگی } K \text{ به صورت زیر بیان می گردد:}$$

$$\frac{\partial K}{\partial t} + \bar{u}_i \frac{\partial K}{\partial x_i} = -R_{ij} \frac{\partial \bar{u}_i}{\partial x_j} - \varepsilon - \frac{\partial}{\partial x_i} \left(\frac{1}{2} \overline{u'_k u'_k u'_i} + \frac{\overline{p'}}{\rho} u' \right) + \nabla^2 K \quad (40-2)$$

در این زمینه می توان به تحقیقات انجام شده در سال ۱۹۴۲ توسط کولموگروف [۴۷] و نیز تحقیقات پرانتل و ویگهارت در سال ۱۹۴۵ اشاره نمود. این معادله را می توان به محض آنکه مدل هایی برای جمله "اضمحلال آشفتگی" و "انتقال آشفتگی" ارائه شود، بسته نمود. این جمله ها در واقع همان جمله های دوم و سوم موجود در سمت راست معادله می باشد.

نرخ اضمحلال آشفتگی را می توان به صورت زیر بیان کرد.

$$\varepsilon = C^* \frac{K^{3/2}}{l} \quad (41-2)$$

C^* یک ثابت بدون بعد می باشد. در مدل های یک معادله ای به محض اینکه اندازه طول مقیاس آشфтگی

1 به صورت تجربی تعیین گردد با استفاده از معادله (41-2) یک دستگاه معادلات بسته برای تعیین

مقادیر \bar{u}_i, \bar{p}, K به دست آورد.

$$R_{ij} = -V_t \left(\frac{\partial \bar{u}_i}{\partial x_j} + \frac{\partial \bar{u}_j}{\partial x_i} \right) \quad (42-2)$$

این مدل در واقع یک مدل تک معادله ای ساده است که در آن همانند دیگر مدل های یک معادله ای ، از

یک معادله مدل شده انتقالی برای به دست آوردن توزیع ویسکوزیته آشفتگی استفاده می شود. این مدل

در شکل اصلی خود مدلی موثر برای اعداد رینولدز پایین محسوب می شود. این روش جزو رایج ترین

مدل ها در کاربرد های هوافضایی می باشد.

عمده مشکلات مدل های صفر و یک معادله ای را می توان در دو عامل اصلی جستجو کرد:

- استفاده از تنها یک مدل برای تعیین ویسکوزیته آشفتگی

- نیاز به تعیین طول مقیاس آشфтگی به روشهای کاملاً غیر عمومی و منطبق بر اندازه گیری های

تجربی

بنا بر این به خاطر دلیل دوم ، مدل های غیر کاملی محسوب می شوند.

۲-۵- مدل های اغتشاش دو معادله ای

ساده ترین مدل های کامل آشфтگی که در عین داشتن قابلیت های بالا ، دارای فرم نسبتاً ساده ای نیز

می باشند، مدل های دو معادله ای هستند که در آنها حل دو معادله انتقالی، منجر به تعیین دو کمیت

"سرعت مقیاس آشфтگی" و نیز "طول مقیاس آشфтگی" به صورت مستقل از یکدیگر می شوند.

قدرت پیش بینی بالا، اقتصادی بودن و از همه مهم تر دقت قابل قبول برای طیف وسیعی از جریان های آشفته، منجر به آن شده است که هر یک از مدل های دو معادله ای به یک مدل رایج برای شبیه سازی عددی جریان های صنعتی مبدل گردد. ویژگی منحصر به فردی که مدل های دو معادله ای را از مدل های صفر و یک معادله ای متمایز می سازد این است که در این مدل ها، دو معادله انتقالی مدل شده کاملاً مجزا و مستقل از یکدیگر برای تعیین اندازه "طول مقیاس آشفتگی" و "زمان مقیاس آشفتگی" حل خواهند شد.

همه مدل های آشفتگی در برخورد با جریان های آشفته، به یک شکل و با یک دقت عمل نمی نمایند؛ بدین منظور لازم است تا قابلیت ها و در عین حال محدودیت های هر یک از مدل های آشفتگی به دقت بررسی شود.

k - ۱-۵-۲

پیشتر گفتیم که جابجایی اغتشاش در مدل های صفر معادله ای منظور نمی شود. از این رو اثر فیزیکی تاریخچه قبلی جریان وارد مدل های ساده جبری نمی شود. برای در نظر گرفتن این منظور از مدل های چند معادله ای استفاده می شود. معمولاً برای اعمال جابجایی اغتشاش، این معادلات براساس معادله ناویراستوکس به دست می آیند.

هرگاه دو معادله از این نوع را بکار ببریم، مدل را دو معادله ای می نامند. یکی از معروف ترین مدل های دو معادله ای، مدل $k - ۴ - ۴۸$ است. در این مدل دو معادله دیفرانسیل مشتقات جزئی برای انرژی جنبشی اغتشاش (k) و اتلاف آن (ϵ)، بکار می رود و بصورت زیر تعریف می شود :

$$k = \frac{1}{2} (\overline{u'^2} + \overline{v'^2} + \overline{w'^2}) \quad (۱-۴۳-۲)$$

$$\epsilon = v_t \left(\frac{\partial u^i}{\partial x_j} \right) \left(\frac{\partial u^j}{\partial x_i} \right) \quad (۲-۴۳-۲)$$

معادلات $\epsilon - k$ بصورت زیر تعریف می شوند :

$$\frac{\partial k}{\partial t} + \nabla \cdot (k \bar{V} - \frac{\nu_t}{Pr_k} \nabla k) = \varphi - \epsilon \quad (44-2)$$

$$\frac{\partial \epsilon}{\partial t} + \nabla \cdot (\epsilon \bar{V} - \frac{\nu_t}{Pr_\epsilon} \nabla \epsilon) = c_1 \varphi \frac{\epsilon}{k} - c_2 \frac{\epsilon^2}{k} \quad (45-2)$$

در روابط فوق Φ معرف تولید اغتشاش ناشی از تنشهای رینولدز است و از رابطه زیر بدست می آید :

$$\varphi = \nu_t \left\{ 2 \left[\left(\frac{\partial \bar{u}}{\partial x} \right)^2 + \left(\frac{\partial \bar{v}}{\partial y} \right)^2 + \left(\frac{\partial \bar{w}}{\partial z} \right)^2 \right] + \left(\frac{\partial \bar{u}}{\partial y} + \frac{\partial \bar{v}}{\partial x} \right)^2 + \left(\frac{\partial \bar{u}}{\partial z} + \frac{\partial \bar{w}}{\partial x} \right)^2 + \left(\frac{\partial \bar{w}}{\partial y} + \frac{\partial \bar{v}}{\partial z} \right)^2 \right\} \quad (46-2)$$

مقدار ویسکوزیته توربولانس برحسب k و ϵ تعریف می شود :

$$\mu_t = \rho C_\mu \frac{k^2}{\epsilon} \quad (47-2)$$

رابطه اساسی "ویسکوزیته ادی بوزینسک" یا اصطلاحاً "تقریب بوزینسک" به صورت زیر تعریف می شود. استفاده از تقریب بوزینسک برای "محاسبه تنش های آشفتگی در یک سیال تراکم ناپذیر" به امری کاملاً رایج در میان محققین مبدل شده است. رابطه بوزینسک بر پایه این حقیقت بنا شده است که مؤلفه های تنش های رینولدز متناسب با گرادیان های سرعت متوسط می باشند.

$$R_{ij} = \frac{2}{3} K \delta_{ij} - \nu_t \left(\frac{\partial \bar{u}_i}{\partial x_j} + \frac{\partial \bar{u}_j}{\partial x_i} \right) \quad (48-2)$$

ثابت های معادلات فوق عبارتند از :

$$C_1 = 1.44, \quad C_2 = 1.92, \quad Pr_k = 1, \quad Pr_\epsilon = 1.3, \quad C_\mu = 0.09$$

بایستی توجه داشت که مدل $\epsilon - k$ نسبت به تغییرات هر چند ناچیز در برخی از این ضرایب (بالاخص در مقادیر C_1 ، C_2) بسیار حساس است.

۲-۱-۵- قابلیت های عمومی مدل استاندارد $\epsilon - k$

همه مدل های آشفته در برخورد با جریان های آشفته، به یک شکل و با یک دقت عمل نمی نمایند؛ بدین منظور لازم است تا قابلیت ها و در عین حال محدودیت های هر یک از مدل های آشفتگی به دقت مورد تجزیه و تحلیل قرار گیرند. یکی از بزرگترین نقاط ضعف مدل استاندارد $\epsilon - K$ ، فرض "آشفتگی ایزوتروپیک" می باشد؛ هیچ جریانی را نمی توان در طبیعت یافت که دارای خاصیت آشفتگی ایزوتروپیک باشد. با شناخته شدن نقاط ضعف و قوت مدل $\epsilon - K$ ، در طول چند سال گذشته، بهینه سازی بر روی این مدل و به منظور بهبود کارایی این مدل صورت گرفته است. این مدل بالاخص می تواند در جریان های محصور به دیواره – که در آنها تنفس های برشی رینولدز بسیار مهم می باشند – نیز مورد استفاده قرار گیرد. از جمله مهمترین کاربردهای دیگر مدل $\epsilon - K$ می توان به موارد زیر اشاره نمود :

۱ - مدل سازی انحلال ادی در احتراق

۲ - محاسبه جریان جابجایی آزاد و جریان های هوا در فضای داخلی ساختمان ها

۳ - جریان در یک لوله با انقباض ناگهانی

۴ - مدل سازی آتش سوزی در یک اتاق تست

۵ - پیش بینی جریان و انتقال حرارت در یک دسته لوله در مبدل های حرارتی

۶ - مدل سازی جریان آرام در یک لوله با مقطع دایره ای با تغییرات فشار متناوب (تغییرات تپشی فشار) بین ورودی و خروجی لوله (نظریه جریان درون رگ های

بدن، جریان ناشی از امواج القایی پمپ در داخل خطوط انتقال نفت و نیز جریان

هوا در داخل "منیفلد" موتوور های احتراق داخلی)

۷ - مدل سازی پراکندگی آلودگی در داخل هوای جو و در آب دریاچه ها

-۸- محاسبه و بررسی نرخ گسترش جت های متقارن محوری در محیط های ساکن

بر خلاف بسیاری از موفقیت های مدل استاندارد $\epsilon - K$ ، این مدل دارای جواب های نه چندان قوی و معتبر در مبحث جریان های غیر محصور است. از جمله مهم ترین این مدل می توان به موارد زیر اشاره نمود:

۱- ضعف در مدل سازی لایه های برشی ضعیف

۲- ضعف در مدل سازی جریان های پیچشی ، جریان های با کرنش های بسیار

بزرگ و سریع ، لایه های مرزی تشکیل شده بر روی سطوح دارای شعاع انحنای

کوچک و مسیر های واگرا (مسیر های واقع در معرض گرادیان فشار معکوس) و

"جریان های دورانی و چرخشی "

۳- ضعف در مدل سازی جریان های ثانویه در کanal های طویل با مقاطع غیر گرد

۴- ضعف در مدل سازی جریان های کاملا توسعه یافته در کanal های با

مقاطع غیر گرد

یکی از بزرگترین نقاط ضعف مدل استاندارد $\epsilon - K$ فرض آشفتگی ایزوتروپیک می باشد؛ هیچ جریانی

را نمی توان در طبیعت یافت که دارای خاصیت آشفتگی ایزوتروپیک باشد، پیش بینی غلط مدل

استاندارد $\epsilon - K$ در مورد مولفه های نرمال تنش رینولد در این حقیقت نهفته است که که این مدل

تمامی این تنش ها را با یکدیگر برابر و معادل $R_{xx} = R_{yy} = R_{zz} = \frac{2}{3}K$ محاسبه می نماید، در

حالیکه در برخی جریان های مهندسی (در کanal های با مقطع غیر دایره ای) پیش بینی مدل استاندارد

کاملاً غلط می باشد.

$k - \omega - 2-5-2$

یکی دیگر از روش‌های دو معادله‌ای، روش $\omega - k$ ^۱ است این روش توسط ویل کاکس^۱ (۱۹۹۸) ارائه شده و در مسائلی که در آنها جدایش اتفاق می‌افتد دارای دقت بیشتری نسبت به روش $\varepsilon - K$ است معادلات $\omega - k$ بصورت زیر تعریف می‌شوند :

$$\nabla \cdot (k \bar{V} - \frac{\nu_t}{\sigma_k^*} \nabla k) = \varphi - \beta^* \omega k \quad (50-2)$$

$$\nabla \cdot (\omega \bar{V} - \frac{\nu_t}{\sigma_\omega^*} \nabla \omega) = \alpha \varphi \frac{\omega}{k} - \beta \omega^2 \quad (51-2)$$

در روابط فوق Φ معرف تولید اغتشاش ناشی از تنشهای رینولدز است و از رابطه ۴۶-۲ بدست می‌آید.

مقدار ویسکوزیته توربولانس بر حسب k و ω به صورت زیر تعریف می‌شود :

$$\mu_t = \rho \alpha^* \frac{k}{\omega} \quad \text{یا} \quad \mu_t = \rho \frac{C_\mu}{\beta^*} \frac{k}{\omega} \quad (52-2)$$

ثابت‌های معادلات فوق از روابط زیر بدست می‌آیند :

$$\alpha^* = \frac{\frac{1}{40} + \frac{\text{Re}_T}{6}}{1 + \frac{\text{Re}_T}{6}} \quad (1-53-2)$$

$$\beta^* = 0.09 \frac{5/18 + (\text{Re}_T/8)^4}{(1 + \text{Re}_T/8)^4} \quad (2-53-2)$$

$$\beta = \frac{3}{40} \quad (3-53-2)$$

همچنین در معادلات ۵۳-۲ عدد رینولدز توربولانس بصورت زیر تعریف می‌شود :

$$\text{Re}_T = \frac{\rho k}{\omega \mu} \quad (54-2)$$

در جریان های آشفته هموژن، اختلاف اندکی مابین نتایج به دست آمده از مدل های $\epsilon - K$ و $\omega - K$ مشاهده می شود. بر خلاف این حقیقت که اندازه ω بر روی مرز جامد، تکین می باشد، اما شواهد متعددی در دست است که نشانگر قدرت بالای مدل $\omega - K$ در هنگام انتگرال گیری از معادلات به سمت دیواره می باشد. این مدل نسبت به مدل استاندارد $\epsilon - K$ در جریان هایی که شامل "کاهش سرعت" و جدایی ناشی از گرادیان فشار معکوس می باشند، بهتر عمل می نماید. اغلب مدل های $\epsilon - K$ از آنجا که از فرضیات رینولدز بالا بودن جریان استفاده می نمایند برای حل معادلات در نواحی نزدیک دیواره با مشکلات عدیده ای مواجه می شوند اما مدل $\omega - K$ را می توان برای پیش بینی تغییرات متغیر های آشفته تا لب دیواره های جامد مورد استفاده قرار داد.

RNG k - ε - ۳-۵-۲

با ظهور نظریه RNG در ریاضیات، محققان زیادی از جمله یاخوت، ارزآگ، گریفیس و بویسان به مطالعه و کار بر روی توانایی این مدل ها در شبیه سازی جریان های آشفته پرداختند. رابطه عمومی کلموگرو به طور تجربی برای محدوده وسیعی از جریان های آشفته آزمایش شده و نشان داده است که این قانون در جریان های برشی گازها در لایه های مرزی اتمسفر و موج سطح اقیانوس ها، در جریان های هیدرودینامیک و جریان های تحت تاثیر نیروهای غوطه وری و فواره ها با دقت بسیار خوبی صادق است.

معادلات لازم برای تعیین مشخصات جریان سیال، معادلات بقای جرم و اندازه حرکت می باشند. در

این روش، τ_{ij} عبارات تنש رینولدز بوده و مطابق زیر تعریف می شوند [۵۰]:

$$\tau_{ij} = -\rho \bar{u}_i \bar{u}_j = \mu_t \left(\frac{\partial U_i}{\partial x_j} + \frac{\partial U_j}{\partial x_i} \right) - \frac{2}{3} \mu \frac{\partial u_1}{\partial x_1} \delta_{ij} \quad (55-2)$$

در اینجا برای محاسبه این عبارات از دو مدل مختلف $\epsilon - K$ استاندارد و $\omega - K$ که بر پایه ساختار همگن جریان آشفته بنا نهاده شده اند، استفاده شده است. در مدل های $\epsilon - K$ استاندارد و RNG تانسور تنش های رینولدز با استفاده از معادله (۵۵-۲) به مقادیر متوسط سرعت سیال ارتباط داده

می شود، که k نرخ تولید انرژی جنبشی آشفتگی و δ_{ij} دلتای کرونیکر است. ویسکوزیته گردابی μ_t در مدل RNG از رابطه زیر به دست می آید:

$$\mu_t = \mu \left[1 + \sqrt{\frac{c_{\mu\rho}}{\mu} \frac{k}{\sqrt{\varepsilon}}} \right]^2 \quad (56-2)$$

این رابطه بر خلاف سایر مدل های $\varepsilon - k$ برای کنار دیواره هم صادق بوده و نیازی به استفاده از مدل کنار دیوار نیست. معادله (56-2) برای محاسبه ویسکوزیته گردابی در تمام اعداد رینولدز صادق است. همچنین هر کدام از عبارت های انرژی جنبشی آشفتگی و نرخ اتلاف آن، از حل یک معادله دیفرانسیل مجزا محاسبه می گردند. این معادلات عبارتند از [۵۱]:

$$\rho u_i \frac{\partial k}{\partial x_i} = \frac{\partial}{\partial x_i} \left(\alpha_k \mu_{eff} \frac{\partial k}{\partial x_i} \right) + p - \rho \varepsilon \quad (57-2)$$

$$\rho u_i \frac{\partial \varepsilon}{\partial x_i} = \frac{\partial}{\partial x_i} \left(\alpha_\varepsilon \mu_{eff} \frac{\partial \varepsilon}{\partial x_i} \right) + c_{\varepsilon 1} \frac{\varepsilon}{k} P - c_{\varepsilon 2} \rho \frac{\varepsilon^2}{k} - R \quad (58-2)$$

در این معادلات فرض می شود $\alpha_k = \alpha_\varepsilon$ ، همچنین P (تولید انرژی جنبشی آشفتگی) و R (وابسته به نرخ کرنش) به صورت زیر تعریف می شوند:

$$P = \frac{1}{2} \mu_{eff} \left(\frac{\partial u_i}{\partial x_j} + \frac{\partial u_j}{\partial x_i} \right) \frac{\partial u_i}{\partial x_j} \quad (59-2)$$

$$R = 2 \frac{\mu}{\rho} S_{ij} \frac{\partial \bar{u}_i \partial \bar{u}_j}{\partial x_i \partial x_j} \quad (60-2)$$

$$S_{ij} = \frac{1}{2} \left(\frac{\partial u_i}{\partial x_j} + \frac{\partial u_j}{\partial x_i} \right) \quad (61-2)$$

$$\mu_{eff} = \mu + \mu_t \quad (62-2)$$

مقادیر ثابت های معادلات فوق به صورت زیر می باشد: [۵۲]

$$C_{1\varepsilon} = 1.42, C_{2\varepsilon} = 1.68, \Pr_k = 0.7194, \Pr_\varepsilon = 0.7194, C_D = 0.1567$$

5-۱-۳-۱- بررسی ویژگی های مدل RNG $k-\varepsilon$

هر چند که در دو مدل استاندارد و $\varepsilon - k$ شکل کلی معادلات تولید و اتلاف انرژی مشابه می باشند، ولی تفاوت های اصولی زیر قابل مشاهده است:

۱- در RNG ضرایب معادلات تولید و اتلاف انرژی کاملاً از طریق محاسبه به دست می آیند و پایه تجربی ندارند.

۲- در حل جریان کنار دیواره، مدل RNG نیازی به مدل های کمکی، مانند قانون کنار دیواره، ندارد.

۳- با افزایش عدد رینولدز، نزدیکی نتایج RNG با نتایج آزمایشگاهی بیشتر می شود.

۴- مدل ϵ -RNG، با اضافه نمودن عبارت R در معادله ϵ ، دقت حل جریانهای با ساختار آشفتگی غیر همگن را افزایش می دهد. عبارت R به صورت زیر قابل محاسبه است:

$$R = \rho \frac{C_\mu \eta^3 (1 - \eta/\eta_0)}{1 + \beta \eta^3} \frac{\epsilon^2}{k} \quad (63-2)$$

که در آن:

$$\eta = \sqrt{S_{ij} S_{ij}} \frac{k}{\epsilon} \quad (64-2)$$

و مقادیر ثابت آن برابر است با:

$$\beta = 0.011 \text{ to } 0.015, \eta_0 = 4.38$$

۵- محاسبه عدد پرانتل مؤثر معکوس: اعداد پرانتل مؤثر معکوس α_k و α_ϵ به صورت تحلیلی در مدل RNG به دست می آیند و در محدوده اعداد رینولدز بالا عبارتند از:

$$\alpha_K = \alpha_\epsilon \approx 1.3929 \left(\frac{\mu_{mol}}{\mu_{eff}} \ll 1 \right) \quad (65-2)$$

روش RNG، عدد معکوس پرانتل را برای انرژی آشفتگی و نرخ اتلاف انرژی آن برابر و به عنوان تابعی از نسبت ویسکوزیته مولی به مؤثر فرض نموده است، در حالی که سایر مدل های آشفتگی غالباً پارامترهای یاد شده را ثابت فرض می کنند. از این رو، در حل عددی در فرآیند تکرار می باشد در هر مرحله مقادیر اعداد معکوس پرانتل در نقاط مختلف جریان محاسبه گردد.

نتایج برای جریان های با اعداد چرخش کم و متوسط، نشان دهنده دقت زیاد مدل RNG نسبت به مدل $\epsilon-k$ و همگرائی سریع تر و حجم کمتر محاسبات نسبت به مدل تنش رینولدز می باشد. همچنین دیده می شود که در اعداد چرخشی بالا دقت مدل های استاندارد و RNG نسبت به نتایج

آزمایشگاهی کاهش زیاد می یابد.

LES - ۴-۵ - روش

با توجه به مدل های آشفتگی که در قسمت های قبل توضیح داده شد، روش استفاده شده در تحقیق حاضر روش LES می باشد.

در LES حرکت های آشفته سه بعدی بزرگتر مستقیماً نشان داده می شوند، و حرکت های مقیاس کوچکتر، مدل می شوند. لذا تأثیر مدل سازی مقیاس های کوچک در این روش از اهمیت کمتری برخوردار است. از آنجا که LES با مقیاس های بزرگ سروکار دارد، لذا می تواند با استفاده از شبکه بندی بزرگ، نتایج قابل مقایسه ای را نسبت به DNS به دست می دهد، در حالیکه DNS از LES بسیار پرهزینه تر است. از نظر ماهیت محاسبات LES بین مدل های تنش رینولدز و DNS قرار دارد و محدودیت های هر کدام از این روش ها را از بین می برد. به خاطر اینکه حرکت های مقیاس بزرگتر را صریحاً نشان می دهد، LES نتایج معتبرتر و دقیق تری را نسبت به مدل های تنش رینولدز نشان می دهد به خصوص برای جریان هایی که مقیاس های بزرگ مهم است، مانند جریان از روی اجسام برآمده که شامل پدیده جدایی و تشکیل گردابه هاست.

هزینه محاسبات DNS بالاست و با مکعب عدد رینولدز افزایش می یابد، بنابر این DNS برای جریان های دارای عدد رینولدز بالا اجرانشدنی است. تقریباً همه کارهای محاسباتی در روش DNS به حرکات کوچکتر و ساده مربوط می شود. در حالیکه انرژی و غیر ایزوتروپی بودن جریان، بطور برجسته شامل مقیاس های بزرگتر می شود. در LES دینامیک حرکت های مقیاس های بزرگ (که به خاطر هندسه جریان ایجاد می شود) صریحاً محاسبه می شوند، تأثیر مقیاس های کوچکتر (که تقریباً یک پارامتر کلی است) با مدل های ساده نشان داده می شوند. بنابر این در روش DNS حرکت های مقیاس کوچکتر با هزینه بالایی انجام می شوند.

استفاده از روش LES به اوایل دهه ۷۰ میلادی بازمی گردد. در سال ۱۹۷۰ دیردف برای اولین بار مقیاس های سرعت و دما را در لایه مرزی به صورت سه بعدی شبیه سازی کرد [۲۳]. در روش گردابه

های بزرگ (LES) تفاوت مدل سازی های مختلف، در نحوه محاسبه ضریب اسماگورینسکی (C_s) در

به دست آوردن جمله تنش های رینولدز است که بر اثر اعمال فیلتر در معادلات حاکم به وجود می آید.

چهار گام مفهومی در روش LES وجود دارد: [۵۳]

۱- عملیات فیلتر کردن که به صورت تجزیه سرعت ($U(x, t)$ به جمع یک مؤلفه فیلتر شده

و یک مؤلفه SGS یا مقیاس زیر شبکه ($\bar{U}(x, t)$ تعریف می شود. ناحیه سرعت

فیلتر شده ($\bar{U}(x, t)$ - که سه بعدی و وابسته به زمان است- حرکت گردابه های بزرگ را نشان

می دهد.

۲- معادلات برای تکامل ناحیه سرعت فیلتر شده، از معادلات ناویر استوکس نتیجه می شوند. این

معادلات با معادله ممنتوم شامل تنفس رینولدز از فرم استاندارد هستند که این تنش ها

از حرکت های جرئی ناشی می شوند.

۳- مدل سازی با مدل کردن تنفس باقیمانده (رینولدز) به سادگی بوسیله یک مدل گردابه

ویسکوزیته به دست می آید.

۴- معادلات فیلتر شده مدل برای ($\bar{U}(x, t)$ به صورت عددی حل می شوند که یک تقریب برای

حرکات مقیاس بزرگتر برای فهم بهتر جریان آشفته را فراهم می کند.

۴-۵-۱-معادلات حاکم

در شبیه سازی عددی سه بعدی جریان آشفته سیالات با توجه به مقیاس شبکه بندی، حجم محاسبات

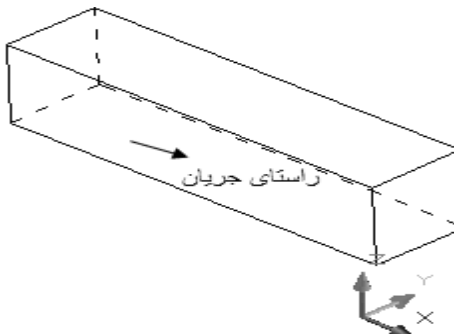
به شدت افزایش می یابد. معادلات بی بعد برای بقاء جرم و ممنتوم برای یک جریان کاملاً توسعه یافته

تراکم ناپذیر در یک کanal غیر مدور به صورت زیر نوشته می شود: [۴۵]

$$\frac{\partial u_j}{\partial x_j} = 0 \quad (1-66-2)$$

$$\frac{\partial u_i}{\partial t} + \frac{\partial}{\partial x_j} (u_i u_j) = - \frac{\partial p}{\partial x_i} + \frac{1}{Re} \frac{\partial^2 u_i}{\partial x_j \partial x_j} \quad (2-66-2)$$

شاخص $i = 3, 2, 1$ به ترتیب به جهات x, y, z اشاره دارد. در اینجا x در راستای جریان و y, z جهات متقاطع با x هستند. شماتیک هندسه کanal ها و سیستم مختصات در شکل (۴-۲) نشان داده شده است.



شکل ۴-۲- شماتیک هندسه کanal و سیستم مختصات

محیط مقطع) و سرعت P سطح مقطع و A ، $d_b = \frac{4A}{P}$ معادلات بوسیله قطر هیدرولیکی مقطع هم ویسکوزیته سینماتیکی است. v سرعت در ورودی در لحظه صفر، بی بعد شده اند. (U_b) مشخصه

بر اساس سرعت مشخصه در ورودی در لحظه صفر و قطر هیدرولیکی ($U_b d_b / v = Re$ عدد رینولدز

از فشار کلی جدا می (X) مقطع است. در نوشتمن این معادلات فشار محرک متوسط در راستای جریان (

فرض می شود که گرادیان صفر است . u, v, w (متوسط + نوسانی) و در معادله ممنتوم در راستای

باید با اعمال فیلتر بر روی این معادلات، مقیاس های کوچک LES برای حل معادلات حاکم به روش

به یک i از مقیاس های بزرگ جدا کرد. لذا در این روش همانطور که قبلاً توضیح داده شد، سرعت

با بکار بردن یک اپراتور فیلتر شده تجزیه می شود . u'_i و یک مؤلفه زیر شبکه \bar{u}_i مؤلفه مقیاس بزرگ

قسمت حل نشده است ، بوسیله رابطه زیر $f' = f - \bar{f}$ ($= f' - \bar{f}'$) مقدار فیلتر شده f' برای هر متغیر

تعریف می شود : [۵۴]

$$\bar{f}(x_1, x_2, x_3, t) = \iiint_{-\infty}^{+\infty} (\prod_{i=1}^3 G_i(x_i - x_i')) \times f(x_1', x_2', x_3', t) dx_1' dx_2' dx_3' \quad (67-2)$$

$G_i(x_i - x_i')$ تابع فیلتر است که رابطه زیر را ارضامی کند :

$$\iiint_{-\infty}^{+\infty} (\prod_{i=1}^3 G_i(x_i - x_i')) dx_1' dx_2' dx_3' = 1 \quad (68-2)$$

خواص تابع فیلتر عبارتند از :

$$G(x) = G(-x)$$

$$\oint G(s)ds = 1 \quad (69-2)$$

$$\bar{f} = f$$

در معادله (69-2) f تابع ثابتی است.

ناحیه باقیمانده^۱ به صورت رابطه مقابل تعریف می شود :

$$\dot{u}(x, t) \equiv U(x, t) - \bar{U}(x, t) \quad (70-2)$$

بنابر این ناحیه سرعت تجزیه می شود به صورت :

$$U(x, t) = \bar{U}(x, t) + \dot{u}(x, t) \quad (71-2)$$

و سرعت نوسانی فیلتر شده صفر نمی باشد.

$$\bar{u}(x, t) \neq 0 \quad (71-2)$$

بعد از بكاربردن عملیات فیلتر کردن، معادلات ممنتوم و پیوستگی به صورت زیر در می آيند :

$$\frac{\partial \bar{u}_j}{\partial x_j} = 0 , \quad (72-2)$$

$$\frac{\partial \bar{u}_i}{\partial t} + \frac{\partial}{\partial x_j} \left(\bar{u}_i \bar{u}_j + \bar{u}_i \bar{u}_j^\top + \bar{u}_i^\top \bar{u}_j + \bar{u}_i^\top \bar{u}_j^\top \right) = - \frac{\partial \bar{p}}{\partial x_i} + \frac{1}{Re} \frac{\partial^2 \bar{u}_i}{\partial x_j \partial x_j} \quad (73-2)$$

این معادلات انتقال سرعت فیلتر شده را (مطابق با مقیاس های طولی) نشان می دهند . سه ترم غیر

خطی آخر با يكديگر تنش های رينولدز (زير شبکه) را تشکيل می دهند، که باید مدل سازی شوند Q_{ij}

$$Q_{ij} = -(\bar{u}_i u_j^\top + \bar{u}_i^\top \bar{u}_j + \bar{u}_i^\top u_j^\top) \quad (\text{V4-2})$$

در روش LES برای مدل سازی کردن تنش رینولوز، روش های مختلفی وجود دارد که بر دو روش زیر

متکی است:

مدل های لزجت گردابه ای^۱

مدل های میدان ترکیبی^۲

مبنای مدل های لزجت گردابه ای بنا شده اند.

در این تحقیق از روش SGS برای مدل سازی تنش های رینولوز استفاده شده است. این مدل در سال ۱۹۶۳ مطرح شد و هنوز به صورت گسترش ده ای از آن استفاده می شود [۵۵]. در این مدل مانند بسیاری از مدل های رایج SGS، از مفهوم لزجت گردابه ای استفاده می شود و قسمت بدون فشار عمودی تنش های SGS قسمت اول (معادله ۲-۷۵) را به تانسور نرخ کرنش z_{ij} بخش حل شده میدان سرعت ارتباط می دهد.

که تنسور تنش باقیمانده غیر ایزوتروپ است به صورت زیر تعریف می شود [۵۶] :

$$\tau_{ij} = Q_{ij} - \frac{1}{3}Q_{kk}\delta_{ij} \quad (\forall \Delta-\Sigma)$$

تنش اینوتو و یاقیمانده، شامل فشار فیلتر شده اصلاح شده به صورت زیر می باشد. [۵۶] :

$$\bar{P} = \bar{p} + \frac{1}{3} Q_{kk} \quad (76-2)$$

1 -Eddy Viscosity Models

2 -Synthetic Field Models

3 - Smagorinsky Models

4 -Dynamic Smagorinsky Models

5 -Localized Dynamic Smagorinsky Models

تنش های مقیاس زیر شبکه با استفاده از مدل ویسکوزیته ادی اسماگورینسکی حل می شوند که در زیر داده شده است [۵۵] :

$$\tau_{ij} = 2\nu_{sgs} S_{ij}, \quad S_{ij} = \frac{1}{2} \left(\frac{\partial \bar{u}_i}{\partial x_j} + \frac{\partial \bar{u}_j}{\partial x_i} \right), \quad \nu_{sgs} = l^2 \sqrt{2S_{ij} S_{ij}} \quad (77-2)$$

که S_{ij} تنسور نرخ کرنش، ν_{sgs} ویسکوزیته ادی مقیاس حل نشده و مشخصه مقیاس طول حل نشده که متناسب با عرض فیلتر است.

$$l = C_s (\Delta_x \Delta_y \Delta_z)^{\frac{1}{3}} \quad (78-2)$$

C_s ثابت اسماگورینسکی، و $\Delta_x \Delta_y \Delta_z$ عرض های فیلتر به ترتیب در راستای x, y, z هستند.

بنابر این با استفاده از معادلات (73-۲) تا (78-۲) و با جایگزین $\bar{u}_i \bar{u}_j$ به جای $\bar{u}_i \bar{u}_j$ ، معادله ممنوط به فرم زیر در می آید :

$$\frac{\partial \bar{u}_i}{\partial t} + \frac{\partial}{\partial x_j} (\bar{u}_i \bar{u}_j) = - \frac{\partial \bar{P}}{\partial x_i} + \frac{\partial}{\partial x_j} \left[\left(\frac{1}{Re} + \nu_{sgs} \right) \frac{\partial \bar{u}_i}{\partial x_j} \right] + \frac{\partial}{\partial x_j} \left(\nu_{sgs} \frac{\partial \bar{u}_j}{\partial x_i} \right) \quad (79-2)$$

در این تحقیق مقدار ثابت اسماگورینسکی، (C_s) مساوی ۰.۱۶۶۷ است [۵۶]، طبق رابطه (80-۲) وابسته به دو پارامتر C_e و C_k است و برای کانال های باز این مقدار کمتر است. محدوده $C_s < 0.065$ می باشد [۵۶].

$$C_s = (C_k^3/C_e)^{\frac{1}{4}} \quad (80-2)$$

۶-۲- شرایط مرزی

بطورکلی مرزهای فیزیکی که در آن شرایط مرزی کلی موردنیاز است و یا مقادیر متغیر وابسته به عنوان بخشی از جوابها باید معلوم شوند به پنج دسته تقسیم می شوند، این پنج دسته عبارتند از : سطح بدن، فواصل بسیار دور، خط تقارن (یا سطح تقارن در حالت سه بعدی)، جریان ورودی و جریان خروجی.

تشخیص و تبیین شرایط مرزی، فیزیکی یا عددی در امتداد مرزهای مختلف بطور کلی مشکل است.

تعیین شرایط مرزی برای معادلات ناویر-استوکس تراکم‌ناپذیر نیز از این قاعده جدا نیست.

البته شرایط فیزیکی معمولاً نتایجی را در مورد شرایط مرزی می‌دهد که اعمال برخی از آنها نسبتاً ساده است. به عنوان مثال بر روی یک سطح جامد از شرط عدم لغزشی برای تعیین شرط مرزی سرعت استفاده می‌کنیم. در هر حال تعیین شرط مرزی برای مؤلفه‌های سرعت در ورودی، خروجی و فواصل دور معمولاً سر راست نیست. بدیهی است که روند تعیین شرایط مرزی بطور گستردگی تابع شرایط فیزیکی و قلمرو مسئله موردنظر است. مثلاً اگر مرز دور دست را واقعاً دور از بدن که تمام فعالیتهای جریان در حوالی آن روی می‌دهد در نظر بگیریم، شرایط جریان آزاد را می‌توان برای آن مرز به کار برد. در حالیکه اگر مرز فواصل دور را نزدیک به سطح بدن که فعالیتها در آن انجام می‌شوند، در نظر بگیریم، بسته به علامت مؤلفه‌های عمودی سرعت آن را به عنوان مرز ورودی یا خروجی در نظر می‌گیریم.

در صورتیکه شرایط مرزی ورودی و خروجی را اعمال کنیم، دو عامل عمدی را باید در نظر بگیریم. اولًا، سرعت و یا فشار در خروجی مجھولند و با پیشروی حل عمومی باید آنها را مشخص کرد. ثانیاً، به علت تأثیر جوابهای داخل شبکه حل در ورودی یا فواصل دور (اگر آنها را هم ورودی تلقی کنیم)، ممکن است که تجدید مقادیر مرزی موردنیاز باشد.

البته این عوامل به علت پدیده فیزیکی انتشار علائم است یعنی در جریان تراکم‌ناپذیر اغتشاش‌ها در تمام جهت‌ها منتشر می‌شوند. بنابراین تعیین شرایط مرزی بستگی زیادی به شرایط مسئله مورد مطالعه دارد. یعنی به چگونگی موقعیت مرزهای ورودی، خروجی و مرزهای دور دست نسبت به محلهایی که در آنها تغییرات خواص سیال روی می‌دهند، بستگی دارد. در این تحقیق شرط مرزی فشار در ورودی شرط مرزی نیومن و در خروجی سیال به اتمسفر تخلیه می‌شود. شرط مرزی سرعت در ورودی شرط مرزی دیریکله و در خروجی همواره خروجی بر ورودی منطبق می‌شود که یک کانال به طول بینهایت داشته باشیم و در نتیجه جریان آشفته به حالت توسعه یافته برسد.

۶-۲- شرایط مرزی در دیوارهای جامد

مدل سازی نواحی نزدیک به دیواره به شدت به صحت و سقم نتایج به دست آمده از شبیه سازی عددی تأثیر می گذارد، تا آنجایی که می توان دیواره ها را منبع اصلی ایجاد "ورتیسیتی متوسط"^(۱) و نیز منبع اصلی تولید آشفتگی در جریان های محصور به دیواره نام برد. با توجه به معادلات حاکم در می یابیم که در این معادلات، مؤلفه های سرعت در دستگاه مختصات) تعریف شده اند بنابراین به سادگی می توان بر روی دیوارهای جامد، شرط عدم لغزش را برای تمامی مؤلفه های سرعت اعمال کرد $(u=v=w=0)$.

هرچند اعمال شرط مرزی برای فشار نسبتاً دشوار است ولی در روی سطوح جامد دیوار، شرط عدم لغزش روی دیوار یعنی گرادیان صفر در نظر گرفته شده است.

در این تحقیق برای محاسبه تنش های رینولدز توربولانس از روش LES استفاده شده است، متغیر دیگر ν_{sgs} است و در ورودی و خروجی و روی دیوار، از شرط مرزی نیومن (گرادیان صفر) استفاده شده است.

فصل سوم

روش عددی

۱-۳- مقدمه

همانطور که در فصول قبل اشاره شد LES روشی ریاضی است که با اعمال فیلتر بر روی معادلات ناویر-استوکس و ارائه مدل های مختلف SGS نقش خود را کامل تر کرده است. با این حال برای حل معادلات حاکم (فیلتر شده) به یک روش عددی نیاز است. روش عددی استفاده شده حجم محدود (FV)^۱ می باشد که با استفاده از نرم افزار OpenFOAM انجام شده است.

گستته سازی معادلات حاکم بر جریان بر پایه روش حجم محدود (FV) می باشد که در آن میدان های فشار و سرعت با روش جداسازی متغیرها بدست می آیند. برای حل مقرنون به صرفه معادلات غیر خطی کوپل شده، از روش تکرار عددی استفاده شده است. برای این منظور، از نرم افزار OpenFOAM حل کننده PISO و الگوریتم^۲ بهره گرفته شده است. لازم به ذکر است که می توان تمامی معادلات حاکم بر جریان را به صورت فرم کلی رابطه (۱-۳) بیان نمود [۵۷].

$$(1-3) \quad \frac{\partial}{\partial t} (A\varphi) + \frac{\partial}{\partial x_j} (Au_j \varphi) = \frac{\partial}{\partial x_j} (\Gamma \frac{\partial \varphi}{\partial x_j}) + S_\varphi$$

در این رابطه، \varnothing متغیر کاری است که می تواند یک مؤلفه از یک بردار یا تانسور و حتی یک مقدار ثابت باشد. ضرایب A , Γ معانی متفاوتی برای متغیرهای کاری مختلف با خود به همراه دارد. عبارت S_φ جمله چشمی است که تعریف آن در معادلات مختلف متفاوت می باشد. این پارامترها در معادله $\varnothing = u_i, A = 1, S_\varphi = 0$ پیوستگی به صورت $\phi = 1, A = 1, S_\varphi = 0$ در معادله مومنتوم به صورت

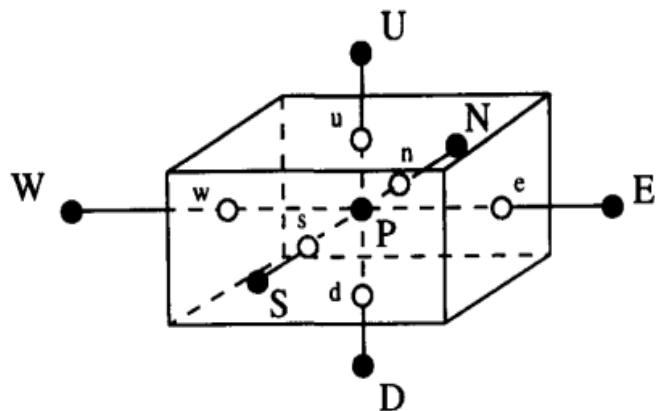
تعییف می شود. از معادله (۱-۳) بر روی المان حجم محدود P (شکل ۱-۳) در هر گام زمانی حل انتگرال گیری می شود، سپس با استفاده از قضیه دایورژانس، رابطه (۲-۳) حاصل می شود.

$$(2-3) \quad A \frac{\Delta V}{\delta t} (\varphi_p - \varphi_p^n) + \int (Au_j \varphi - \Gamma \frac{\partial \varphi}{\partial x_j}) n_j dA = \bar{S}_\varphi$$

1- Finite volume

2- Pressure-Implicit with Splitting of Operator

در رابطه بالا، اندیس P معرف نقاط شبکه محاسباتی، بالانویس n مقدار محاسبه شده در زمان n ، \bar{S}_ϕ انتگرال حجم جمله چشمی S_ϕ می‌باشد.



شکل ۱-۳ المان حجم محدود برای گره

معادله (۲-۳) را می‌توان به صورت رابطه (۳-۳) خطی سازی نمود.

$$\bar{S}_\phi = \int_{\Delta\phi} S_\phi dV = \bar{S}_c + \bar{S}_p \varphi_p \quad (3-3)$$

در معادله (۳-۳)، \bar{S}_c قسمتی از \bar{S}_ϕ می‌باشد که به طور صریح وابسته به \emptyset نیست و \bar{S}_p ضریبی از φ_p می‌باشد که پایداری عددی دستگاه معادلات حاصل از گسسته سازی را بهبود می‌دهد. دستگاه معادلات گسسته شده نهایی که رابطه بین φ_p و نقطه همسایه آن را برقرار می‌کند، برای هر المان حجم محدود به صورت زیر حاصل می‌شود.

$$a_p \varphi_p = \sum a_{nb} \varphi_{rb} + \bar{S}_c + a_p^0 \varphi_p^n \quad (1-4-3)$$

$$a_p^0 = A \frac{\Delta V}{\delta t} \quad , \quad a_p = \sum_{nb} a_{nb} + a_p^0 - \bar{S}_p \quad (2-4-3)$$

رونده استفاده در حل مساله را می‌توان به چهار مرحله زیر خلاصه نمود.

۱. با قرار دادن میدان‌های اولیه برای سرعت U ، فشار p و تنش τ ، به صورت صریح، گرادیان فشار و دیورژانس تنش محاسبه می‌شود. در نتیجه، معادله مومنتوم به صورت ضمنی برای هر یک از مولفه‌های بردار سرعت حل می‌شود. و میدان سرعت U^* جدید تخمین زده می‌شود.
 ۲. با مقدار جدید U^* ، میدان فشار p^* تخمین زده می‌شود. در نتیجه سرعت تصحیح شده، و میدان سرعت جدید U^{**} معادله پیوستگی را ارضاء می‌کند. در این مرحله، از الگوریتم PISO، برای بدست آوردن p^* و U^{**} استفاده می‌شود.
 ۳. با داشتن میدان سرعت تصحیح شده U^{**} ، تخمین جدید برای میدان تنش τ^* با استفاده از حل معادله ساختاری حاصل می‌شود.
- مراحل ۱ تا ۳ به صورت بازگشتی در هر گام زمانی حل برای ایجاد دقت بیشتر در جریان ناپایا تکرار می‌گردد. مقادیر U^{**} و p^* و τ^* جایگزین مقادیر U و p و τ اولیه می‌شود.

۲-۳- الگوریتم PISO

این الگوریتم به جای حل همزمان تمام معادلات از یک روش مداوم تکرارشونده، استفاده می‌کند. این PISO عملگرها را به یک عملگر ضمنی و چندین گام تصحیح کننده صریح تقسیم بندی می‌کند. این روش اگرچه به عنوان یک تکرار نیست و گام‌های تصحیح کمی نیاز است که دقت لازم به دست آید. در هر گام زمانی با buoyantBoussinesq PisoFoam سرعت و دما پیش‌بینی می‌شوند، و سپس فشار و سرعت تصحیح می‌شوند. الیویرا¹ و ایسا² تصحیح دما برای جریان تراکم ناپذیر را با استفاده از تخمین Boussinesq [۵۸] پیشنهاد کردند.

از آنجایی که ممکن است واقعاً جریان به خاطر تخمین Boussinesq استفاده شده، تراکم ناپذیر نباشد بیشترین اختلاف دما در یک مسئله برای این حل کننده کوچک است و نیاز به تصحیح ندارد.

1- Oliveira

2- Issa

در اینجا الگوریتم PISO برای سادگی و فهم بیشتر، برای یک جریان یک بعدی در راستای x ، که نیروی گرانش در این راستا عمل می کند، استفاده می شود. در اینجا u می تواند در روش LES یا RANS بوسیله \bar{u} جایگزین شود. بنابر این معادله ممتوном به صورت زیر ساده می شود :

$$\frac{\partial u}{\partial t} + \frac{\partial}{\partial x}(uu) = -\frac{\partial p}{\partial x} + \rho_k g \quad (5-3)$$

۱-۲-۳- پیش بینی کننده^۱

به عنوان یک مثال، اگر گام زمانی ضمنی اویلر با درون یابی خطی مقادیر برای سلول و خطی سازی ترم انتقال استفاده شود و سرعت انتقال به فرم گام زمانی قدیمی n به کار رود (این رفتار ترم انتقال همان است که در OpenFOAM مطابق با نیلسون^۲ [۵۹] است) فرم معادله پیش بینی کننده سرعت ضمنی معادله (۵-۳) به صورت زیر خواهد بود :

$$\left[\frac{1}{\Delta t} + \left(\frac{u_{i+\frac{1}{2}}^n - u_{i-\frac{1}{2}}^n}{2\Delta x} \right) \right] \Delta V u_i^* + \left(\frac{u_{i+\frac{1}{2}}^n}{2\Delta x} \right) \Delta V u_{i+1}^* - \left(\frac{u_{i-\frac{1}{2}}^n}{2\Delta x} \right) \Delta V u_{i-1}^* = \frac{u_i^n}{\Delta t} \Delta V - \left(\frac{\partial p}{\partial x} \right) \Big|_i^n \Delta V + (\rho_k g) \Big|_i^n \Delta V \quad (6-3)$$

که مقادیر پیش بینی شده در معادله بالا بوسیله * مشخص شدند. توجه کنید که فشار از زمان قبلی n آورده می شود که هنوز نامعلوم است، معادله (۶-۳) در واقع همان چیزی است که در $UEqn.H$ حل می شود. اگر چه حجم های سلول ΔV باید مطابق زیر تقسیم شوند تا ماتریس های ضریب صحیح و بردار هایی به دست آیند که در قسمت گام تصحیح کننده استفاده می شوند.

$$\left[\frac{1}{\Delta t} + \left(\frac{u_{i+\frac{1}{2}}^n - u_{i-\frac{1}{2}}^n}{2\Delta x} \right) \right] u_i^* + \left(\frac{u_{i+\frac{1}{2}}^n}{2\Delta x} \right) u_{i+1}^* - \left(\frac{u_{i-\frac{1}{2}}^n}{2\Delta x} \right) u_{i-1}^* = \frac{u_i^n}{\Delta t} - \left(\frac{\partial p}{\partial x} \right) \Big|_i^n + (\rho_k g) \Big|_i^n \quad (7-3)$$

در حل فرم بردار، این می شود (که بردار به بردار حل u_i^* در تمام نقاط i اشاره دارد) :

$$Cu^* = r - \nabla p^n + \rho_k g^n \quad (8-3)$$

1-Predictor
2- Nilsson

در این رابطه C آرایه ضریب است که در u^* ضرب می شود و r سمت راست ترم صریح است که شامل گرادیان فشار است. به خاطر ویسکوزیته و ترم تنفس آشفتگی ماتریس ضریب C اصلاح می شود و فرم کلی معادله بردار ماتریس تغییر نخواهد کرد. این معادله تغییر می کند به :

$$Au^* + Hu^* = r - \nabla p^n + \rho_k g^n \quad (9-3)$$

که A ماتریس قطری C و H ماتریس غیر قطری A می باشد (به عبارت دیگر $A + H = C$). با استفاده از یک حل کننده ماتریس، معادله (9-3) می تواند به آسانی برای سرعت پیش بینی شده u^* حل شود. معادله (9-3) کلیتی از چیزی است که در طی گام پیش بینی سرعت حل *buoyantBoussinessqPisoFoam* می شود.

۲-۲-۳ تصحیح کننده^۱

تصحیح کننده سرعت صریح به صورت معادله (10-۳) نوشته می شود :

$$\left[\frac{1}{\Delta t} + \left(\frac{u_{i+\frac{1}{2}}^n - u_{i-\frac{1}{2}}^n}{2\Delta x} \right) \right] u_i^{**} + \left(\frac{u_{i+\frac{1}{2}}^n}{2\Delta x} \right) u_{i+1}^* - \left(\frac{u_{i-\frac{1}{2}}^n}{2\Delta x} \right) u_{i-1}^* = \frac{u_i^n}{\Delta t} - \left(\frac{\partial p}{\partial x} \right)_i^* + (\rho_k g)|_i^n \quad (10-3)$$

در اینجا، در ابتدا سرعت تصحیح شده u^{**} از سرعت پیش بینی شده u^* و سرعت قدیمی u^n و فشار تصحیح شده p^* حل می شود. مسئله این است که فشار تصحیح شده هم اکنون نامعلوم است، فقط فشار قدیمی معلوم است. مانند معادله (9-3) معادله (10-3) می تواند به فرم ماتریس برداری بیان شود به صورت :

$$Au^{**} + Hu^* = r - \nabla p^* + \rho_k g^n \quad (11-3)$$

با معرفی $H = r - \tilde{H}u^*$ و معکوس A (از آنجایی که قطری است)، معادله (11-3) می شود :

$$u^{**} = A^{-1}H - A^{-1}\nabla p^* + A^{-1}\rho_k g^n \quad (12-3)$$

نقطه گام تصحیح کننده قرار است که ناحیه سرعت تصحیح شده را بسازد. بنابر این به کار بردن دیورژانس معادله (۱۲-۳) و با توجه به اینکه $\nabla u^{**} = 0$ معادله پواسون برای اولین فشار تصحیح شده مطابق زیر خواهد بود:

$$\nabla^2(A^{-1}p^*) = \nabla \cdot (A^{-1}H + A^{-1}\rho_k g^n) \quad (13-3)$$

با اولین فشار تصحیح شده p^* ، معادله (۱۲-۳) می‌تواند برای سرعت تصحیح شده u^{**} حل شود.

گام‌های بعدی تصحیح می‌توانند با استفاده از همان ماتریس A و H حل شوند. برای نمونه گام تصحیح دوم شامل معادلات (۱۴-۳) و (۱۵-۳) خواهد بود :

$$\nabla^2(A^{-1}p^{**}) = \nabla \cdot (A^{-1}H + A^{-1}\rho_k g^n) \quad (14-3)$$

$$u^{***} = A^{-1}H - A^{-1}\nabla p^{**} + A^{-1}\rho_k g^n \quad (15-3)$$

که p^{**} و u^{***} فشار تصحیح شده دوم و سرعت هستند. معادله (۱۲-۳) و (۱۳-۳) یک حالت کلی از چیزی است که در طی گام تصحیح کننده در *buoyantBoussinessqPisoFoam* حل می‌شود.

در این مثال، گام ضمنی اویلر مرتبه اول با درون یابی خطی مرتبه دوم استفاده شده است. این روش با فرم‌های دیگر گام زمانی ضمنی مثل کرانک نیکولسون یا گام به عقب مرتبه دوم و روش‌های میان یابی قابل اجراست. ایسا [۶۰] بیان می‌کند که اگر یک روش گام زمانی دقیق مرتبه دوم استفاده شود، سپس سه گام تصحیح کننده استفاده می‌شود که خطا را به خاطر الگوریتم PISO به مرتبه دوم کاهش دهد.

۳-۳- نرم‌افزار OpenFOAM چیست؟

در این تحقیق برای حل جریان از نرم‌افزار OpenFOAM که نرم‌افزاری توانمند و رایگان برای مدلسازی جریان سیال و انتقال حرارت در هندسه‌های پیچیده می‌باشد، استفاده می‌شود. این نرم افزار با حل عددی به روش حجم محدود^۱ امکان تحلیل مسائل مختلف با هندسه‌های گوناگون را به کاربر می‌دهد. OpenFOAM به زبان C++ نوشته شده است و از تمامی قابلیت‌های این زبان بهره می‌برد. اطلاعات بیشتر در زمینه نرم‌افزار OpenFOAM در پیوست الف آورده شده است.

OpenFOAM به چند دلیل برای این تحقیق انتخاب شد. اول این که این نرم افزار رایگان و تحت قوانین استفاده عمومی نسخه سوم^۱ قرار دارد. دوم این که با توجه به متن باز بودن نرم افزار امکان نوشتن و ویرایش کدها براساس نیاز کاربر وجود دارد. برای این کار، کاربر می‌تواند از کتابخانه‌ها و توابع آماده موجود در نرم افزار استفاده کند. البته یادگیری چگونگی نوشتگری کد و استفاده از این توابع اندکی زمانبر می‌باشد و آشنایی کاربر را با برنامه نویسی پیشرفته زبان C++ را می‌طلبد.

در این تحقیق از نسخه 1.7.0 نرم افزار استفاده شده است. [۶۱]

۳-۱-۳- معرفی نرم افزار OpenFOAM

امروزه با پیچیده تر شدن مسائل مورد بررسی در مکانیک سیالات و هزینه زیاد و شرایط سخت آزمایشات تجربی برای حل این مسائل، و همچنین پیشرفت کامپیوترها و افزایش قدرت محاسباتی آن‌ها، روش‌های محاسباتی در حل معادلات بیش از پیش مورد توجه قرار گرفته‌اند. استفاده از این روش‌های محاسباتی مستلزم وجود کدهایی برای حل معادلات سیال در شرایط مختلف می‌باشد. این کد می‌تواند توسط شخص نوشته شود که البته کاری پر زحمت و زمان بر می‌باشد و یا به صورت آماده در نرم افزارهای تجاری موجود مانند Fluent و CFX باشد. این نرم افزارها بسیار ساده‌تر، جامع‌تر از کدهای نوشته شده توسط اشخاص می‌باشند و تقریباً تمامی مباحث اصلی در مکانیک سیالات را پوشش می‌دهند. با این حال قیمت تمام شده نسخه اصلی این نرم افزارها بسیار بالاست و به همین دلیل تنها نسخه قفل‌شکسته آن‌ها موجود می‌باشد که در نتیجه تهیه مقالات با استفاده از این نرم افزارها را ناممکن می‌سازد. همچنین این نرم افزارها دارای کدهای مشخص و ثابتی هستند که کاربر قادر به رویت و تغییر آنها نمی‌باشد. این محدودیت، در مسائل خاصی که کاربر مایل به اضافه کردن قسمتی جدید در مدل‌های موجود است، بیشتر به چشم می‌آید. در سال‌های اخیر نرم افزارهای دیگری از این قبیل به صورت رایگان و متن باز عرضه شده‌اند. این نرم افزارها بدلیل متن باز بودن به سرعت در حال گسترش‌اند و البته گسترش-

دهندگان این قبیل نرم‌افزارها متعلق به شرکت و یا کمپانی خاصی نیستند، بلکه توسط تمامی اشخاص متخصص در سراسر جهان تدوین و توسعه می‌یابند. استفاده از این نرم‌افزارها با توجه به قیمت بالای نرم‌افزارهای تجاری موجود بسیار رو به گسترش است و پیش بینی می‌شود در سال‌هایی نه‌چندان دور این قبیل نرم‌افزارها سهم عمده‌ای از ابزارهای موجود در مکانیک سیالات محاسباتی را به خود اختصاص دهند.

۲-۳-۳- حل کننده‌های OpenFOAM

یکی از تفاوت‌های عمده نرم افزار OpenFOAM با نرم افزارهای مشابه مانند fluent و CFX، وجود حل کننده‌های جداگانه برای حل مسائل مختلف می‌باشد. برای مثال حل کننده‌های حل پایا با حل کننده‌های حل گذرا متفاوت می‌باشند و یا بعضی از حل کننده‌ها با بررسی انتقال حرارت همراه هستند و بعضی دیگر تنها معادلات دینامیکی سیال را حل می‌کنند. در نهایت کاربر بسته به مسئله مورد بررسی باید از حل کننده مناسب استفاده کند. در هر نسخه به تعداد حل کننده‌های موجود در نرم افزار اضافه می‌شود. برای مثال، چند حل کننده راصلی به همراه کاربرد آن‌ها در پیوست لیست شده‌اند.

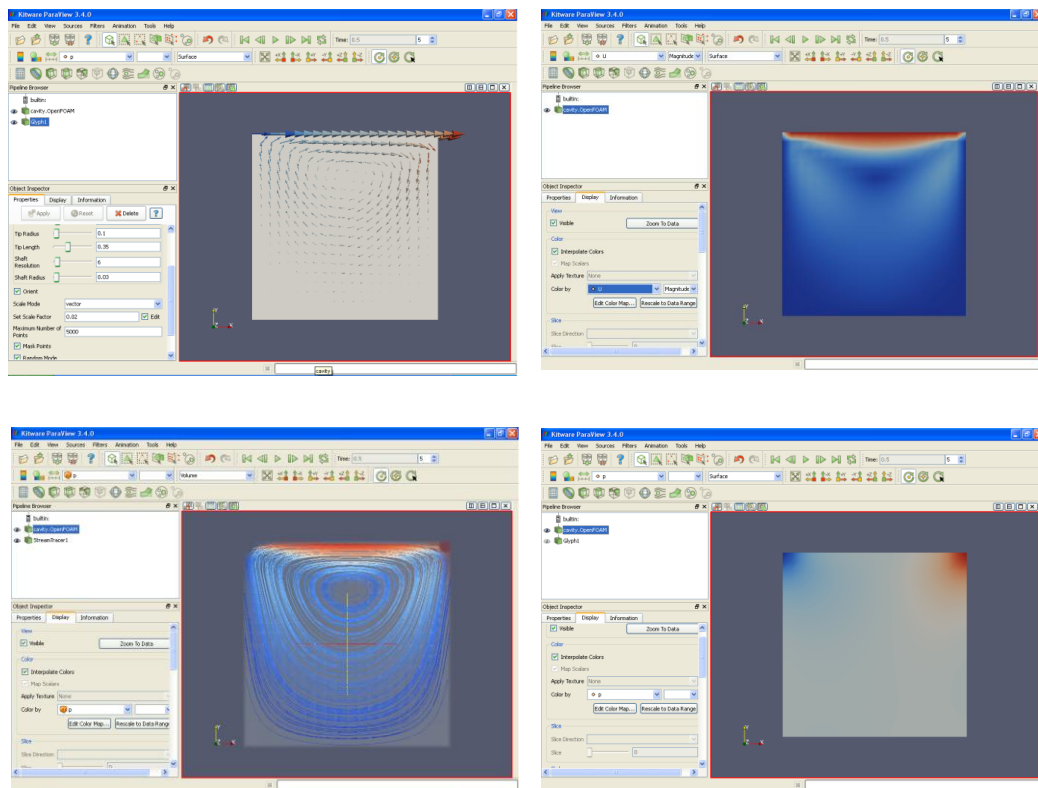
حل کننده‌های متعدد دیگری در زمینه احتراق، جریان چند فازی، ذرات موجود در جریان و... نیز دارد. برای مشاهده مجموعه کلی حل کننده‌های استاندارد در OpenFOAM به مرجع [۶۲] رجوع کنید.

همچنین کاربر می‌تواند با تسلط بر نحوه برنامه نویسی در OpenFOAM و تسلط بر زبان C++، حل کننده‌های مورد نظر خود را به برنامه اضافه و از آن‌ها در حل مسائل استفاده کند..

۳-۳-۳- پس‌پردازش در OpenFOAM

پس‌پردازش در OpenFOAM از طریق نرم‌افزار Paraview انجام می‌شود. این نرم افزار با امکانات وسیعی که برای مشاهده و ویرایش نتایج دارد به کاربر این امکان را می‌دهد تا نتایج بدست آمده را بدقت مورد بررسی قرار دهد. این نرم افزار با توانایی گرافیکی بالا قادر به مشخص کردن شبکه، نمایش

بردارهای سرعت می باشد. شکل زیر نمایی از پسپردازش‌های انجام شده بر روی یک حفره^۱ را نشان می‌دهد.



شکل ۳-۲- نمونه‌ای از عملیات مختلف پسپردازش در OpenFOAM

همچنین OpenFOAM در صورت نیاز، قابلیت انتقال نتایج به نرمافزارهای دیگر پسپردازش از جمله tecplot را نیز دارا می‌باشد.

۴-۳- کد نویسی الگوریتم در OpenFOAM PISO

کد برای `applications\solvers\heatTransfer\buoyantBous-` در مسیر `buoyantBoussinesqPisoFoam` می باشد. در ابتدا `buoyantBoussinesqPisoFoam sinesq-PisoFoam` معادله سرعت با استفاده از کد در $UEqn.H$ پیش بینی می کند. بعد از این، حلقه تصحیح

کننده (اشاره به "PISO loop" در کد دارد) وارد می شود و تصحیح کننده های فشار و سرعت با استفاده از کد در $pEqn.H$ اجرا می شود.

۱-۴-۳ پیش بینی^۱ سرعت

سرعت به طور ضمنی در $UEqn.H$ به خاطر پایداری بالای روش ضمنی پیش بینی می شود، و شامل یک سری معادلات خطی است که به فرم ماتریس به صورت $Ax = b$ بیان می شود، و حل می شود.

```
00003 fvVectorMatrix UEqn
00004 (
00005 fvm::ddt(U)
00006 + fvm::div(phi, U)
00007 + turbulence->divDevReff(U)
00008 );
```

به مفهوم "finite-volume matrix" است و هنگامی استفاده می شود که عملیات ضمنی Fvm هستند و طرف سمت چپ ماتریس^۲ تشکیل می شود [۶۰]. ترم $fvm::ddt(U)$ اولین مشتق زمانی سرعت است. ترم $fvm::div(phi, U)$ + دیورژانس شار سرعت، phi در سرعت ضرب می شود، به عبارت دیگر انتقال سرعت است. مفهوم $turbulence->divDevReff(U)$ + به بررسی کد برای مدل RANS و LES اشاره دارد.

هم اکنون برای فهمیدن گام پیش بینی کننده سرعت سایر خطوط برنامه در $UEqn.H$ را بررسی می نمائیم. بعد از اینکه قسمت سمت راست معادله در کد زیر شکل گرفت :

```
00012 if (momentumPredictor)
00013 {
00014 solve (UEqn == -fvc::grad(p));
00015 }
```

۲-۴-۳ حلقه تصحیح کننده

گام های تصحیح کننده در فایل $pEqn.H$ جایگزین می شود که مطابق زیر است .

```
00001 {
00002 volScalarField rUA("rUA", 1.0/UEqn.A());
00003 surfaceScalarField rUAf("(1/A(U))", fvc::interpolate(rUA));
00004
00005 U = rUA*UEqn.H();
```

2- Predictor

1-left-hand side matrix

```

00006
00007 surfaceScalarField phiU
00008 (
00009 fvc::interpolate(U) & mesh.Sf())
00010 + fvc::ddtPhiCorr(rUA, U, phi)
00011 );
00012
00013 phi = phiU + rUAf*fvc::interpolate(rhok)*(g & mesh.Sf());
00014
00015 for (int nonOrth=0; nonOrth<=nNonOrthCorr; nonOrth++)
00016 {
00017 fvScalarMatrix pEqn
00018 (
00019 fvm::laplacian(rUAf, p) == fvc::div(phi)
00020 );
00021
00022 if (corr == nCorr-1 && nonOrth == nNonOrthCorr)
00023 {
00024 pEqn.solve(mesh.solver(p.name() + "Final"));
00025 }
00026 else
00027 {
00028 pEqn.solve(mesh.solver(p.name()));
00029 }
00030
00031 if (nonOrth == nNonOrthCorr)
00032 {
00033 phi -= pEqn.flux();
00034 }
00035 }

00036
00037 U += rUA *fvc::reconstruct((phi - phiU)/rUAf);
00038 U.correctBoundaryConditions();
00039
00040 #include "continuityErrs.H"
00041 }

```

قبل از اینکه واقعاً اصلاحات انجام شود، برخی متغیرها در قسمت اول کد باید تعریف شود. ماتریس A معکوس می شود که در معادلات (۱۲-۳) و (۱۳-۳) است و به عنوان متغیر $rUA = A^{-1}$ در خط ۲ تعریف می شود. از آنجایی که A قطری است، هر المان قطری A مطابق با یک سلول محاسباتی است، بنابر این A در صفحه میان یابی می شود و به عنوان متغیر $|_f rUA = A^{-1}|$ در خط ۳ ذخیره می شود. که در معادله (۱۲-۳) و (۱۳-۳) انجام می شود، سپس A^{-1} در بردار H ضرب می شود و به عنوان متغیر $U = A^{-1}H$ در خط ۵ ذخیره می شود و U نامیده می شود که معادله (۱۲-۳) نشان می دهد سهم سرعت تصحیح شده است و شامل فشار و گرانش نمی باشد. سپس در خطوط ۱۱-۷ U از مرکز سلول به گوشه درون یابی می شودو در بردار نرمال صفحه ضرب می شود که یک شار نامیده

می شود از این رو $\phi = (A^{-1}H)|_f \cdot S_f$ با OpenFOAM نامیده می شود (شار در ϕ نشان داده می شود). قسمت $fvc::ddtPhiCorr(rUA, U, \phi)$ کد، برای دیورژانس ناحیه سرعت صفحه اختلاف بین سرعت درون یابی شده و شار را در خط ۱۳ تخمین می زند [۶۳]. سهم گرانش به فرم شار اضافه می شود و متغیر به صورت $\phi = (A^{-1}H + A^{-1}\rho_k g)|_f \cdot S_f$ در خواهد آمد که شار سرعت را بدون سهم گرادیان فشار تصحیح می کند.

سپس در خط ۱۵ یک حلقه وارد می شود که فشار تصحیح می شود. به طور مهم خطوط ۲۰-۱۷ معادله پواسون را برای تصحیح فشار می سازد که این مشابه معادله (۱۳-۳) در صفحه است. این نشان می دهد که فشار ابتدا در صفحه و نه در مرکز سلول پیش بینی می شود. دلیل این کار این است که از تجزیه فشار- سرعت جلوگیری نماید. این معادله پواسون در خط ۲۴ یا ۲۸ حل می شود، که منجر به اولین تصحیح فشار در صفحه، $\phi|_f p^*$ می شود. در خط ۳۳ $pEqn.flux()$ از شار سرعت اصلاح شده ϕ به صورت کم می شود (که در این نقطه شامل سهم گرادیان فشار نیست). $pEqn.flux()$ به صورت $\phi|_f (A^{-1}\nabla p^*) \cdot S_f$ ظاهر می شود. به عبارت دیگر ϕ به صورت معادله مقابل درخواهد آمد. که این آخرین سهم به شار سرعت اصلاح شده است.

$$\phi = (A^{-1}H - A^{-1}\nabla p^* + A^{-1}\rho_k g)|_f \cdot S_f \quad (16-3)$$

در خط ۳۷ شار سرعت تصحیح شده به یک سرعت مرکزی سلول تصحیح شده درخواهد آمد. مقدار عبارت مقابل می باشد.

$[(A^{-1}H - A^{-1}\nabla p^* + A^{-1}\rho_k g)|_f \cdot S_f - (A^{-1}H)|_f \cdot S_f]/A^{-1}$ کاهش می یابد. ساختن مجدد این رابطه و ضرب کردن آن در $(-\nabla p^* + \rho_k g)|_f \cdot S_f$ منجر به رابطه $(-A^{-1}\nabla p^* + A^{-1}\rho_k g)$ می شود. عبارت $=$ بدین مفهوم است که این مقدار به مقدار موجود U اضافه می شود که نهایتاً $U = A^{-1}H - A^{-1}\nabla p^* + A^{-1}\rho_k g$ خواهد شد. این اولین سرعت اصلاح شده U^{**} است و با معادله (۱۲-۳) سازگاری دارد. سپس خط ۳۸ شرایط مرزی را برای سرعت چک می کند.

این کل فرآیندی است که چندین مرتبه تکرار می شود.

۳-۵- نحوه مش بندی

یکی از مزیت های روش LES آن است که با گردابه های بزرگ در ارتباط است و مقادیر محاسبه شده در این روش، همگی با مقیاس های بزرگ در ارتباط بوده و لذا می توان شرایط مرزی را برای مقادیر بزرگ مقیاس سرعت و دیگر متغیر های مورد نیاز تعریف کرد. شرایط مرزی فیزیکی در روی دیوار به صورت زیر بیان می شوند:

$$U_{wall} = 0 \text{ (} m/s \text{)} \quad (17-3)$$

انتخاب شرایط اولیه در دقت حل نهایی تاثیری نمی گذارد، در اینجا شرایط مرزی برای معادلات ممتدوم شرط عدم لغزش روی دیوارها و خصلت تناوبی در راستای x (راستای جریان) می باشد.

معادلات در یک ناحیه محاسباتی در مقطع مربعی با سایز $1 \times 1 \times 2.5 \text{ cm}$ به ترتیب در راستاهای y,z,x و شامل تعداد $60 \times 60 \times 30$ نود می باشد و در مقاطع مستطیلی با سایز $1.5 \times 1 \times 2.5 \text{ cm}$ به ترتیب در راستاهای z,y,x و شامل تعداد نودهای $60 \times 60 \times 30$ می باشد و در مقاطع مثلثی و چند ضلعی های منظم، در یک دایره محیطی با شعاع 1 cm و طول کanal 2.5 cm می باشد. تعداد نودها در سطح مقطع کanal 9462 و در طول کanal 30 می باشد. برای حل بهتر ناحیه نزدیک دیوار، یک شبکه غیریکنواخت در راستای y,z استفاده می شود، شبیه سازی برای اعداد رینولدز ۵۰۰۰ و ۱۰۰۰۰ و ۲۰۰۰۰ و ۴۰۰۰۰ و ۵۰۰۰۰۰ براساس سرعت ورودی جریان و قطر هیدرولیکی انجام می شود. کمترین فاصله شبکه از دیوار $1E - 5 \text{ m}$ می باشد و تعداد ۱۰ نود در ناحیه نزدیک دیوار می باشند. در این روش عدد کورانت نقش مهمی دارد و مطابق رابطه زیر محاسبه می شود :

$$\text{Courant Number} = \frac{U \cdot \Delta t}{\Delta x} \quad (18-3)$$

سرعت می باشد. این مقادیر U کمترین فاصله شبکه از دیوار و Δx گام زمانی استفاده شده و Δt طوری طوری انتخاب می شود که همواره عدد کورانت کمتر از یک باشد به علت اینکه برای اعداد کورانت بالاتر از یک، حل واگرا می شود.

فصل چهارم

نتایج

مطلوب این فصل را می توان به دو قسمت عمدۀ تقسیم کرد، ابتدا به بررسی و مشاهده جریان های ثانویه در کanal های غیر دایره ای می پردازد که این کanal ها، با مقاطع مثلثی، مربعی، مستطیلی و چند ضلعی های منظم می باشد. در بخش دوم به بررسی اثر روند کردن گوشۀ ها در کanal های مذکور می پردازد.

۱-۴- مقدمه

در این بخش توضیحاتی در ارتباط با نحوه مش بندی و نحوه تنظیمات شرایط اولیه در نرم افزار OpenFOAM جهت مشاهده نتایج ارائه می گردد. در این تحقیق به شبیه سازی جریان سیال تراکم ناپذیر با استفاده از نرم افزار OpenFOAM در یک کanal با مقطع غیر مدور پرداخته می شود . نرم افزار منبع باز OpenFOAM یک جعبه ابزار برای دینامیک سیالات محاسباتی (CFD) می باشد که به وسیله آن می توان مسائل مختلف را شبیه سازی نمود . این نرم افزار توسط OpenCFD Ltd تحت مجوز عمومی گنو^۱ ایجاد شده که به صورت منبع باز موجود است. همچنین فناوری هسته آن بسیار انعطاف پذیر و کارآمد بوده و از مجموعه ای از ماثول های نوشته شده توسط C+ ایجاد شده است، این مجموعه در قالب حل کننده هایی برای شبیه سازی مسائل مهندسی مورد استفاده قرار می گیرد. حلگر مورد استفاده در این شبیه سازی pisoFoam است که یک حل کننده گذر^۲ است و برای سیالات تک فازی و تراکم ناپذیر بنا نهاده شده است . روش حل عددی مورد استفاده در حل کننده pisoFoam با تکیه بر الگوریتم PISO می باشد .

۲-۴- نحوه مش بندی

برای حل مسئله به مش بندی مناسب نیاز است، OpenFOAM علاوه بر blockMesh (که یک mesh generation بسیار ابتدائی است) قادر است شبکه را از دیگر نرم افزار ها نیز import کند. این کار با کپی کردن فرمت درست فایل شبکه هر نرم افزار و سپس اجرای دستور مربوطه انجام می شود و شبکه در polyMesh ذخیره خواهد شد. در این پایان نامه با استفاده از دستور

1-(GNU General Public Licence)

2-Transient

فایل های openFOAM آورده و از آن استفاده گردیده شده است. بدین ترتیب که ابتدا فایل case.msh را در فolder کپی می کنیم و سپس با استفاده از ترمینال وارد کردن دستور fluentMeshToFoam <name of the file>.msh را به فرمت OpenFOAM تبدیل می کنیم.

۴-۲-۱- نحوه چاپ نتایج

در نرم افزار OpenFOAM دیکشنری controlDict در فolder system وظیفه کنترل روند زمانی حل و چاپ جواب ها بر عهده دارد.

```
/*-----*-- C++ --*-----*
-----*/
| ====== |
|
| \\\      / F ield          | OpenFOAM: The Open Source CFD
Toolbox           |
| \\\      / O peration       | Version:  2.0.1
|
| \\\  / A nd              | Web:        www.OpenFOAM.com
|
| \\\/ M anipulation      |
|
\*-----*/
-----*/
FoamFile
{
    version      2.0;
    format       ascii;
    class        dictionary;
    location     "system";
    object       controlDict;
}
// * * * * *
* * * * */

application      pisoFoam;
startFrom        startTime;
startTime        0;
stopAt           endTime;
endTime          0.5;
```

```

deltaT           3e-05;

writeControl     timeStep;
writeInterval    100;
purgeWrite      0;
writeFormat      ascii;
writePrecision   6;
writeCompression uncompressed;
timeFormat       general;
timePrecision    6;
runTimeModifiable true;
// ****

```

همانطور که در شکل بالا مشاهده می کنید، در قسمت `startTime` زمان `startFrom` مشخص شده است که در سطر پایینی برابر 0 قرار داده شده است. در دو سطر پایینی نیز به همین ترتیب زمان پایان حل برابر 0.5 قرار داده شده است. در سطر پنجم `deltaT` (به معنی گام های زمانی در حل) برابر 3e-5 ثانیه قرار داده شده است. این `deltaT` مخصوصا برای حل کننده های `transient` از اهمیت بسزائی برخوردار می باشد و با بزرگ شدن بیش از حد آن ممکن است جواب `diverge` کند. دو سطر پایین تر بدین معنی می باشند که گام های زمانی مشخصه اصلی برای چاپ نتایج باشند و همچنین به ازای هر 100 گام زمانی نتایج چاپ شوند. گزینه `purgeWrite` حداکثرتعداد چاپ نتایج را مشخص می کند. مثلاً با `purgeWrite` برابر ۳، تنها سه تا از آخرین گام های زمانی با فاصله ۱۰۰ از هم چاپ می شوند و بقیه از جواب ها پاک می شوند. گزینه های `timePrecision` و `writePrecision` نیز به ترتیب به معنی دقت در نوشتن نتایج و دقت در نوشتن زمان در چاپ فolderها می باشد.

پس از تنظیمات، برای اجرای حل کننده (در اینجا `pisoFoam`) کافی است نام حل کننده را در `case` ترمینال در `follder` `pisoFoam` بزنیم. برای این حالت کافی است نام `pisoFoam` را در ترمینال در `follder`

تایپ کنیم و `enter` بزنیم. با این کار حل کننده شروع به حل مساله می کند و روند حل بر روی صفحه `controlDict` ترمینال قابل مشاهده خواهد بود. با گذشت هر تعداد گام زمانی که در دیکشنری `controlDict` مشخص کردیم، فolder ری با نام زمان مربوطه در `Case` ظاهر می شود. این فolder حاوی اطلاعات `U` و `P` و `nuSgs` در نقاط مختلف می باشد.

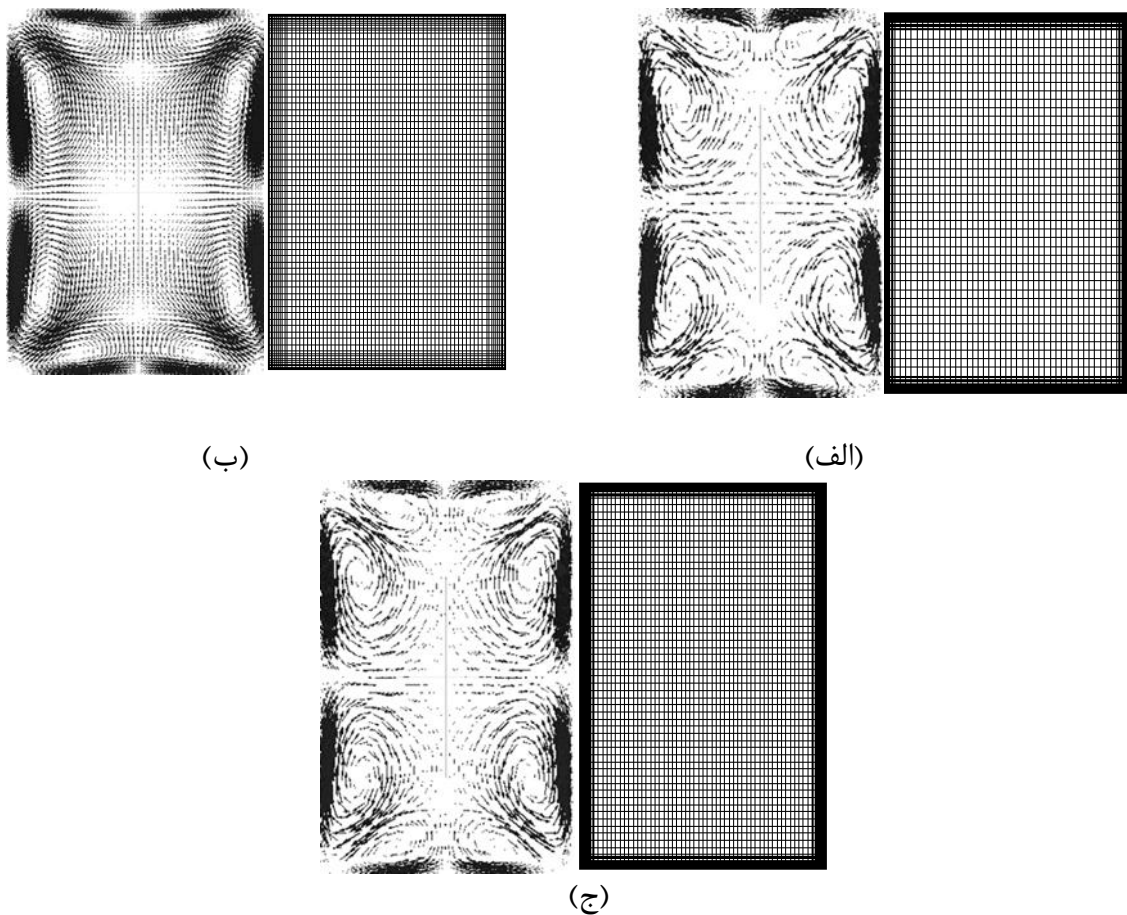
بعد از پایان حل برای مشاهده نتایج، کافی است در ترمینال و در فolder `case` ، دستور `paraFoam` را اجرا نمود. با این کار نرم افزار `paraview` که برای `post-processing` و مشاهده نتایج در `OpenFOAM` بکار می رود اجرا می شود. این نرم افزار با قدرت بالا و امکانات وسیعی که برای مشاهده ویرایش نتایج دارد به کاربر این امکان را می دهد تا نتایج بدست آمده را بدقت مورد بررسی قرار دهد. این نرم افزار با توانایی گرافیکی بالا قادر به مشخص کردن شبکه، نمایش بردارهای سرعت و خطوط جریان می باشد.

۴-۳- نتایج

معادلات مشخصه برای یک زمان نسبتاً طولانی حل شدند که پایا بودن ناحیه جریان آشفته را به خوبی قطعی کند. برای پیدا کردن مؤلفه نوسانات سرعت ($u^{\ddot{ }}, v^{\ddot{ }}, w^{\ddot{ }}$) در هر زمان، سرعت میانگین محاسبه شده (U, V, W) از سرعت آنی حل شده در هر نود کم می شود. این مؤلفه نوسانات ناحیه سرعت، برای محاسبه آمار متفاوت آشفتگی در آن گام زمانی استفاده می شود.

۴-۳-۱- غیر وابسته بودن حل عددی به شبکه

نتایج ارائه شده تحقیق در صورتی معتبر خواهد بود که وابسته به شبکه نباشد، برای نشان دادن این امر در مقطع مستطیلی با توجه به متفاوت بودن فاصله اولین گره از دیواره در سه شکل زیر، مشاهده می شود که نتایج تغییری نمی کند و در هر سه شکل بردارهای سرعت ثانویه قابل رویت است و به سمت گوشه متمایل می باشد.

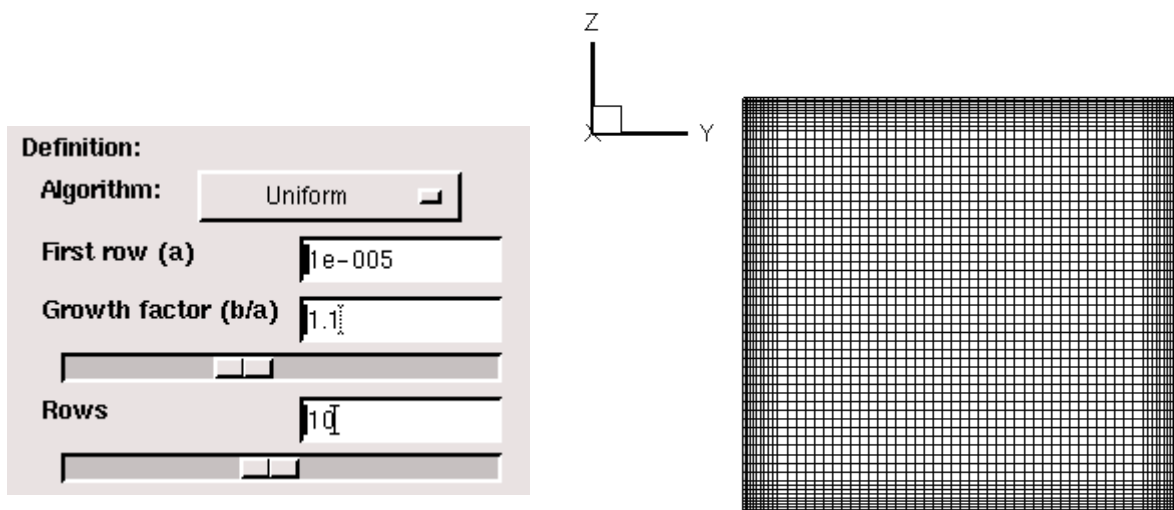


شکل ۴-۱- مش های مختلف در مقطع مستطیلی و وجود بردارهای سرعت ثانویه

۴-۳-۲- نحوه مش بندی و نتایج در کanal مقطع مربعی

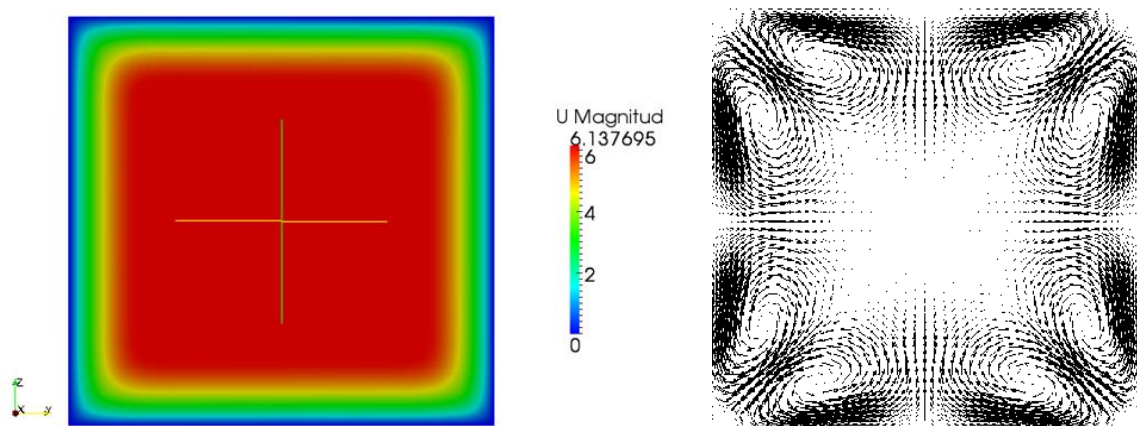
با توجه به اینکه در روش شبیه سازی گردابه های بزرگ برای حل بهتر ناحیه نزدیک دیوار، باید شبکه غیر یکنواخت در نظر گرفته شود لذا یک شبکه غیر یکنواخت در راستای z , γ استفاده می شود، کمترین فاصله شبکه از دیوار $1E-5(m)$ می باشد و تعداد ۱۰ المان در ناحیه نزدیک دیوار می باشد، توزیع شبکه در راستای z , γ دقیقاً یکی است. که در شکل ۴-۲ مشاهده می شود. عامل مهمی که تعیین کننده فاصله شبکه از دیوار می باشد عدد بی بعدی ($yPlus$) می باشد که به صورت رابطه ۴-۱ تعریف می شود.

$$y^+ = \frac{yu_\tau}{v} < 2 \quad (1-4)$$



شکل ۲-۴- مش کانال مقطع مربعی

معادلات در یک ناحیه محاسباتی در مقطع مربعی با سایز $1 \times 1 \times 2.5 \text{ cm}$ به ترتیب در راستاهای x, y, z و شامل تعداد $30 \times 60 \times 60$ المان می باشد. پس از حل معادلات و مشاهده نتایج، کانتورهای سرعت (متوسط) جریان و بردار های سرعت ثانویه در شکل ۳-۴- (الف) و (ب) در عدد رینولدز ۵۰۰۰ نشان داده شده اند. با توجه به اینکه جهت بردارهای سرعت از مرکز به سمت گوشه ها می باشد، این بردارهای سرعت ثانویه ممنظوم جریان متوسط را از ناحیه مرکزی به ناحیه گوشه در طول عمود منصف گوشه ها هدایت می کنند.



(ب)

(الف)

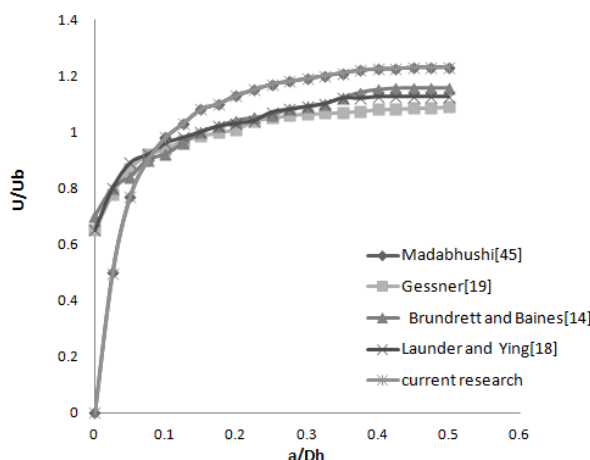
شکل ۴-۳-۴- (الف)- بردارهای سرعت ثانویه متوسط و (ب)- کانتورهای سرعت متوسط جریان

۳-۳-۴- تأیید نتایج در مقطع مربعی

نتایج ارائه شده در تحقیق در صورتی ارزشمند خواهد بود که با نتایج حاصل از تحقیقات پیشین مطابقت داشته باشد، لذا برای تأیید نتایج، در عدد رینولدز ۵۸۱۰ نسبت $\frac{U}{U_b}$ محاسبه شده و در یک چهارم

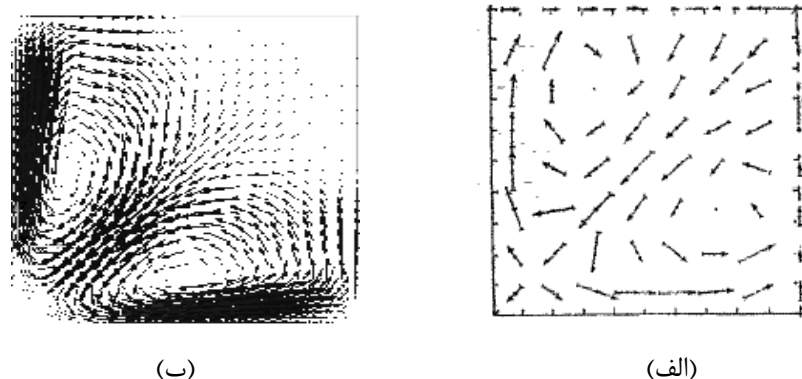
مقطع جریان در طول خط $y = 0.5\text{cm}$ ترسیم می شود که ۱.۲۳ می باشد و با نتایج مادابهوشی [۴۵] که در عدد رینولدز ۵۸۱۰ انجام شده و این عدد ۱.۲۳ می باشد مقایسه می گردد، بین این دو سازگاری برقرار می باشد.

اثر عدد رینولدز در سرعت جریان در شکل ۴-۴ نشان داده شده است، که در طول خط ($y=0.5\text{cm}$) نتایج حل مادابهوشی [۴۵] در رینولدز ۵۸۱۰، داده های بوندرت و باینر در رینولدز ۸۳۰۰۰ [۱۴]، داده های لاندر و یینگ در رینولدز ۲۱۵۰۰۰ [۱۸] و داده های جسنر در رینولدز ۲۵۰۰۰۰ [۱۹] و نتایج محاسبه شده تحقیق حاضر در عدد رینولدز ۵۸۱۰ ترسیم شده اند. نسبت سرعت جریان خط مرکزی به سرعت اصلی با افزایش عدد رینولدز کاهش می یابد. این به خاطر پروفیل های سرعت خط جریان است که منبسط تر می شود و گرادیان در ناحیه دیوار به خاطر افزایش اختلاط آشفتگی در اعداد رینولدز بالاتر تندتر می شود، پروفیل محاسبه شده با این روش سازگار است.



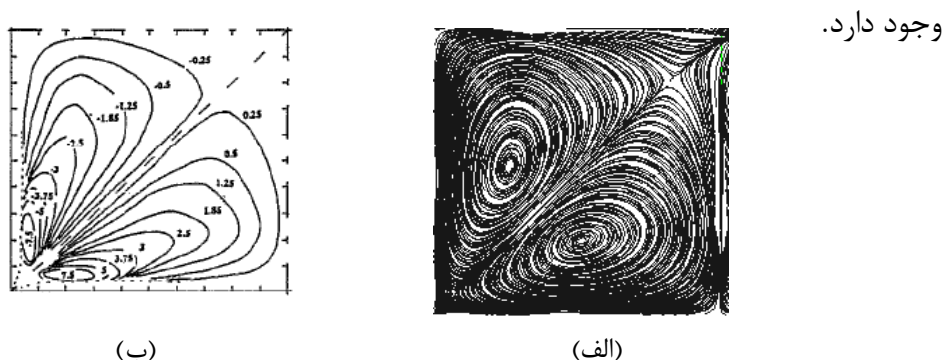
شکل ۴-۴- پروفیل های نرمالیزه شده سرعت جریان با سرعت اصلی جریان

جريان های ثانویه در ابتدا با گوشه ها برخورد می کند و سپس در طول دیوار شتاب می گیرند. همانطور که عدد رینولدز افزایش می یابد جريان های ثانویه بیشتر به داخل ناحیه گوشه نفوذ می کند. بردارهای سرعت ثانویه در یک چهارم مقطع در رینولدز ۱۰۰۰۰ در شکل ۴-۵ ترسیم شده است.



شکل ۴-۵- بردارهای سرعت ثانویه متوسط در یک چهارم مقطع شکل (الف) نتایج محاسبه شده در رینولدز ۱۰۰۰۰ (ب) داده های بوندرت و باینز در رینولدز ۸۳۰۰۰ [۱۴]

کانتورهای گردابه های متوسط در شکل ۴-۶ ترسیم شده اند، گردابه های متوسط جريان یک ابزار مستقیم جريان های ثانویه است. دوباره سازگاری خوبی بين نتایج تحقيق حاضر و نتایج هوگلاند [۱۳]

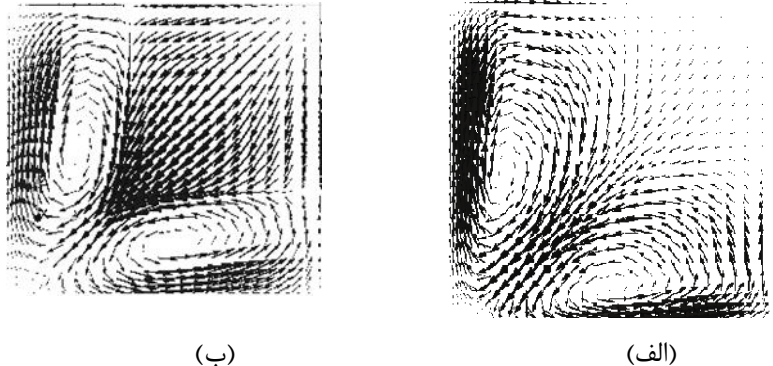


شکل ۴-۶- کانتورهای گردابه های متوسط جريان (الف) نتایج تحقيق در رینولدز ۱۰۰۰۰ و (ب) داده های هوگلاند [۱۳] شکل های ۴-۴ و ۴-۵ و ۴-۶ دلیلی بر تأیید نتایج ارائه شده می باشد.

۴-۳-۴- ارائه نتایج در مقطع مربعی

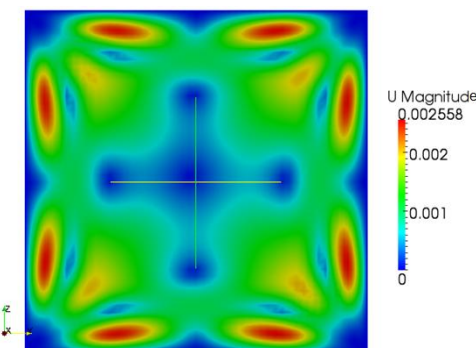
پس از تأیید نتایج که روی مقطع مربعی انجام شده است و با نتایج آزمایشگاهی مطابقت دارد، در این قسمت سایر نتایج مشاهده شده در مقطع مربعی ارائه می‌گردد.

بردارهای متوسط سرعت ثانویه با افزایش عدد رینولدز افزایش می‌یابد، شکل ۴-۷ دلیلی برای اثبات آن می‌باشد.

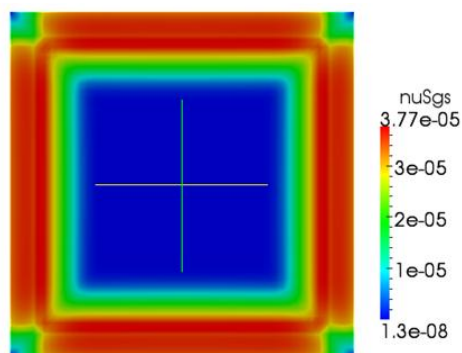


شکل ۴-۷- بردارهای سرعت ثانویه متوسط در یک چهارم مقطع شکل (الف) نتایج محاسبه شده در رینولدز ۱۰۰۰۰ و (ب) نتایج محاسبه شده در رینولدز ۴۰۰۰۰

پس از محاسبه سرعت، کانتورهای سرعت های ثانویه در عدد رینولدز ۱۰۰۰۰ مطابق شکل ۴-۸ و کانتورهای ویسکوزیته ادی مطابق شکل ۹-۴ است.

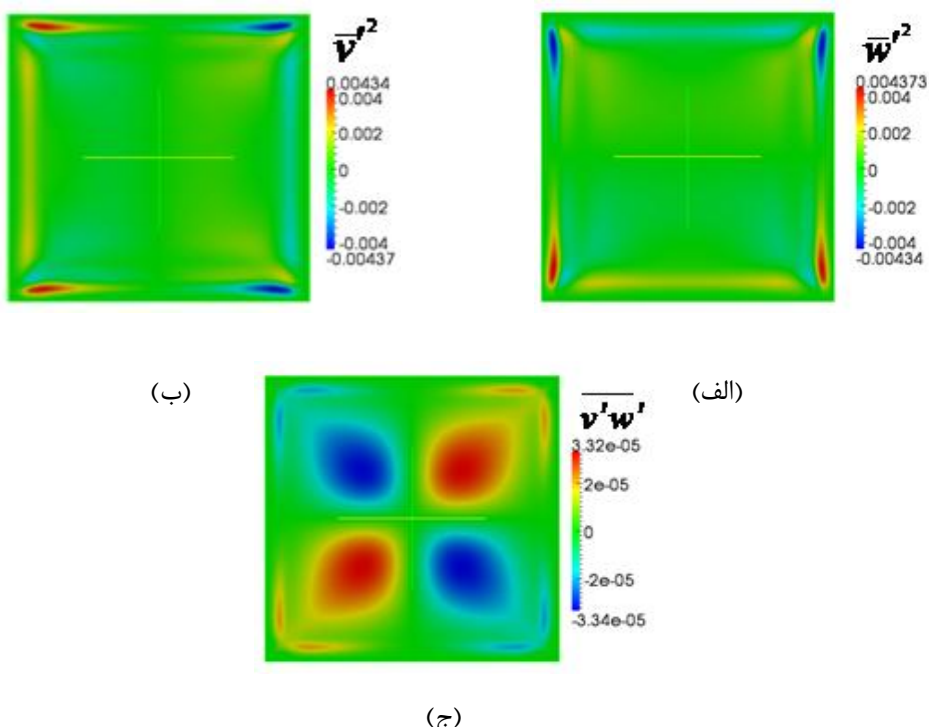


شکل ۴-۸- کانتورهای سرعت های ثانویه در عدد رینولدز ۱۰۰۰۰ در مقطع



شکل ۴-۹- کانتورهای ویسکوزیته ادی در رینولدز ۱۰۰۰۰ در مقطع

پس از تعیین تنش های رینولدز، کانتورهای رنگی آن جالب توجه می باشد. نحوه تغییر تنش های عمودی رینولدز و تنش برشی در مقطع جریان در عدد رینولدز ۱۰۰۰۰ مطابق شکل ۴-۱۰ می باشند.

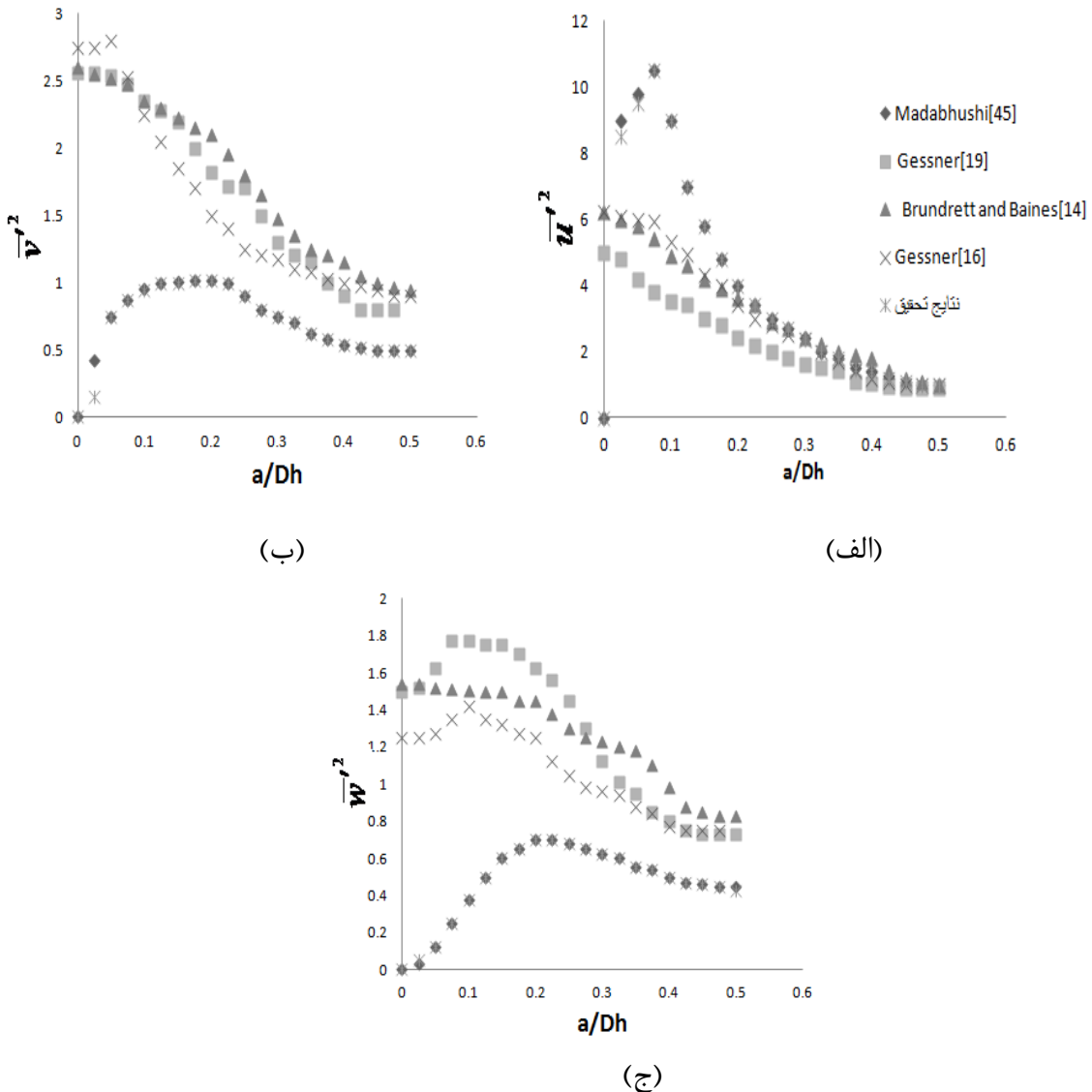


شکل ۴-۱۰- (الف) و (ب) کانتورهای رنگی تنش های عمودی رینولدز در مقطع جریان و (ج) کانتورهای رنگی تنش برشی در مقطع جریان

برای امتحان کردن اثر عدد رینولدز در آمار آشفتگی، مقادیر آشفتگی در طول عمود منصف دیوار رسم شده است. این شکل نشان می دهد که با افزایش عدد رینولدز \bar{V}^2 , \bar{W}^2 , \bar{U}^2 افزایش می یابد در حالی که \bar{U}'^2 کاهش می یابد. که این شاید به خاطر افزایش اختلاط آشفتگی در صفحه متقطع است که در نوسانات بالاتر در سرعت های ثانویه آنی رخ می دهد. موقعیت های پیک این پروفیل ها با افزایش عدد رینولدز به سمت دیوارها حرکت می کند.

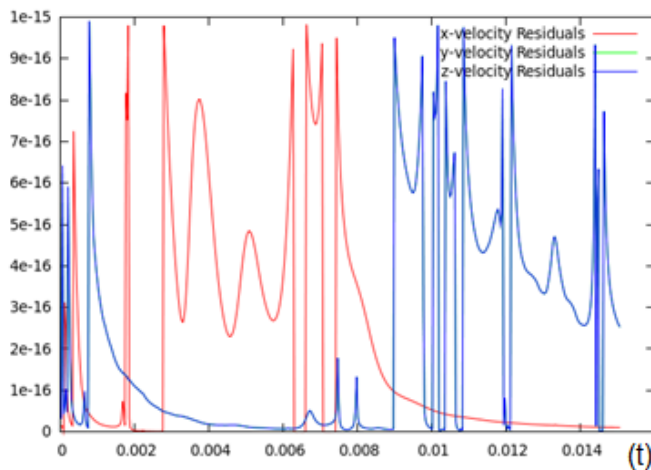
پروفیل های \bar{U}^2 , \bar{V}^2 , \bar{W}^2 در طول منصف دیوار پایینی ($y=0.5 \text{ cm}$) در رینولدز ۵۸۱۰ در تحقیق حاضر و در طول منصف دیوار پایینی ($y=0.5 \text{ m}$) برای نتایج حل مادابهوشی [۴۵] در رینولدز ۵۸۱۰

داده های بوندرت و باینز و در رینولدز ۸۳۰۰۰ [۱۴]، داده های جسنر در رینولدز ۱۵۰۰۰۰ [۱۶]، داده های جسنر در رینولدز ۲۵۰۰۰۰ [۱۹]، مطابق شکل ۱۱-۴ (الف)، (ب) و (ج) می باشد. a فاصله از جدار در مقطع مربعی و D_h قطر هیدرولیکی مقطع می باشد.



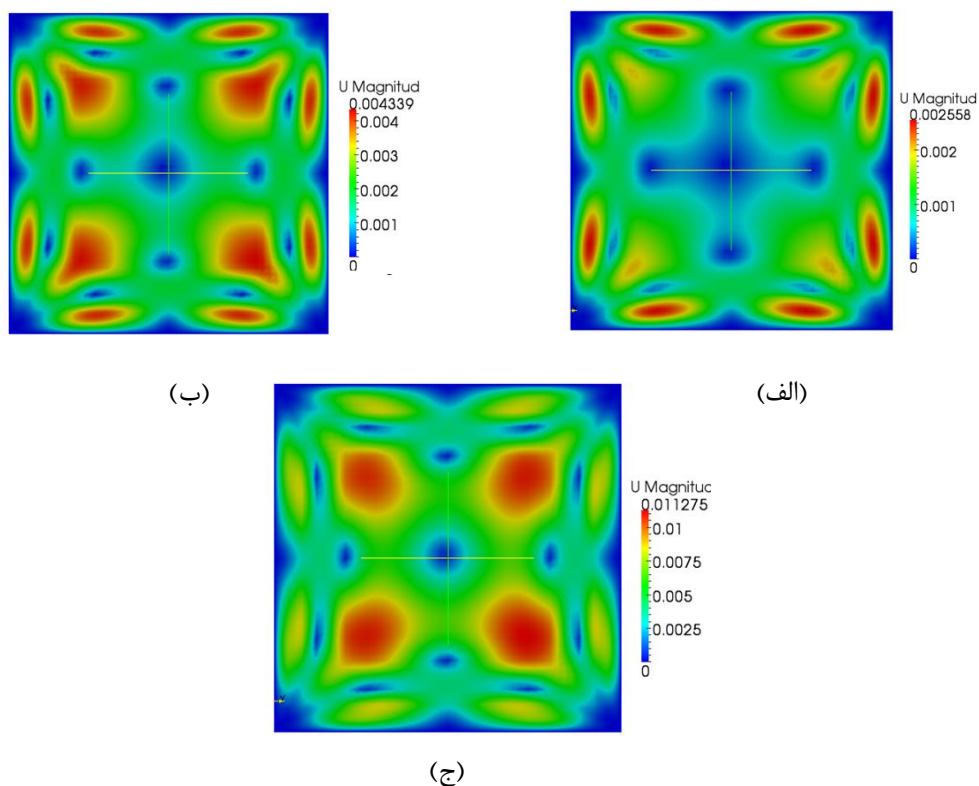
شکل ۱۱-۴-پروفیل های (\bar{v}^2 , \bar{w}^2 , \bar{u}^2) در تحقیق حاضر و نتایج موجود

نمودار حداکثر خطای در محاسبه سرعت ها در سه راستای x, y, z مطابق شکل ۱۲-۴ خواهد بود، پایین بودن میزان خطای نشان دهنده دقیقت بالای حل است.

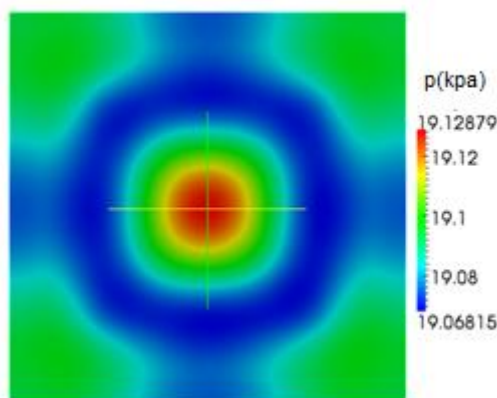


شکل ۱۲-۴- نمودار خطای در محاسبه سرعت

نحوه تغییر کانتورهای رنگی سرعت های ثانویه با افزایش عدد رینولدز جالب توجه است، با افزایش عدد رینولدز و در نتیجه افزایش آشفتگی سرعت های ثانویه نیز افزایش می یابند (شکل ۱۳-۴).



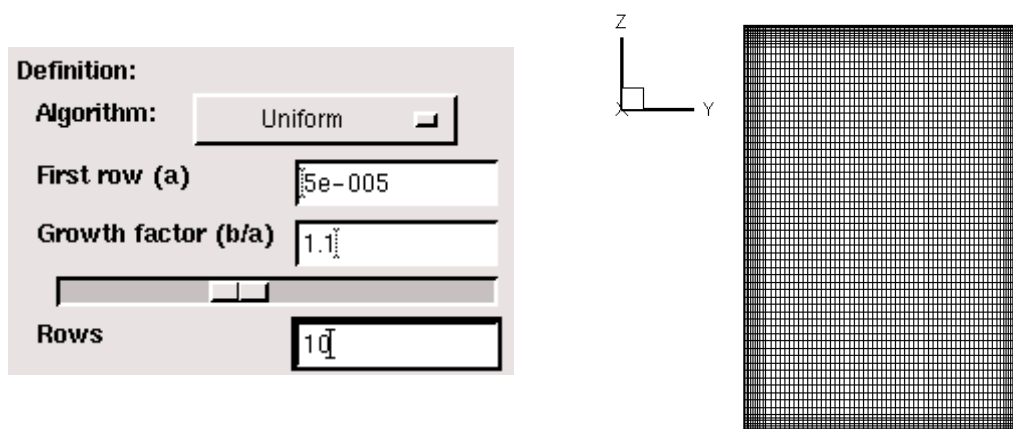
شکل ۱۳-۴- کانتورهای رنگی سرعت های ثانویه (الف) رینولدز ۱۰۰۰۰ (ب) رینولدز ۲۰۰۰۰ (ج) رینولدز ۴۰۰۰۰
کانتورهای رنگی فشار در مقطع در عدد رینولدز ۴۰۰۰۰ ۱۴-۴ نشان داده شده که نشان دهنده صفر بودن گرادیان فشار در مقطع است.



شکل ۱۴-۴ - کانتورهای رنگی فشار در مقطع

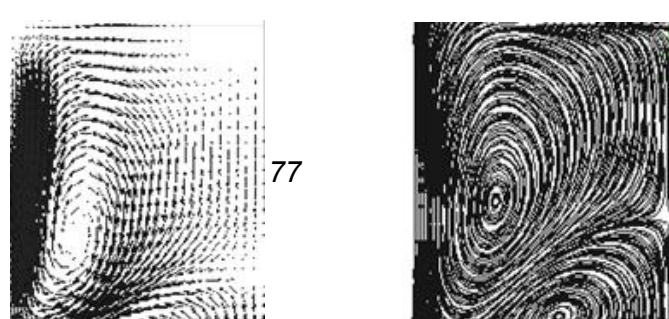
۵-۳-۴- ارائه نتایج در مقطع مستطیلی

در این قسمت در مقطع مستطیلی نسبت ابعاد طول به عرض ۱.۵ ($\frac{a}{b} = 1.5$) و مش بندی مطابق شکل زیر می باشد.



شکل ۱۵-۴ - مش کanal مقطع مستطیلی

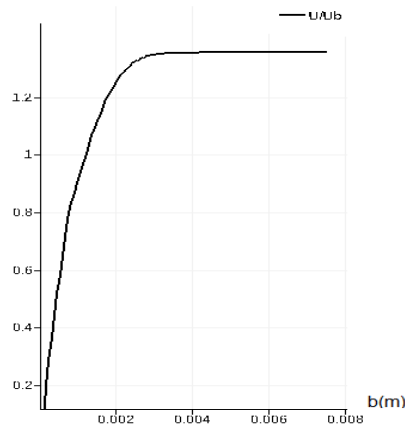
در مقطع مستطیلی پس از حل، در عدد رینولدز ۶۰۰۰، سرعت های ثانویه مشاهده شده و مطابق شکل ۱۶-۴ می باشد. پروفیل های نرمالیزه شده سرعت مشابه شکل ۴-۴ می باشد (شکل ۱۷-۴). همچنین کانتورهای رنگی سرعت های ثانویه در شکل ۱۸-۴ ترسیم شده است که مشابه با همتای خود (شکل ۴-۸) کanal مربعی می باشد.



(ب)

(الف)

شکل ۱۶-۴ - (الف) کانتورهای گردابه های متوسط جریان در یک چهارم مقطع (ب) بردارهای سرعت ثانویه متوسط در یک چهارم مقطع



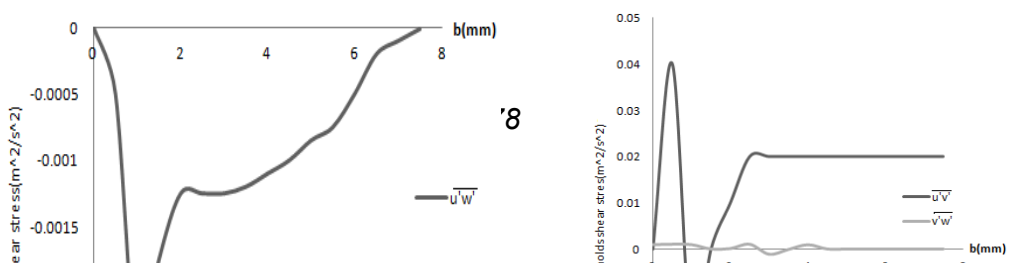
شکل ۱۷-۴ - پروفیل های نرمالیزه شده سرعت جریان با سرعت اصلی در طول خط ($y=0.5 \text{ cm}$)

(ب)

(الف)

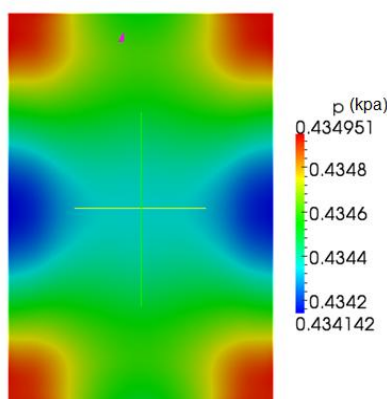
شکل ۱۸-۴ - (الف) کانتورهای رنگی سرعت های ثانویه (ب) - کانتورهای سرعت متوسط جریان

تشهای برشی رینولدز در طول خط ($y=0.1 \text{ cm}$) محاسبه شده و پروفیل آن مطابق شکل ۱۶-۴ می باشد b نصف عرض مقطع مستطیلی می باشد. همچنین گرادیان فشار در مقطع ناچیز است، شکل ۲۰-۴ گویای این مطلب است.



(الف) (ب)

شکل ۴-۱۹- پروفیل های تنش های برشی در ($y=0.1\text{cm}$) در مقطع جریان



شکل ۴-۲۰- کانتورهای فشار متوسط در مقطع جریان

۴-۳-۶- ارائه نتایج در مقطع مثلثی

در این پایان نامه سعی شده در اعداد رینولدز مختلف نتایج ارائه شود، در مقطع مثلثی در عدد رینولدز

۲۰۰۰۰ نتایج در کanalی به طول ۰۰۲۵ متر و مقطع مثلثی در دایره محیطی به شعاع ۰۰۱ متر احاطه

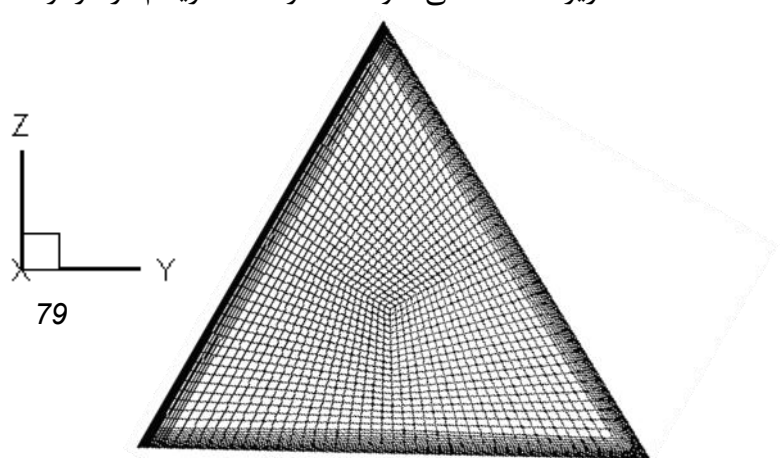
شده و مش بندی مطابق شکل ۴-۲۱ می باشد. که پس از شبیه سازی و ترسیم نتایج در عدد رینولدز

۲۰۰۰۰ همانند مقاطع پیشین جریان های ثانویه به وضوح قابل مشاهده است و بردارهای سرعت ثانویه

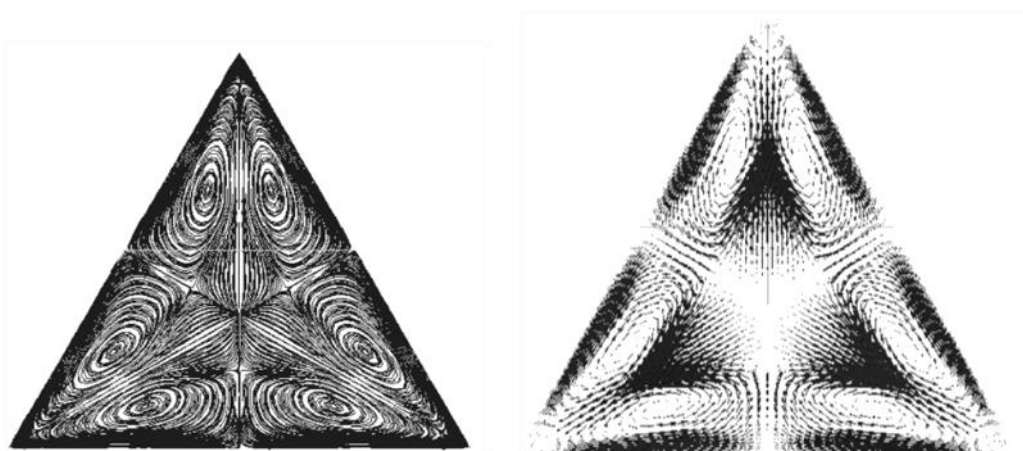
و کانتورهای آن و کانتورهای گردابه های متوسط جریان مطابق اشکال زیر می باشد. با توجه به اشکال

زیر مشاهده می شود که سرعت ماکریزم در مرکز مقطع جریان قرار دارد.

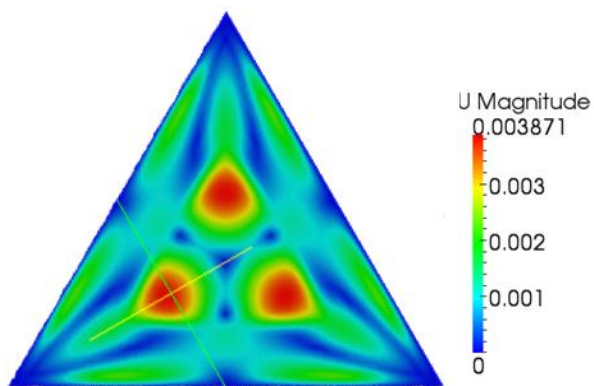
Definition:	Uniform
Algorithm:	Uniform
First row (a)	5e-005
Growth factor (b/a)	1.1
Rows	10



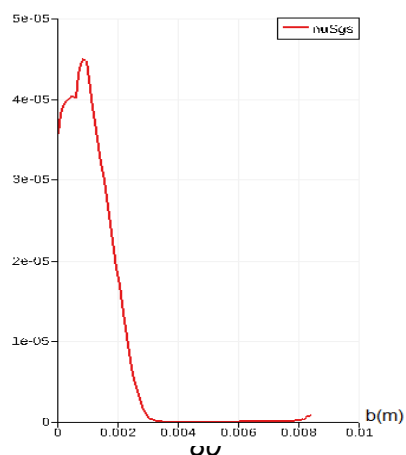
شکل ۴-۲۱-مش کانال مقطع مثلثی

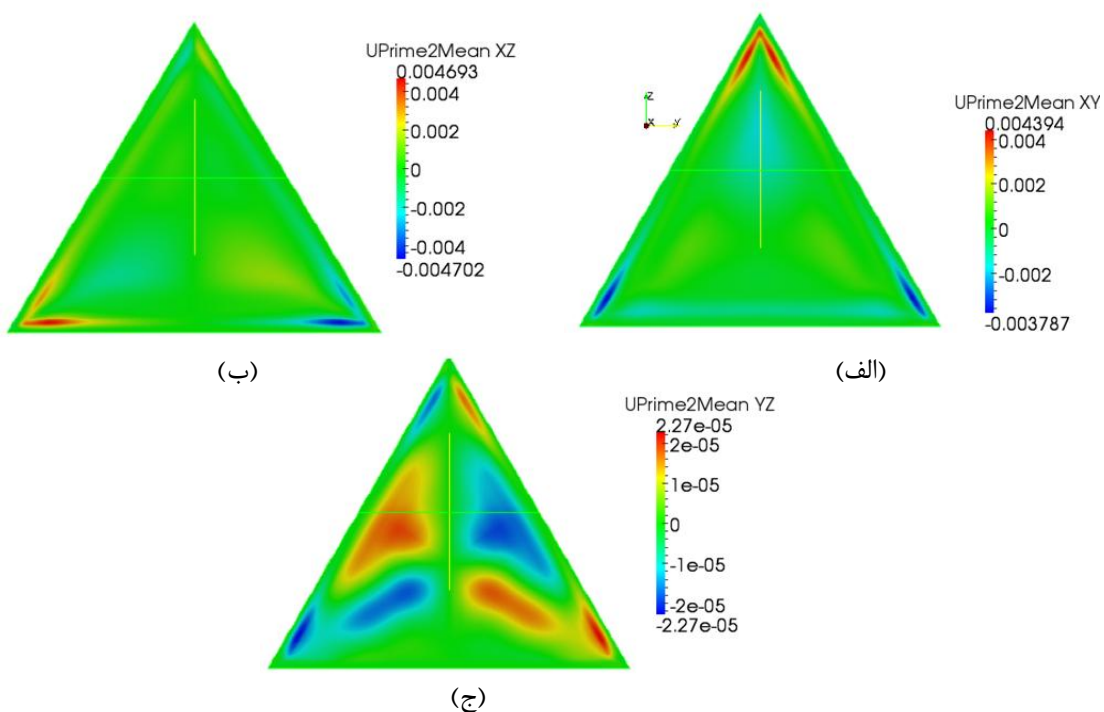


شکل ۴-۲۲-(الف) بردارهای سرعت ثانویه متوسط -(ب) کانتورهای گردابه های متوسط جریان



شکل ۴-۲۳-کانتورهای سرعت های ثانویه

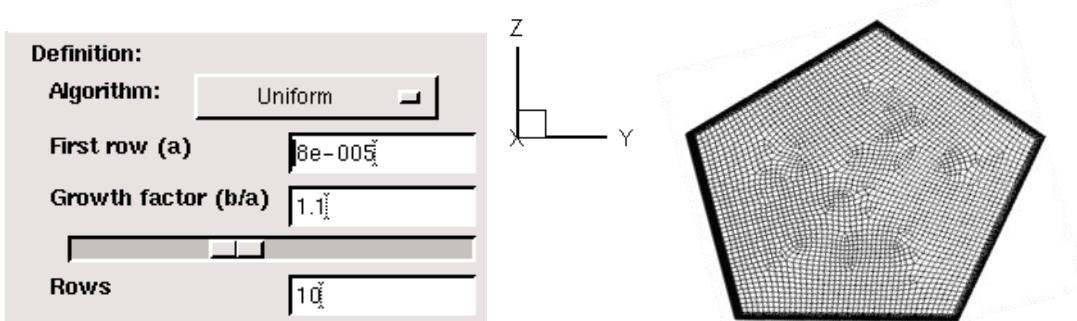


شکل ۴-۲۴- پروفیل ویسکوزیته ادی در طول خط ($y=1\text{ cm}$)

شکل ۴-۲۵- کانتورهای رنگی تنش های برشی (الف) (ب) (ج)

۴-۳-۷- ارائه نتایج در مقطع پنج ضلعی

در مقطع پنج ضلعی نحوه مش بندی مطابق شکل زیر می باشد.



شکل ۴-۲۶- مش کانال مقطع پنج ضلعی

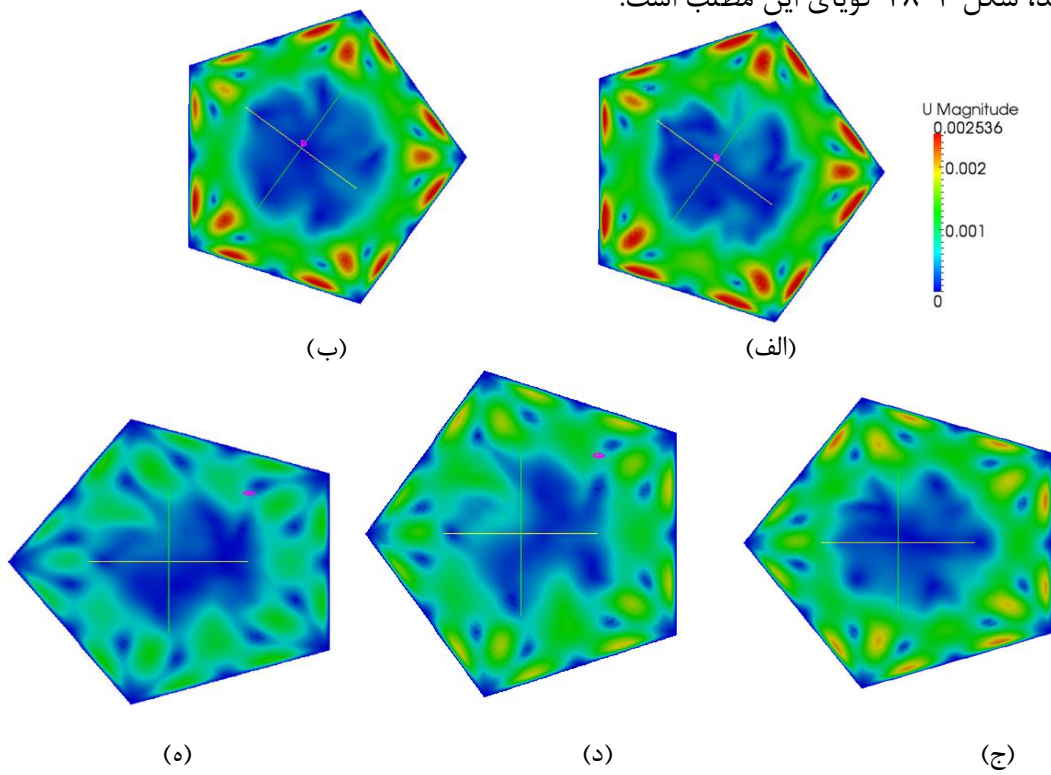
در این تحقیق، شبیه سازی گردابه های بزرگ در چند ضلعی منظم در عدد رینولدز ۱۰۰۰۰ انجام می شود. مقطع در دایره ای به شعاع ۱۰۰ متر محاط شده است. هدف این است که جریان های ثانویه که در نتیجه گرادیان تنش های رینولدز بوجود می آید تا کدام چند ضلعی ادامه خواهد داشت. در مقطع پنج

ضلوعی نیز جریان های ثانویه وجود دارند و کانتورهای سرعت های ثانویه و گردابه های متوسط جریان مطابق شکل ۲۷-۴ می باشد.

(ب) (الف)

شکل ۲۷-۴-(الف) کانتورهای سرعت ثانویه متوسط -(ب) کانتورهای گردابه های متوسط جریان

پس از مشاهده جریان های ثانویه با افزایش زمان مقدار جریان های ثانویه کم شده و کم کم ناپدید می شوند، شکل ۲۸-۴ گویای این مطلب است.



شکل ۲۸-۴-اثر افزایش زمان روی جریان های ثانویه

در این قسمت بخشی از خروجی که موقع حل مشاهده می شود در لحظه زمانی $t = 0.00016 \text{ s}$ ارائه گردیده، همانطور که در قسمت های قبلی اشاره شد حل کننده pisoFoam یک حل کننده

گذراست به همین دلیل نسبت به عدد کورانت حساس بوده و در هر گام زمانی در ابتدای حل عدد کورانت محاسبه می شود. در خط های بعدی تعداد تکرار حل برای رسیدن به دقیقیت مورد نظر در مسئله دیده می شود.

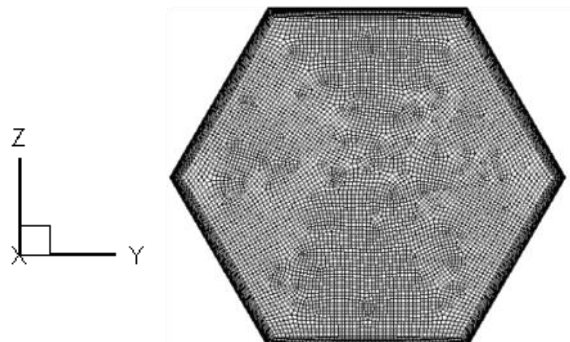
Time = 0.00016

```
Courant Number mean: 0.0293384 max: 0.606031
DILUPBiCG: Solving for Ux, Initial residual = 0.0475072, Final
residual = 2.81032e-16, No Iterations 10
DILUPBiCG: Solving for Uy, Initial residual = 0.772518, Final
residual = 1.53416e-16, No Iterations 11
DILUPBiCG: Solving for Uz, Initial residual = 0.770753, Final
residual = 1.53035e-16, No Iterations 11
DICPCG: Solving for p, Initial residual = 0.261595, Final
residual = 0.0129828, No Iterations 67
time step continuity errors : sum local = 7.05656e-05, global =
1.56374e-06, cumulative = 5.78377e-07
DICPCG: Solving for p, Initial residual = 0.397095, Final
residual = 9.72962e-11, No Iterations 211
time step continuity errors : sum local = 1.69057e-13, global =
2.11619e-15, cumulative = 5.78377e-07
ExecutionTime = 8.46 s ClockTime = 9 s
```

۴-۳-۸- ارائه نتایج در مقطع شش ضلعی

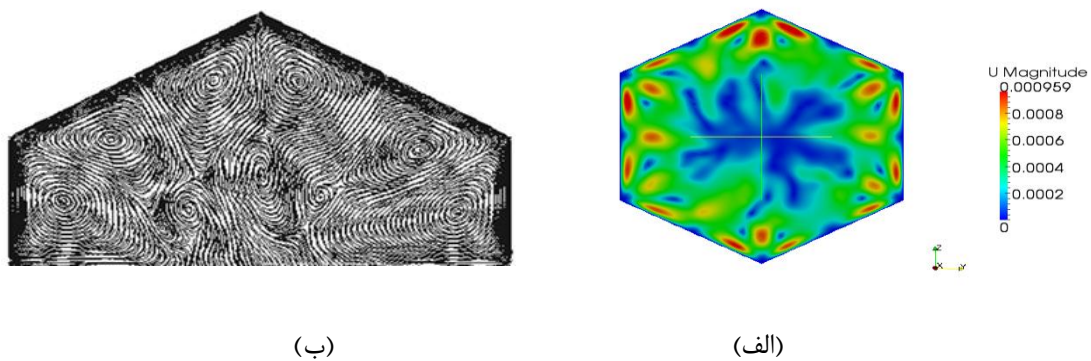
مشبندی در مقطع شش ضلعی مطابق شکل زیر می باشد.

Definition:	
Algorithm:	Uniform
First row (a)	5e-005
Growth factor (b/a)	1.1
Rows	10

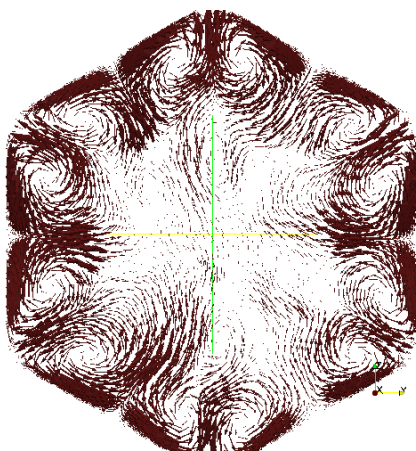


شکل ۴-۲۹-مش کانال مقطع شش ضلعی

پس از حل و ارائه نتایج در مقطع شش ضلعی منتظم در اشکال زیر مشاهده می شود که در این مقطع نیز جریان های ثانویه حضور دارند.



شکل ۴-۳۰- (الف) کانتورهای سرعت ثانویه متوسط - (ب) کانتورهای گردابه های متوسط جریان



شکل ۴-۳۱-بردارهای سرعت ثانویه متوسط

همانطور که در قسمت های قبلی اشاره شد پارامتر بی بعدی که در نحوه مش بندي و مشاهده نتایج موثر است ($yPlus$) است و پس از حل مسئله در هر گام زمانی قابل محاسبه است که در لحظه $t = 0.048 s$ محاسبه شده و در شرط ارائه شده در رابطه ۱-۴ صدق می کند.

```
Time = 0.048
```

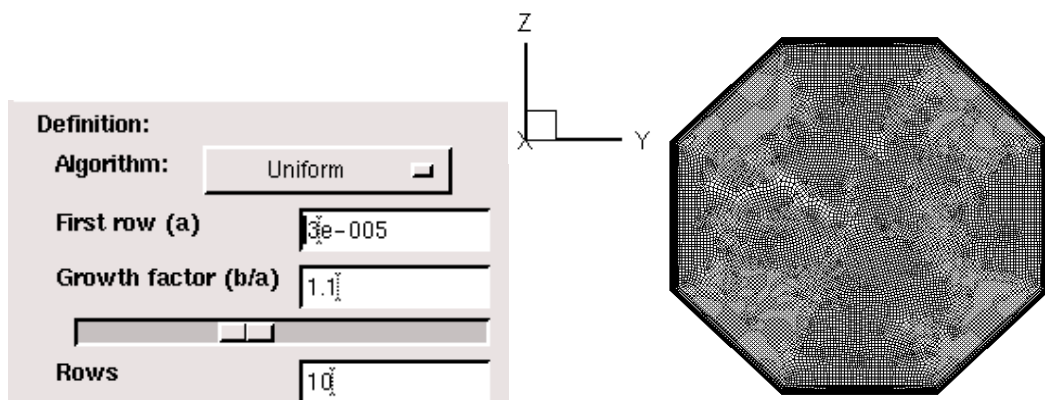
```
Reading field U
```

```
Reading/calculating face flux field phi
```

```
Selecting incompressible transport model Newtonian
Selecting LES turbulence model Smagorinsky
SmagorinskyCoeffs
{
    ce           1.048;
    ck           0.094;
}
Patch 0 named wall y+ : min: 0.264267 max: 0.537612 average:
0.484887
Writing yPlus to field yPlus
```

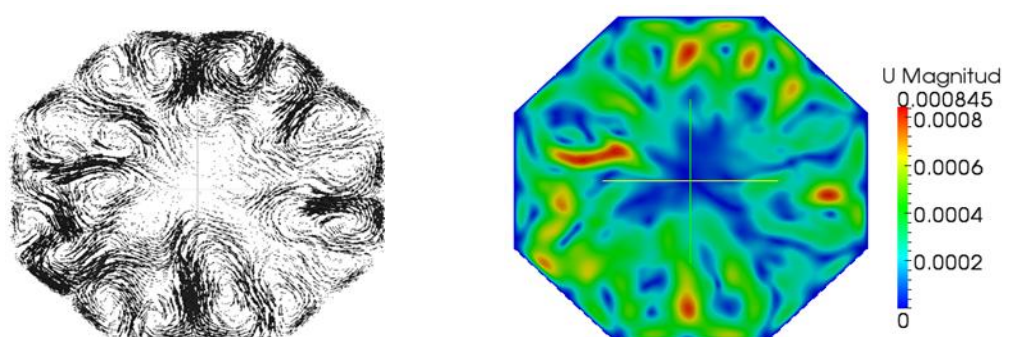
۴-۳-۹- ارائه نتایج در مقطع هشت ضلعی

مش بندی در مقطع هشت ضلعی مطابق شکل زیر می باشد.



شکل ۴-۳۲- مش کanal مقطع هشت ضلعی

با افزایش تعداد اضلاع و مدل سازی در کanal با مقطع هشت ضلعی منظم دیگر جریان های ثانویه مشاهده نمی شود و نظم و ترتیب موجود در بردارهای سرعت و کانتورهای رنگی سرعت مشاهده نمی شود که در اشکال زیر قابل مشاهده است.

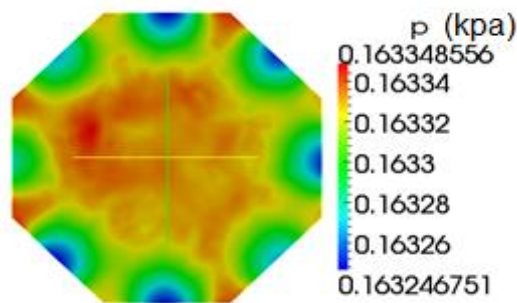


(ب)

(الف)

(الف)- کانتورهای سرعت ثانویه متوسط (ب)- بردارهای سرعت ثانویه متوسط

تغییرات فشار در مقطع ناچیز است، شکل زیر گویای این مطلب است.



شکل ۴-۳۴- کانتورهای فشار در مقطع جریان

در این قسمت بخشی از خروجی که موقع حل مشاهده می شود در لحظه زمانی $t = 8E - 5 s$ ارائه گردیده است.

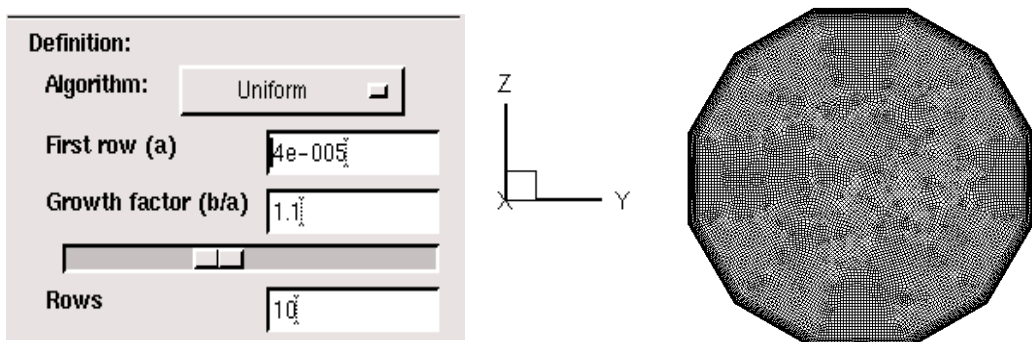
Time = 8e-05

```
Courant Number mean: 0.0146386 max: 0.417612
DILUPBiCG: Solving for Ux, Initial residual = 0.919281, Final
residual = 3.30204e-17, No Iterations 7
DILUPBiCG: Solving for Uy, Initial residual = 0.366519, Final
residual = 1.33191e-17, No Iterations 7
DILUPBiCG: Solving for Uz, Initial residual = 0.364409, Final
residual = 1.29572e-17, No Iterations 7
DICPCG: Solving for p, Initial residual = 0.0331427, Final
residual = 0.00160003, No Iterations 102
time step continuity errors : sum local = 0.000391966, global =
6.96805e-07, cumulative = 3.87396e-06
DICPCG: Solving for p, Initial residual = 0.0103831, Final
residual = 9.77683e-11, No Iterations 286
time step continuity errors : sum local = 1.39794e-11, global =
1.30567e-13, cumulative = 3.87396e-06
ExecutionTime = 30.95 s ClockTime = 31 s
```

Calculating averages

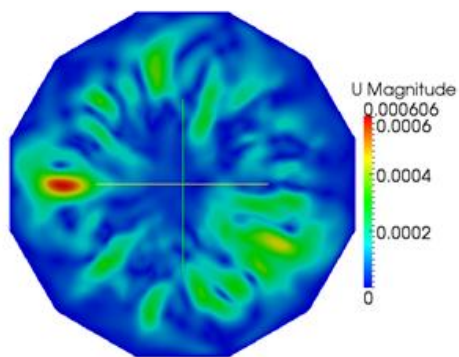
۱۰-۳-۴- ارائه نتایج در مقطع دوازده ضلعی

مش بندی در مقطع دوازده ضلعی مطابق شکل زیر می باشد.



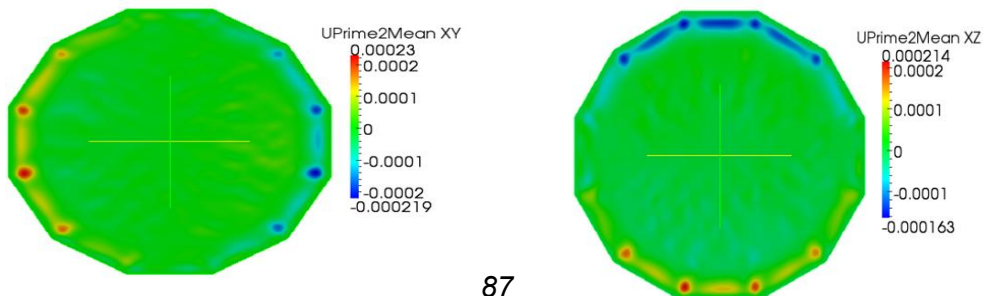
شکل ۴-۳۵-مش کanal مقطع دوازده ضلعی

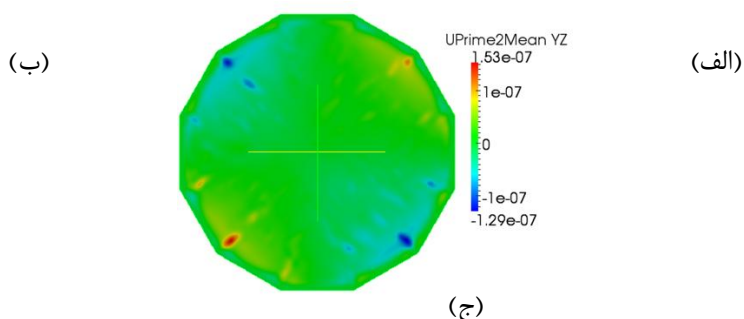
آخرین مقطع مورد بررسی مقطع دوازده ضلعی می باشد که نتایج مشابه مقطع هشت ضلعی می باشد و دیگر جریان های ثانویه قابل مشاهده نیست کانتورهای سرعت متوسط و پروفیل تأیید نتایج در شکل های زیر وجود دارد.



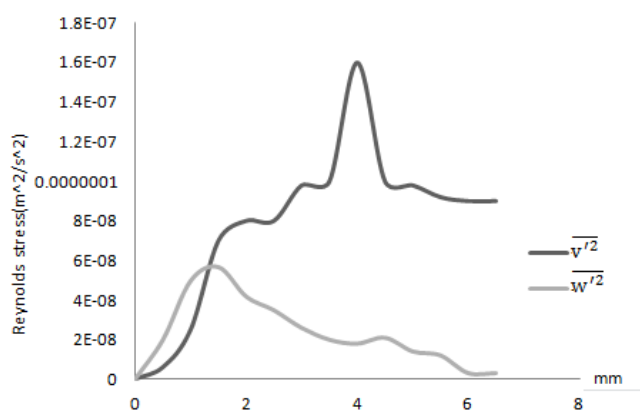
۴-۳۶-کانتورهای رنگی سرعت متوسط

در شکل های بعدی پروفیل تنش های رینولدز در مقطع جریان کanal دوازده ضلعی مشاهده می شود، کاهش شدید این تنش ها نسبت به مقطع مربعی در شکل ۱۱-۴ واضح است، تنش ها به سمت صفر میل می کند و دیگر جریان های ثانویه که در نتیجه گرادیان این تنش ها وجود دارد، مشاهده نخواهد شد. شکل های پایین گویای این مطلب است.

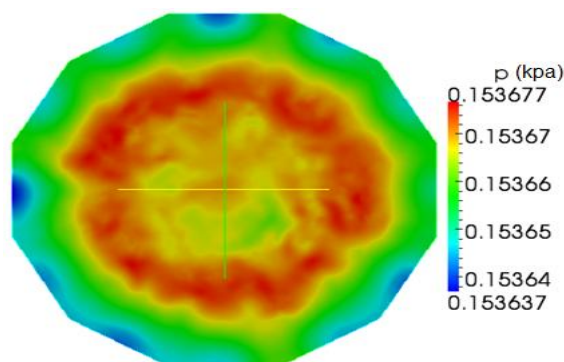




شکل ۳۷-۴- کانتورهای رنگی تنش های برشی (الف) (ب) (ج)



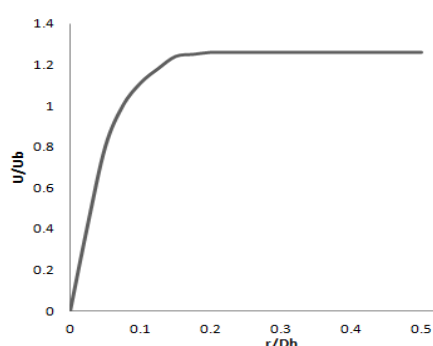
شکل ۳۸-۴- پروفیل های $\overline{v'^2}$, $\overline{w'^2}$ (تنش های عمودی) در طول خط ($y=0.75\text{cm}$)



شکل ۳۹-۴- کانتورهای فشار در مقطع جریان

شکل ۱۱-۳-۴- ارائه نتایج در مقطع دایره ای

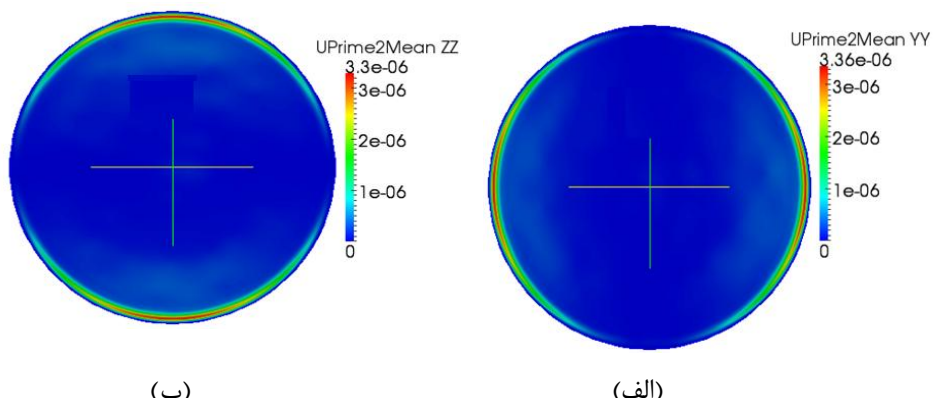
در این قسمت گردابه ها در یک کانال دایره ای به شعاع ۱۰۰ متر و طول ۲۵۰ متر و عدد رینولدز ۵۰۰۰ مدل سازی شده است. کانتورهای رنگی تنش های عمودی مقطع و ترسیم پروفیل های به دست آمده دلیلی بر عدم وجود گرادیان تنش های رینولدز و عدم وجود جریان های ثانویه می باشد علاوه بر این تشابه نتایج این مقطع و مقاطع هشت ضلعی منتظم و دوازده ضلعی منتظم دلیل دیگری بر عدم وجود جریان های ثانویه می باشد، پروفیل نرمالیزه شده سرعت جریان مطابق شکل ۴-۴- می باشند.



شکل ۴-۴- پروفیل نرمالیزه شده سرعت جریان با سرعت اصلی جریان در طول خط ($y=1 \text{ cm}$)



۴۱-۴- کانتورهای گردابه های متوسط جریان



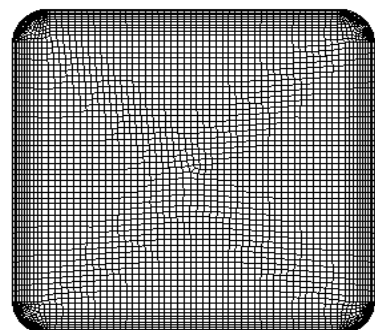
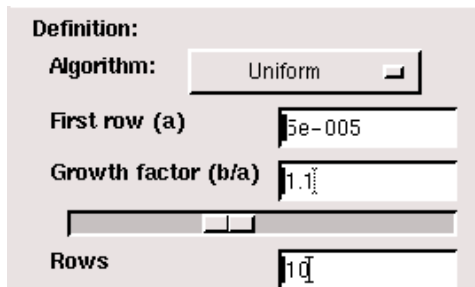
شکل ۴-۶- کانتورهای تنش های عمودی در مقطع جریان

با عنایت به اینکه در مقطع دایره‌ای سرعت‌های ثانویه دیده نمی‌شود، و در واقع شکل‌های بالا دلیلی برای اثبات آن می‌باشد هدف از ارائه نتایج در این مقطع، مشاهده تشابهات با مقاطع هشت ضلعی و دوازده ضلعی می‌باشد.

۴-۴- اثر گرد کردن گوشه‌ها در مقطع

در قسمت قبل وجود یا عدم وجود جریان‌های ثانویه در کانال‌های غیر مدور بررسی گردید و نتایج با کارهای محققان گذشته و نتایج آزمایشگاهی که در این رابطه انجام شده مقایسه گردید، در این قسمت گوشه‌ها (تیزی) این مقاطع گرد می‌شود و مرحله به مرحله به میزان شعاع روند افزوده می‌شود و پس از محاسبه قطر هیدرولیکی و سرعت در عدد رینولدز 10000 وجود یا عدم وجود جریان‌های ثانویه بررسی می‌شود.

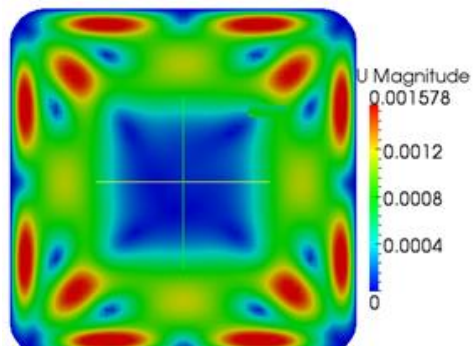
در مرحله اول در کانال با مقطع مربعی با ابعاد $1 \times 1 \times 2.5 \text{ cm}$ گوشه‌های مقطع به شعاع 1 mm گرد می‌شود و در مجموع 5062 المان در مقطع جریان وجود دارد. مش بندی مقطع مطابق شکل ۴۳-۴ می‌باشد.



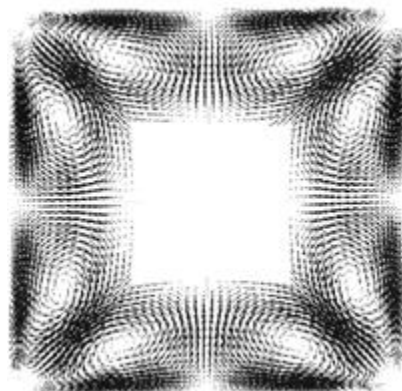
در این مقطع پس از مدل سازی و ارائه نتایج، سرعت‌های ثانویه مشاهده می‌شود و کانتورهای رنگی و سرعت‌های ثانویه و گردابه‌های متوسط و بردارهای سرعت‌های ثانویه جریان مطابق شکل‌های ۴۴-۴ و ۴۵-۴ خواهد بود.



90

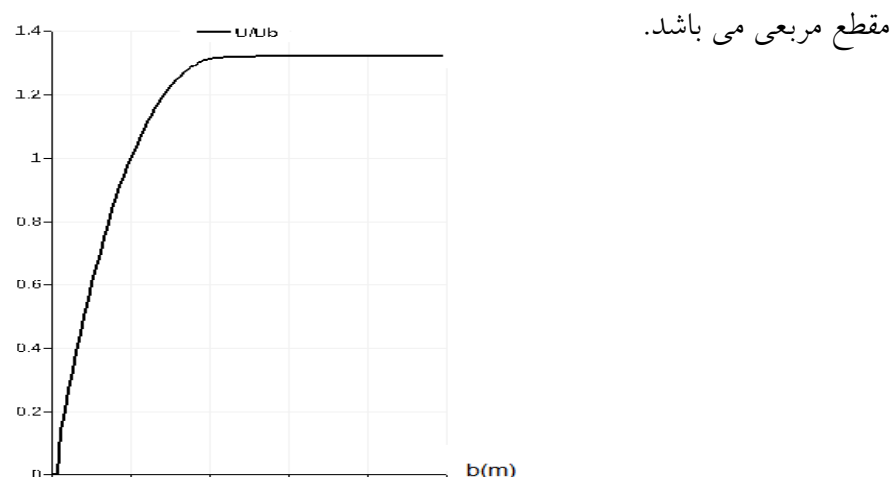


(الف) کانتورهای سرعت ثانویه متوسط –(ب) کانتورهای گردابه های متوسط جریان

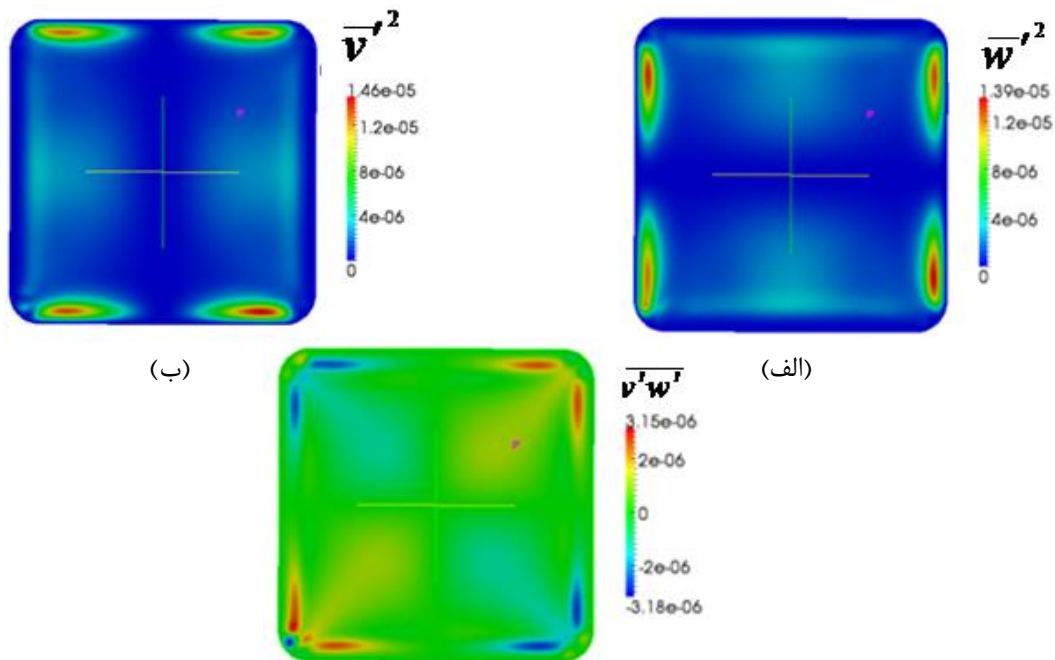


شکل ۴-۴۵ - بردارهای سرعت ثانویه متوسط در یک چهارم مقطع

پروفیل های نرمالیزه شده سرعت جریان با سرعت اصلی جریان در شکل زیر موافق با شکل ۴-۴ در



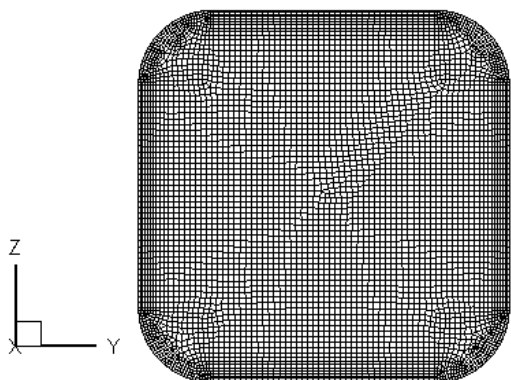
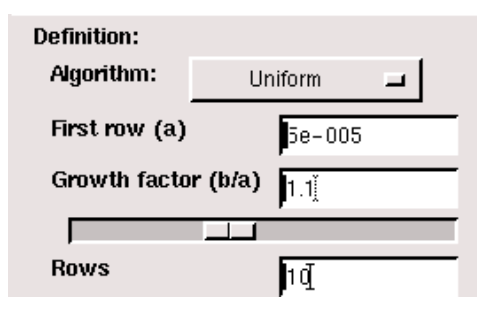
شکل ۴-۴۶ - پروفیل های نرمالیزه سده سرعت جریان با سرعت اصلی جریان در صول حط ($y=0.5 \text{ cm}$)



(ج)

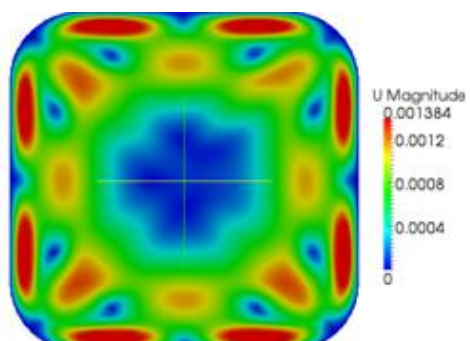
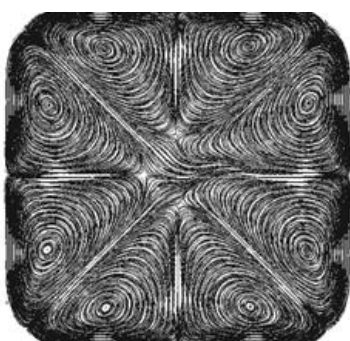
شکل ۴-۴۷- (الف) و (ب) کانتورهای رنگی تنش های عمودی رینولدز در مقطع جریان و (ج) کانتورهای رنگی تنش برشی در مقطع جریان

در مرحله دوم در کanal با مقطع مربعی با ابعاد $1 \times 1 \times 2.5 \text{ cm}$ گوشه های مقطع به شعاع 2 گرد می شود و در مجموع 5821 المان در مقطع جریان وجود دارد . مش بندی مقطع مطابق شکل ۴۸-۴ می باشد.

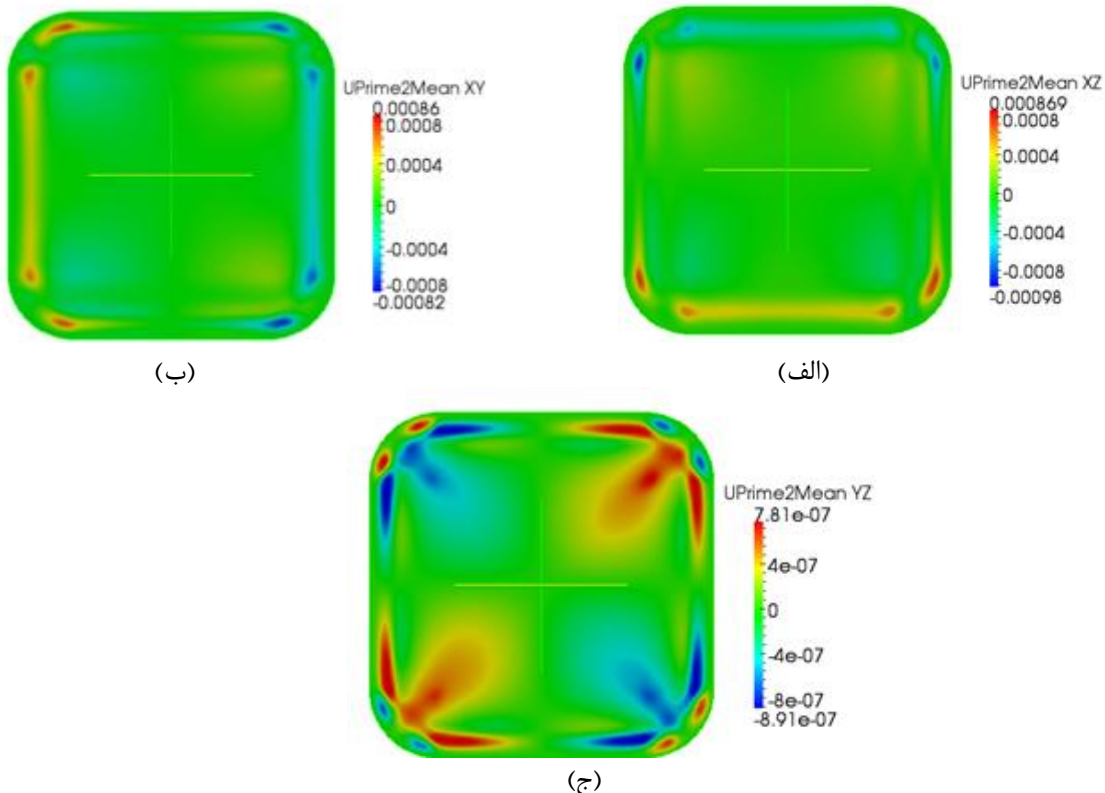


شکل ۴-۴۸- نحوه مش بندی در مقطع روند زده کanal

در این مقطع نیز همانند مقطع قبلی پس از مدل سازی و ارائه نتایج، سرعت های ثانویه مشاهده می شود و کانتورهای رنگی سرعت های ثانویه و گردابه های متوسط جریان و سایر نتایج مطابق شکل های زیر خواهد بود.

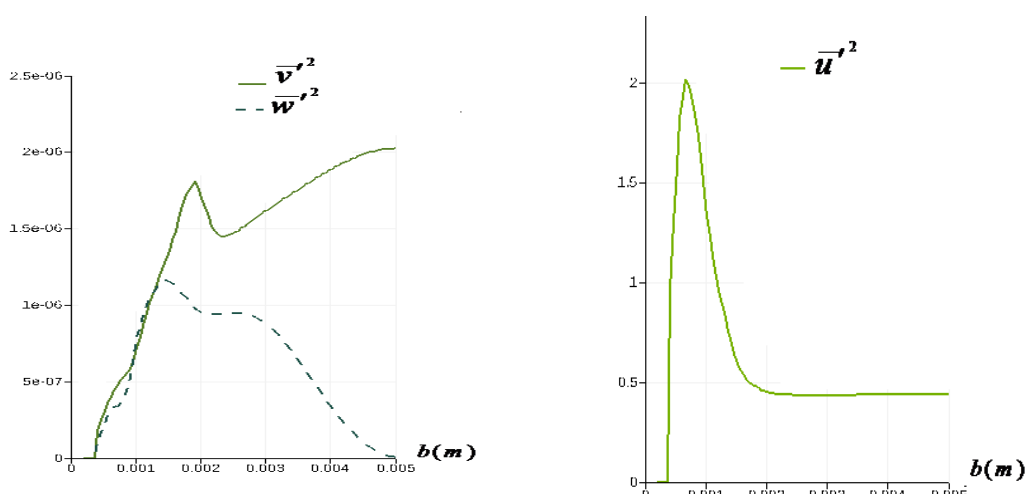


شکل ۴-۴-(الف) کانتورهای سرعت ثانویه متوسط -(ب) کانتورهای گردابه های متوسط جریان



شکل ۴-۵- کانتورهای رنگی تنش های برشی (الف) (ب) (ج)

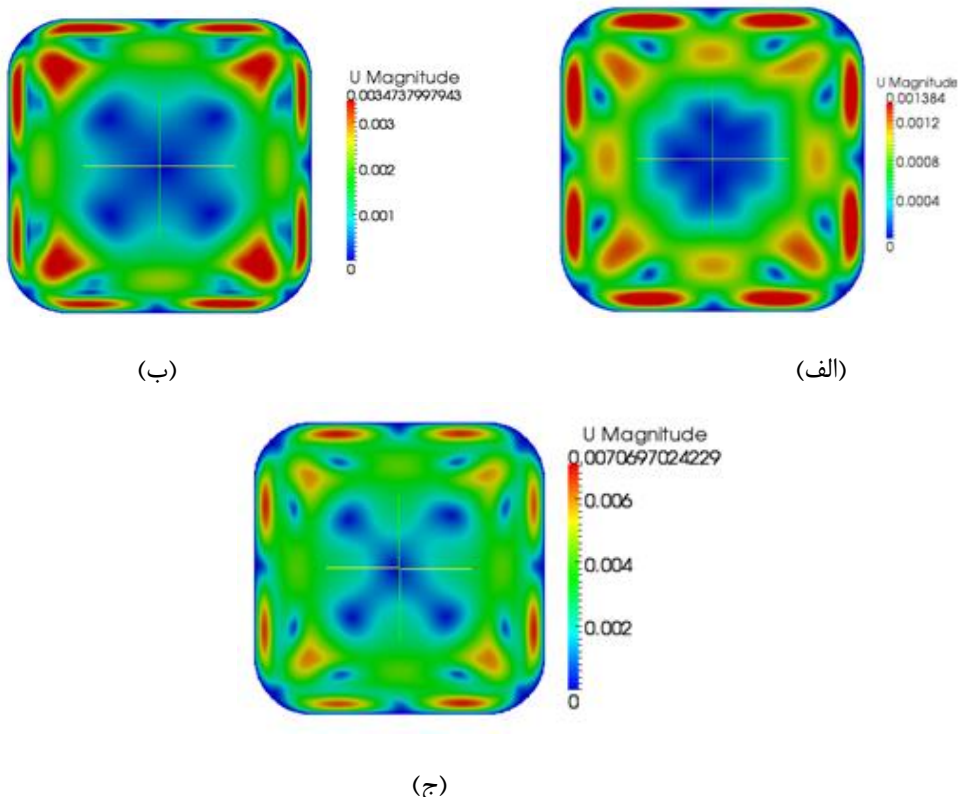
نمودار تنش های عمودی مقطع در راستای خط ($y=0.5 \text{ cm}$) مطابق شکل ۴-۵ می باشد . با مقایسه تنش های عمودی این مقطع با مقطع مربعی (شکل ۱۱-۴) به این نتیجه می رسیم که در این مقطع نیز همانند مقطع مربعی تنش های عمودی مقطع در راستای $X(\bar{u}^2)$ بیشترین مقدار را دارد و همچنین تنش های عمودی مقطع در راستای $y(\bar{v}^2)$, $z(\bar{w}^2)$ می باشد.



(الف) (ب)

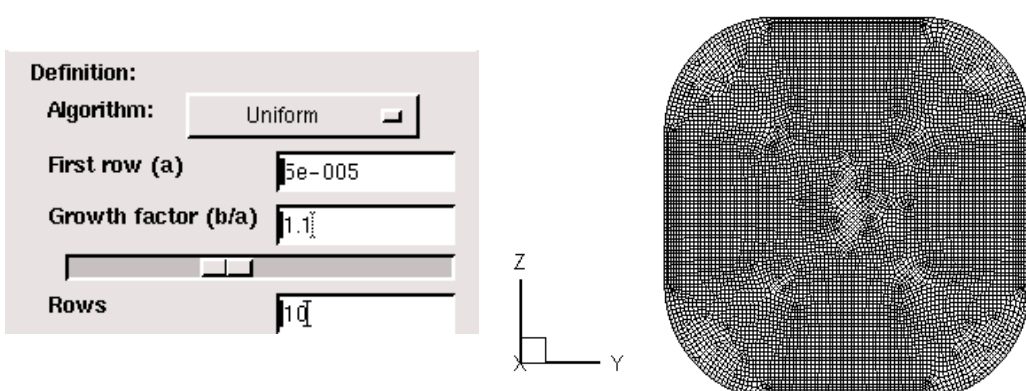
شکل ۴-۵۱-۴- نمودار تنش های عمودی

سرعت های ثانویه با افزایش عدد رینولدز افزایش می یابد، که این همان نتیجه موجود در شکل ۴-۱۳-۴ می باشد.



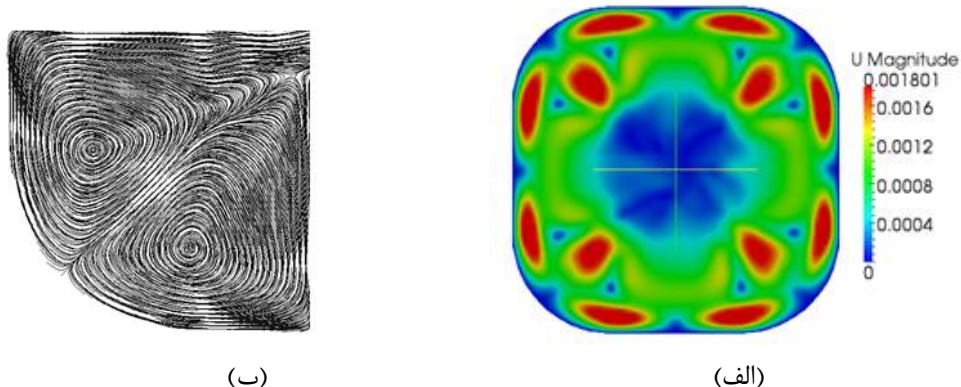
شکل ۴-۵۲-۴- کانتورهای رنگی سرعت های ثانویه (الف) رینولدز ۱۰۰۰۰ (ب) رینولدز ۲۰۰۰۰ (ج) رینولدز ۴۰۰۰۰

در مرحله سوم در کanal با مقطع مربعی با ابعاد $1 \times 1 \times 2.5 \text{ cm}$ گوشه های مقطع به شعاع ۳ mm در مراحله سوم در کanal با مقطع مربعی با ابعاد $1 \times 1 \times 2.5 \text{ cm}$ گرد می شود و در مجموع ۹۲۵۱ المان در مقطع جریان وجود دارد . مش بندی مقطع مطابق شکل ۴-۵۳-۴ می باشد.

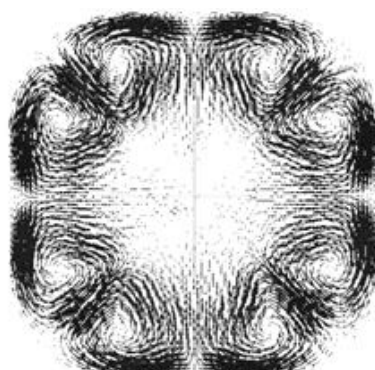


شکل ۴-۵۳- نحوه مش بندی در مقطع روند زده کانال

در این مقطع نیز همانند مقطع قبلی پس از مدل سازی و ارائه نتایج، سرعت های ثانویه مشاهده می شود و کانتورهای رنگی سرعت های ثانویه و گردابه های متوسط جریان و سایر نتایج مطابق شکل های زیر خواهد بود.

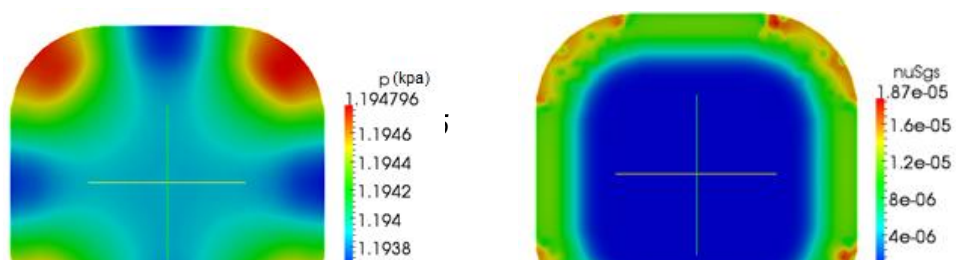


شکل ۴-۵۴- (الف) کانتورهای سرعت ثانویه متوسط – (ب) کانتورهای گردابه های متوسط جریان در یک چهارم مقطع



شکل ۴-۵۵- بردارهای سرعت ثانویه متوسط

کانتورهای رنگی فشار و ویسکوزیته ادی در مقطع در شکل زیر نشان داده شده است. با مقایسه قسمت (الف) با شکل ۹-۴ و قسمت (ب) با شکل ۲۱-۴ تشابه نتایج مشهود است.

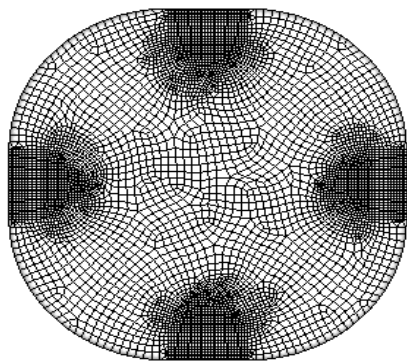
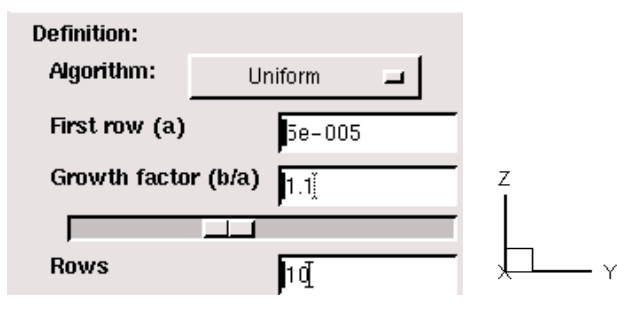


(ب)

(الف)

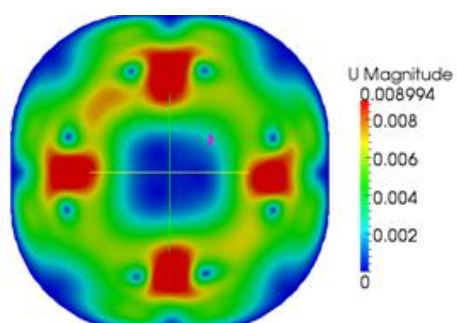
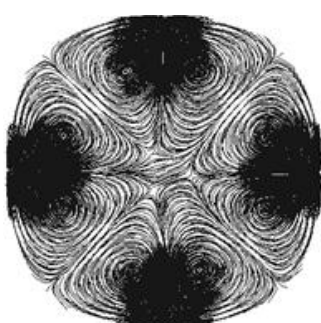
شکل ۴-۵۶- (الف)- کانتورهای ویسکوزیته ادی (ب)- کانتورهای فشار متوسط در مقطع جریان

در مرحله چهارم در کanal با مقطع مربعی با ابعاد $1 \times 1 \times 2.5$ cm گوشه های مقطع به شعاع 4 mm گرد می شود و در مجموع ۶۰۰۰ المان در مقطع جریان وجود دارد . مش بنده مقطع مطابق شکل ۴-۵۷ می باشد.

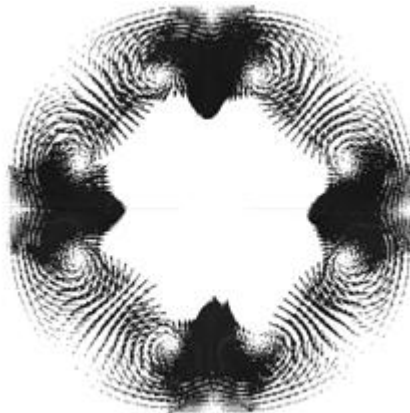


شکل ۴-۵۷- نحوه مش بنده در مقطع روند زده کanal

در این مقطع پس از مدل سازی و ارائه نتایج، دیگر سرعت های ثانویه مشاهده نمی شود، با توجه به اینکه با افزایش میزان شعاع گرد کردن گوشه ها در این مرحله، مقطع به دایره نزدیکتر می شود و با توجه به اینکه در قسمت ۱۱-۲-۴ عدم وجود جریان های ثانویه در مقطع دایره ای نشان داده شد، این تشابه منجر به نتیجه مشابه خواهد شد. کانتورهای رنگی سرعت و گردابه های متوسط جریان و سایر نتایج مطابق شکل های زیر خواهد بود.



شکل ۴-۵۸- (الف) کانتورهای سرعت متوسط – (ب) کانتورهای گردابه های متوسط جریان در مقطع



شکل ۴-۵۹- بردارهای سرعت متوسط در مقطع

نمودار تنش های عمودی مقطع در راستای خط ($y=0.5 \text{ cm}$) مطابق شکل ۴-۶۰ می باشد . با مقایسه

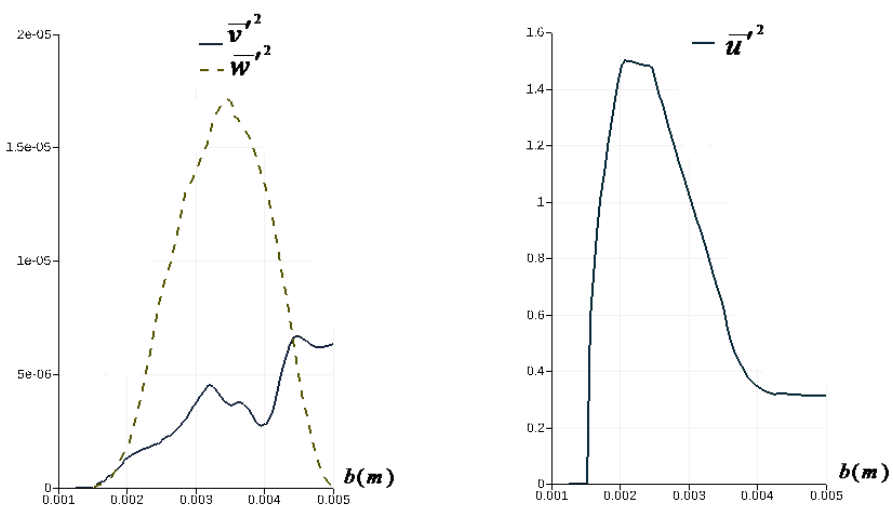
تنش های عمودی این مقطع با مقطع مربعی (شکل ۴-۱۱) و مقطع روند زده شده (شکل ۴-۵۱) به این

نتیجه می رسیم که در این مقطع نقطه شروع نمودار تنش های عمودی مقطع در راستای $x(\bar{u}^2)$ با دو

شکل فوق الاشاره تفاوت دارد و همچنین تنش های عمودی مقطع در راستای $y(\bar{v}^2)$ ، (بیشتر از تنش

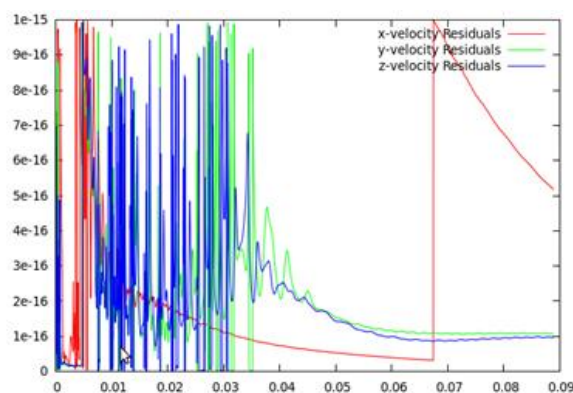
های عمودی مقطع در راستای $z(\bar{w}^2)$) نمی باشد، که این هم تفاوت دیگری می باشد و در عدم وجود

جریان های ثانویه بی تأثیر نخواهد بود.



شکل ۴-۶۰- نمودار تنش های عمودی مقطع

نمودار خطای این قسمت نیز نظیر شکل ۱۲-۴ می باشد .



شکل ۴-۶۱- نمودار خطای محاسبه سرعت

فصل پنجم

نتیجه گیری و پیشنهادات

این پایان نامه شامل دو قسمت می باشد: در قسمت اول جریان آشفته در کanal های غیر مدور بررسی گردید و در قسمت دوم گوشه های این مقاطع گرد شد و در دو بخش وجود یا عدم وجود جریان های ثانویه بررسی گردید. با عنایت به مطالب ارائه شده در فصول قبل، می توان نتیجه گیری های زیر را ارائه نمود:

۱-۵- نتیجه گیری

- ✓ جریان های ثانویه در کanal های غیر دایره ای به علت غیر ایزوتrop بودن آشفتگی رخ می دهند.
- ✓ با توجه به اینکه روش $U - k$ استاندارد، آشفتگی را به شکل ایزوتrop مدل سازی می کند، این مدل توانایی نشان دادن جریان های ثانویه را ندارد و در نتیجه هیچ جریان ثانویه ای را نشان نمی دهد.
- ✓ شرایط مرزی مناسب برای مدلسازی جریان توسعه یافته، به صورت مرز متناوب می باشد که به طور پیوسته جواب های خروجی را در ورودی اعمال می کند، در غیر اینصورت جریان های ثانویه ظاهر نخواهد شد.
- ✓ در مدل مذکور باید $y^+ \leq 1.5$ و عدد کورانت کمتر از یک باشد، که جریان های ثانویه قابل مشاهده باشند.
- ✓ اهمیت وجود جریان های ثانویه در افزایش مقادیر ممنتوم و انتقال حرارت در دیواره ها می باشد.
- ✓ جریان های ثانویه نمایان شده با جریان ثانویه و برآمدگی کانتور های سرعت که به طور آزمایشگاهی به دست آمد، تطابق دارد.
- ✓ هر چقدر عدد رینولدز افزایش می یابد جریان های ثانویه هم افزایش می یابند و بردار های سرعت در صفحه نمایان تر می شوند و به سمت گوشه ها متمایل تر می شوند.

✓ جریان های ثانویه در مقاطع مربعی، مستطیلی، مثلثی و پنج ضلعی منتظم و شش ضلعی منتظم

به وضوح قابل رویت می باشند.

✓ در شش ضلعی منتظم مقادیر سرعت های ثانویه به شدت کاهش می یابند و پس از آن نیز در

مقطع هشت ضلعی و دوازده ضلعی این روند رو به کاهش ادامه دارد. کاهش شدید و رو به صفر

شدن تنش های عمودی در مقطع، عامل اصلی محو شدن جریان های ثانویه می باشد. علاوه بر

آن تشابه آن بانتایج مقطع دایره ای و ثابت بودن تنش های عمودی در مقطع و صفر شدن

گرادیان آن، دلیل دیگری در محو شدن جریان های ثانویه می باشد.

✓ با توجه به روابط C_s رابطه مستقیم دارند و با افزایش آن تنش

های رینولدز افزایش می یابند.

✓ گرادیان فشار متوسط در مقطع جریان ناچیز می باشد و کانتورهای رنگی فشار نیز آن را تأیید

می نماید.

✓ در قسمت دوم این پایان نامه با گرد کردن گوشه ها و افزایش شعاع انحنا در هر مرحله تا مرحله

سوم که میزان شعاع گرد کردن گوشه ها 0.3 طول ضلع می باشد، پس از مدل سازی جریان

های ثانویه مشاهده می شوند و تایید نتایج مانند قسمت قبلی می باشد اما در مرحله چهارم که

میزان شعاع به 0.4 طول ضلع افزایش می یابد با عنایت به اینکه مقطع به دایره نزدیکتر می

شود، دیگر جریان های ثانویه وجود ندارد و تفاوت نمودارهای تنش عمودی مقطع نیز محسوس

می باشد همچنین نتایج مشابه مقطع دایره ای می باشد .

۲-۵ - پیشنهادات

با توجه به مطالب ارائه شده در این پایان نامه، موارد زیر برای کارهای پژوهش آینده توصیه می گردد:

- ✓ مدل آشفتگی LES از لحاظ محاسباتی سنگین می باشد. روش های مدلسازی آشفتگی غیر ایزوتروپ دیگر مانند RSM را می توان استفاده کرد و صحت عملکرد آن ها را نسبت به نتایج آزمایشگاهی بررسی نمود.
- ✓ در تحقیق حاضر از روش LES و Smagorinsky برای مدل سازی استفاده گردید، از سایر روش های موجود در LES و یا سایر روش های موجود برای جریان های آشفته نیز می توان استفاده کرد و نتایج را بررسی نمود.
- ✓ در این تحقیق مدلسازی با مش های ریز در حد $y^+ < 2$ با توصیه سایر محققین انجام گرفت تا مدل همگرا شود، چنین مش ریزی پر هزینه می باشد. بررسی استفاده از توابع دیواری که بتواند این قید را کاهش دهد توصیه می گردد.
- ✓ برای مقاطع مستطیل شکل و انواع چند ضلعی ها کارهای آزمایشگاهی مناسب صورت نگرفته است، انجام آزمایشات بری این مقاطع نیز توصیه می گردد.

پیوست

الف-۱ OpenFOAM چیست؟

یکی دیگر از نرم افزار های موجود برای تحلیل رفتار سیال، OpenFOAM می باشد. مخفف عبارت Open Fluid Operation And Manipulation می باشد. این نرم افزار به زبان C++ نوشته شده و در محیط linux نصب و اجرا می شود.

این نرم افزار از اواسط سال ۲۰۰۶ در نسخه های مختلف عرضه شده است. از جمله مهمترین امتیازات OpenFOAM نسبت به نرم افزار های مشابه مانند Fluent و CFX ، می توان به موارد زیر اشاره کرد:

- www.openfoam.com مجانی بودن و در نتیجه قابل دانلود بودن آن از سایت رسمی (

).

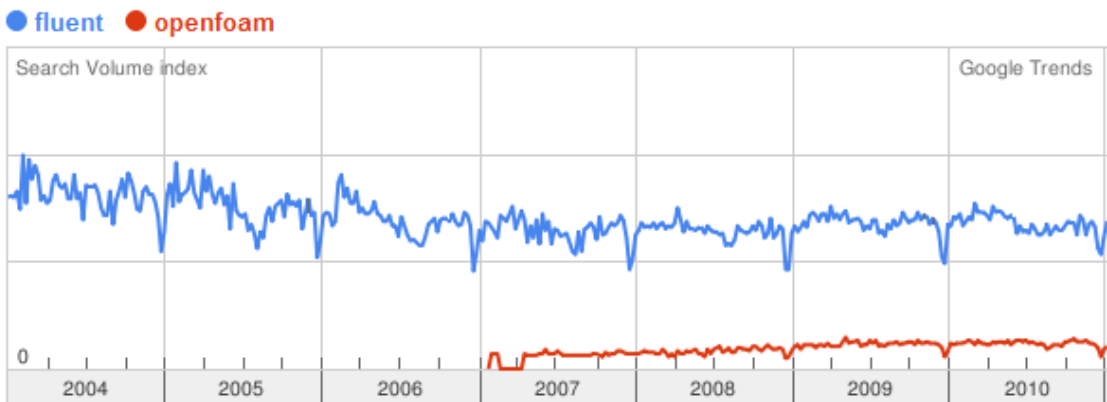
- جامعیت در مسائل مختلف مکانیک سیالات.

- متن باز بودن کدها.

- قابلیت تغییر کدهای موجود توسط کاربر.

- ساختار یافته بودن کدها و در نتیجه سادگی ویرایش آنها.

با توجه به متن باز بودن کدها، این نرم افزار به سرعت و توسط اشخاص مختلف در سراسر جهان گسترش می یابد. نمودار زیر برگرفته از سایت www.google.com/trends ، و مربوط به مقایسه تعداد search های انجام شده با کلمات OpenFOAM و fluent در سایت google است که نشانگر گسترش OpenFOAM در این زمان کوتاه نسبت به fluent می باشد.



الف-۲- دانلود و نصب OpenFOAM

همانطور که اشاره شد، OpenFOAM مجانی و در دسترس عموم می باشد. این نرم افزار را می توان از سایت رسمی OpenFOAM مرجع [۶۲] دانلود کرد. متاسفانه بدلیل تحریم ها علیه ایران، این نرم افزار برای سورورهای داخلی غیرقابل دسترس می باشد. با این حال می توان با استفاده از نرم افزارها و سایت های ضد فیلتر آن را از سایت دانلود کرد. ورژن های مختلف این نرم افزار تا به امروز عبارتند از :

1.7.0 -۹-۱ , 1.1 , 1.2 , 1.3 , 1.4 , 1.4-dev , 1.5 , 1.5-dev , 1.6 , 1.6.x ,
, 1.7.x , 1.7.1

ورژن هایی که در آخر نام آن ها 'x' است، قابلیت آپدیت توسط repository های مخصوص ورژن هایی که در پایان نام آن ها عبارت 'dev' است، توسط OpenFOAM را دارا می باشند. ورژن هایی که در پایان نام آن ها عبارت 'dev' است، توسط OpenFOAM متخصصین دیگری گسترش می یابند و شامل بعضی ابزارهای جداگانه نسبت به استاندارد می باشند. این ورژن ها از سایت مرجع [۶۳] قابل دانلود می باشند. آخرین ورژن موجود تا این زمان 1.7.1 می باشد که در ماه آگوست سال ۲۰۱۰ عرضه شده است.

این نرم افزار در چهار فرمت source code (برای نصب بر روی انواع لینوکس) ، binary (کامپایل svn (مخصوص ورژن های 1.6.x و 1.7.x) و Git Repository ، شده و بدون نیاز به نصب) ،

(مخصوص ورژن های dev.) عرضه شده است. البته نسخه های جدیدتر در فرمت های deb و RPM. که مخصوص نصب مستقیم در لینوکس های مختلف می باشند نیز عرضه شده اند.

برای نصب نرم افزار کافیست با توجه به فرمت مورد نظر، روش مناسب گفته شده در سایت اصلی را دنبال کنید.

الف-۳- ساختار کلی فولدرها

بعد از نصب کامل نرم افزار، دو فolder اصلی در محل مورد نظر مشخص خواهند بود : فolder بعد از نصب کامل نرم افزار، دو فolder اصلی در محل مورد نظر مشخص خواهند بود : فolder OpenFOAM شامل تمامی کدها، سالورها، متن Thirdparty و OpenFOAM-version ها و مثال های مربوط به آن ورژن از OpenFOAM می باشد. فolder Thirdparty نیز شامل نرم افزار های جانبی برای اجرا شدن OpenFOAM می باشد. از مهمترین این نرم افزار ها می توان به اشاره کرد که مربوط به مشاهده و post-processing نتایج حاصل از حل می باشد. فolder OpenFOAM نیز به بخش های مختلفی تقسیم می شود که در جدول زیر مهمترین آن ها آورده شده است.

جدول الف-۱- فolder های موجود در OpenFOAM

نام فolder	مطلوب موجود
Applications	کدهای مربوط به سالورها و ابزارهای جانبی
Src	کدهای روش های عددی و معادلات کلی مکانیک سیالات بکاررفته
Tutorials	مثال های مختلفی از سالور های گوناگون
Doc	های ساده و پیشرفته برای استفاده کنندگان Tutorial
etc	مشخصات ابزارهایی که OpenFOAM با آن ها کار می کند

برای تغییر در هر یک از موارد ذکر شده، می توان به فolder مورد نظر رجوع ، و تغییر لازم را اعمال کرد و یا قسمتی جدید به آن اضافه نمود و سپس آن قسمت را دوباره کامپایل کرد.

یکی از مشخصات مهم نرم افزار جامعیت در زمینه های مختلف مکانیک سیالات می باشد. قسمتی

از مسائل قابل بررسی در *OpenFOAM*، عبارت است از:

- حل جریان تراکم پذیر و تراکم ناپذیر به صورت پایا و گذرا.
- حل مسائل توربولنس با استفاده از مدل های مختلف توربولانسی.
- حل جریان با استفاده از انواع مدل های LES.
- بررسی انتقال حرارت به همراه حل جریان.
- بررسی احتراق.
- بررسی اثر متقابل سیال و جسم جامد (FSI).
- استفاده از شبکه متحرک در مسائل مختلف.

الف-۴- حل کننده های *OpenFOAM*

یکی از تفاوت های عمدۀ نرم افزار های مشابه مانند *fluent* و *OpenFOAM* با نرم افزار های مشابه مانند *CFX*، وجود حل کننده های جداگانه برای حل مسائل مختلف می باشد. برای مثال حل کننده های حل پایا با حل کننده های حل گذرا متفاوت می باشند و یا بعضی از حل کننده ها با بررسی انتقال حرارت همراه هستند و بعضی دیگر تنها معادلات دینامیکی سیال را حل می کنند. در نهایت کاربر بسته به مسئله مورد بررسی باید از حل کننده مناسب استفاده کند. در هر نسخه به تعداد حل کننده های موجود در نرم افزار اضافه می شود. برای مثال، چند حل کننده اصلی به همراه کاربرد آن ها در جداول زیر لیست شده اند.

جدول الف-۲- تعدادی از حل کننده های اصلی در *OpenFOAM*

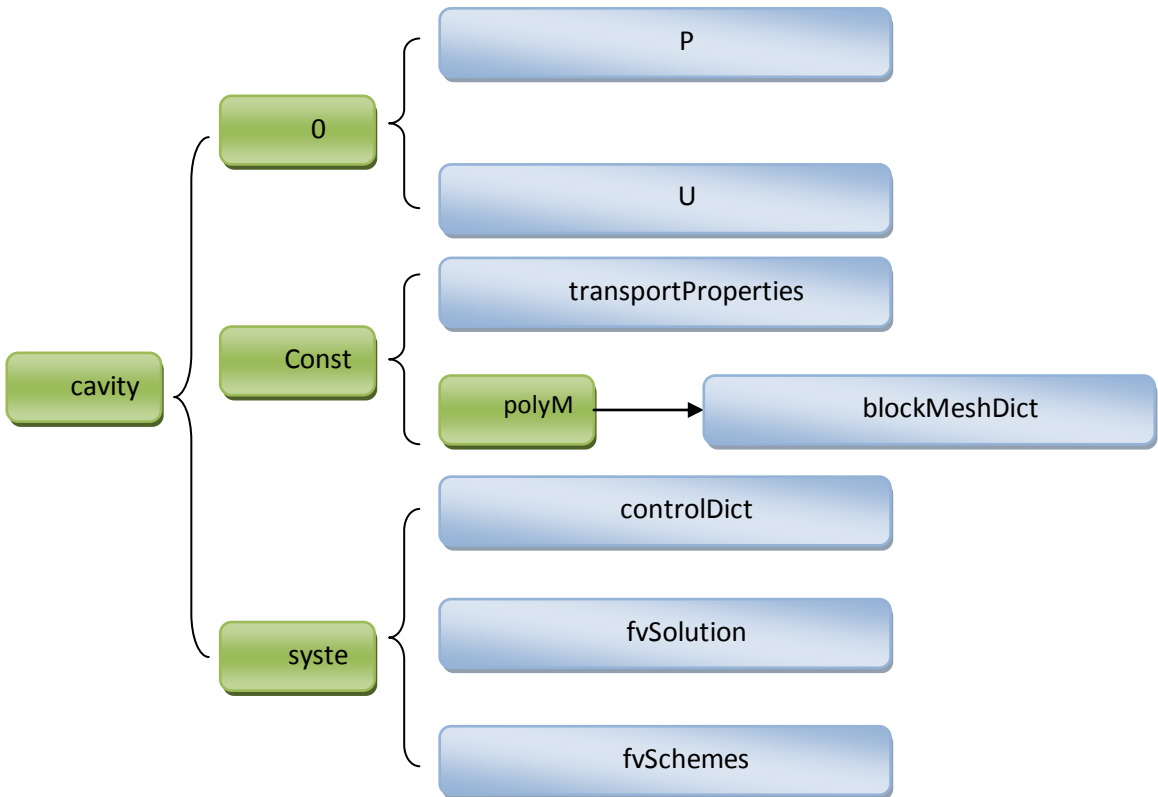
سیال تراکم ناپذیر	
icoFoam	حل کننده گذرا برای حل جریان غیر قابل تراکم، لایه ای و نیوتونی
icoDyMFoam	حل کننده گذرا برای حل جریان غیر قابل تراکم، لایه ای و نیوتونی برای شبکه

متجرک	
nonNewtonianIcoFoam	حل کننده گذرا برای حل جریان غیر قابل تراکم، لایه ای و غیر نیوتونی
simpleFoam	حل کننده پایا برای حل جریان غیر قابل تراکم، لایه ای و توربولانس و نیوتونی یا غیرنیوتونی
turbFoam	حل کننده گذرا برای حل جریان غیر قابل تراکم، لایه ای و توربولانس و نیوتونی یا غیرنیوتونی
pisoFoam	حل کننده LES برای سیال غیر قابل تراکم
سیال تراکم پذیر	
coodles	حل کننده LES برای سیال تراکم پذیر
rhoPimpleFoam	حل کننده گذرا برای حل جریان تراکم پذیر، توربولانس به همراه انتقال حرارت
rhoPorousSimpleFoam	حل کننده پایا برای حل جریان تراکم پذیر با رفتار صریح یا غیر صریح porosity
rhoTurbFoam	حل کننده گذرا برای حل جریان تراکم پذیر
rhoSimpleFoam	حل کننده پایا برای حل جریان تراکم پذیر
انتقال حرارت	
buoyantFoam	حل کننده گذرا برای حل جریان تراکم پذیر، توربولانس به همراه انتقال حرارت
buoyantSimpleFoam	حل کننده پایا برای حل جریان تراکم پذیر، توربولانس به همراه انتقال حرارت
buoyantSimple- RadiationFoam	حل کننده پایا برای حل جریان تراکم پذیر، توربولانس به همراه انتقال حرارت و تشعشع
chtMultiRegionFoam	حل کننده کوپل کننده انتقال حرارت در یک سطح جامد با اثرات تراکم پذیری در سیال
lesBuoyantFoam	حل کننده LES برای حل جریان تراکم پذیر، توربولانس به همراه انتقال حرارت
buoyantFoam	حل کننده گذرا برای حل جریان تراکم پذیر، توربولانس به همراه انتقال حرارت

حل کننده های متعدد دیگری در زمینه احتراق، جریان چند فازی، ذرات موجود در جریان و... نیز دارد. برای مشاهده مجموعه کلی حل کننده های استاندارد در **OpenFOAM** به مرجع [۶۴] رجوع کنید. همچنین کاربر می تواند با تسلط بر نحوه برنامه نویسی در **OpenFOAM** و تسلط بر زبان **C++**، حل کننده های مورد نظر خود را به برنامه اضافه و از آن ها در حل مسائل استفاده کند.

الف-۵- نحوه حل مسائل در **OpenFOAM**

برای دانستن نحوه کار با حل کننده ها، مشخص کردن شبکه، شرایط مرزی ، خصوصیات جریان و ... **OpenFOAM-version /tutorials /** مثالی را در اینجا مطرح می کنیم. ابتدا به مسیر **Incompressible /icoFoam** رفته و فolder **cavity** کپی و سپس در جای دیگری از کامپیوتر خود **paste** کنید. این مساله یکی از ساده ترین مسائل مکانیک سیالات می باشد که توسط حل کننده **icoFoam** که ساده ترین حل کننده موجود در **OpenFOAM** است، حل می شود. حال نگاهی به درون فolder **cavity** می اندازیم. همانطور که در شکل زیر مشخص است، این فolder به فoldersها و فایل های مختلفی تقسیم می شود.



شکل الف-۱- جزئیات موجود در حل کننده cavity

فولدرهای 0، constant و system فولدرهای اصلی هر case در OpenFOAM می باشند و وجود این فولدرها برای حل مساله الزامی می باشد. فایل های موجود در این فولدر ها اصطلاحاً دیکشنری می گویند. در حقیقت این فایل ها و نوشته ها ای درون آن ها که توسط کاربر تعیین می شوند، توسط حل کننده خوانده می شوند و در حل مساله مورد استفاده قرار می گیرند. در اینجا باید خاطر نشان کرد که مثال فعلی مربوط به سالور **icoFoam** می باشد و در حل کننده های دیگر ممکن است دیکشنری های دیگری نیز لازم باشد. برای دیدن مثال از هر حل کننده می توان به case های نمونه در فolder **tutorial** مراجعه کرد. حال به بررسی دیکشنری های موجود در این فولدر ها می پردازیم.

الف-۵- فولدر constant

گردد. ابتدا نگاهی به دیکشنری `transportProperties` می‌اندازیم:

```

/*-----* C++ -----*/
=====
|   |
| \ \ / F ield      | OpenFOAM: The Open Source CFD Toolbox
| \ \ / O peration  | Version: 1.7.1
| \ \ / A nd        | Web:       www.OpenFOAM.com
| \ \ / M anipulation |
\*-----*/
FoamFile
{
    version     2.0;
    format      ascii;
    class       dictionary;
    location    "constant";
    object      transportProperties;
}
// * * * * *
* * * * */

nu           nu [ 0 2 -1 0 0 0 0 ] 0.01;

// *****
***** //
***** //

```

همانطور که در شکل مشخص است، تنها تعیین ویسکوزیته سینماتیک سیال در این حل کننده کافی می باشد. واحد τ_{u} در جلوی آن مشخص شده است و با توجه به جدول زیر و اینکه واحدهای OpenFOAM به طور پیش فرض بر روی SI تعیین شده است، واحد آن m^2s^{-1} و مقدار آن 0.01 می باشد.

```
1 2 3 4 5 6 7
[0 2 -1 0 0 0 0]
```

No.	Property	SI unit	USCS unit
1	Mass	kilogram (kg)	pound-mass (lbm)
2	Length	metre (m)	foot (ft)
3	Time	— — —	second (s) — — —
4	Temperature	Kelvin (K)	degree Rankine (°R)
5	Quantity	kilogram-mole (kgmol)	pound-mole (lbmol)
6	Current	— — —	ampere (A) — — —
7	Luminous intensity	— — —	candela (cd) — — —

فولدر دیگری که در این مکان قرار دارد، **polyMesh** است که حاوی اطلاعات شبکه مورد نظر می باشد. وقتی به داخل این فولدر می رویم دیکشنری به نام **blockMesh** قابل مشاهده است. این **OpenFOAM** در اصل مشخصات مربوط به یک **mesh generation** بسیار ساده در دیکشنری می باشد.

```
/*-----* C++ -----*/
-----*/
| ====== |
| | F ield | OpenFOAM: The Open Source CFD Toolbox
| | O peration | Version: 1.7.1
| | A nd | Web: www.OpenFOAM.com
| | M anipulation |
\*-----*/
-----*/
FoamFile
{
    version      2.0;
    format       ascii;
    class        dictionary;
    object       blockMeshDict;
}
// * * * * *
* * * * //

convertToMeters 0.1;

vertices
(
    (0 0 0)
    (1 0 0)
    (1 1 0)
    (0 1 0)
    (0 0 0.1)
    (1 0 0.1)
    (1 1 0.1)
```

```

        (0 1 0.1)
    );

blocks
(
    hex (0 1 2 3 4 5 6 7) (20 20 1) simpleGrading (1 1 1)
);

edges
(
);

patches
(
    wall movingWall
    (
        (3 7 6 2)
    )
    wall fixedWalls
    (
        (0 4 7 3)
        (2 6 5 1)
        (1 5 4 0)
    )
    empty frontAndBack
    (
        (0 3 2 1)
        (4 5 6 7)
    )
);
mergePatchPairs
(
);

// ****
***** // /

```

در این دیکشنری نقاط اصلی، تعداد نودها بر روی هر ضلع ، نام مرزها و شرایط مرزی برای یک شبکه بسیار ساده به شکل مکعب مستطیل آورده شده است. با اجرای دستور `blockMesh` در ترمینال در فolder `case` (جایی که سه فolder اصلی قرار دارند) شبکه با استفاده از این دیکشنری در فolder `polyMesh` تشکیل می شود. این شبکه شامل فایل های `.boundary` ، `.boundary` `.neighbor` و `points` `faces` `owner` می باشد که هر کدام یکی از مشخصات شبکه را در خود دارد. یکی از مهمترین این فایل ها `boundary` می باشد که شرایط مرزی کلی را در خود دارد. این شرایط مرزی برای دیوارها به صورت `wall` و برای `outlet` یا `inlet` بصورت `patch` قرار داده شود.

شرط مرزی empty مربوط به حالت حل دو بعدی می باشد. در این حالت شبکه باید به صورت سه بعدی زده شود و سپس شرایط مرزی دیواره های بعد سوم برابر empty قرار داده شوند. شرایط مرزی به صورت جزئی تر در فolder 0 تعیین می شوند که در قسمت بعدی توضیح داده خواهد شد.

نکته دیگر این که mesh generation blockMesh علاوه بر OpenFOAM (که یک ابتدائی است) قادر است شبکه را از دیگر نرم افزار ها نیز import کند. این کار با کپی کردن فرمت درست فایل شبکه هر نرم افزار و سپس اجرای دستور مربوطه انجام می شود و شبکه در fluentMeshToFoam ذخیره خواهد شد. برای مثال با استفاده از دستور polyMesh توان فایل های .msh را از openFOAM به gambit آورد و از آن استفاده کرد. بدین ترتیب که ابتدا فایل .msh را در فolder case کپی می کنیم و سپس با استفاده از ترمینال وارد کردن OpenFOAM آن را به فرمت fluentMeshToFoam <name of the file>.msh دستور تبدیل می کنیم.

این دستور ها به طور کلی عبارتند از :

netgenNeuturalToFoam	ideasUnvToFoam	fluentMeshToFoam
Plot3DToFoam	kivaToFoam	GambitToFoam
starToFoam	mshToFoam	gmshToFoam
tetgenToFoam	ssammToFoam	polyDualMesh

الف-۵-۲-فولدر 0

در این فولدر شرایط مرزی جزئی (شرایط مرزی کلی در فایل constant/polyMesh/boundary مشخص شدند) و شرایط اولیه تعیین می شوند. شرایط مرزی باید برای تمامی متغیرهای مورد استفاده در جریان تعیین شوند. چون حل کننده حاضر laminar می باشد،

با این **case**، در شکل زیر نشان داده شده اند.

کننده انتقال حرارتی، دما (T) نیز باید در این دیکشنری ها اضافه شوند. دیکشنری های P و U در

توربولانس، متغیرهای توربولانسی (k ، ϵ ، ω و...) و در صورت استفاده از حل کننده

بنابراین فقط دیکشنری های P و U در فولدر 0 موجود می باشند. در صورت استفاده از حل کننده

دیکشنری U

```
/*-----*\ C++ -----*/
| ====== |
| \\\ / F ield | OpenFOAM: The Open Source CFD Toolbox
| \\\ / O peration | Version: 1.7.1
| \\\ / A nd | Web: www.OpenFOAM.com
| \\\ / M anipulation |
\*-----*/
FoamFile
{
    version      2.0;
    format       ascii;
    class        volVectorField;
    object       U;
}
// * * * * *
* * * * */

dimensions      [0 1 -1 0 0 0 0];

internalField   uniform (0 0 0);

boundaryField
{
    movingWall
    {
        type          fixedValue;
        value         uniform (1 0 0);
    }

    fixedWalls
    {
        type          fixedValue;
        value         uniform (0 0 0);
    }

    frontAndBack
    {
        type          empty;
    }
}
```

```

}

// ****
***** //
```

دیکشنری : P

```

/*-----* C++ -----
-----*/
| ====== |
| \\      / F ield          | OpenFOAM: The Open Source CFD Toolbox
| \\      / O peration       | Version: 1.7.1
| \\ /   A nd              | Web:      www.OpenFOAM.com
| \\/   M anipulation     |
\*-----*/
-----*/
FoamFile
{
    version      2.0;
    format       ascii;
    class        volScalarField;
    object       p;
}
// * * * * *
* * * * //

dimensions      [0 2 -2 0 0 0 0];

internalField   uniform 0;

boundaryField
{
    movingWall
    {
        type           zeroGradient;
    }

    fixedWalls
    {
        type           zeroGradient;
    }

    frontAndBack
    {
        type           empty;
    }
}
```

همانطور که مشخصات در این قسمت نیز مانند فایل **boundary** ، برای مرزهای بعد سوم شرایط

مرزی **empty** استفاده می شود. مهمترین شرایط مرزی در این قسمت عبارتند از :

- **fixedValue**
- **zeroGradient**
- **fixedGradient**
- **pressureInletVelocity**
- **totalPressure**
- **InletOutlet**
- **pressureInletVelocity**
-

برای مشاهده کامل این شرایط مرزی می توانید به مرجع [۶۵] زیر مراجعه کنید.

البته کاربر می تواند با آشنایی با ساختار OpenFOAM و زبان C++ ، خود شرایط مرزی دلخواه را به این شرایط مرزی اضافه کند.

الف-۳-۵-فولدر system

این فولدر حاوی سه دیکشنری اصلی **fvSolution** ، **fvSchemes** ، **controlDict** و **fv** می باشد.

دیکشنری **controlDict** وظیفه کنترل روند زمانی حل و چاپ جواب ها را بر عهده دارد.

```
/*-----*-- C++ --*-----*
----*\n| ======\n| |\n| \\ / F ield | OpenFOAM: The Open Source CFD Toolbox\n| \\ / O peration | Version: 1.7.1\n| \\ / A nd | Web: www.OpenFOAM.com\n| \\\n| M anipulation |\n\*-----*/
```

```

FoamFile
{
    version      2.0;
    format       ascii;
    class        dictionary;
    location     "system";
    object       controlDict;
}
// * * * * *
* * * * //

application      icoFoam;

startFrom         startTime;

startTime         0;

stopAt            endTime;

endTime           0.5;

deltaT            0.005;

writeControl      timeStep;

writeInterval     20;

purgeWrite        0;

writeFormat       ascii;

writePrecision    6;

writeCompression  uncompressed;

timeFormat        general;

timePrecision     6;

runTimeModifiable yes;

//
***** / 

```

همانطور که در شکل بالا مشاهده می کنید، در قسمت `startTime` زمان مشخص شده است که در سطر پایینی برابر 0 قرار داده شده است. در دو سطر پایینی نیز به همین ترتیب زمان پایان حل برابر 0.5 قرار داده شده است. در سطر پنجم `deltaT` (به معنی گام های زمانی در حل) برابر 0.005 ثانیه قرار داده شده است. این `deltaT` مخصوصا برای سالورهای `transient` از

از مهمیت بسزایی برخوردار می باشد و با بزرگ شدن بیش از حد آن ممکن است جواب `diverge` کند. دو سطر پایین تر بدین معنی می باشند که گام های زمانی مشخصه اصلی برای چاپ نتایج باشند و همچنین به ازای هر ۲۰ گام زمانی نتایج چاپ شوند. گزینه `purgeWrite` حداکثر تعداد چاپ نتایج را مشخص می کند. مثلا با `purgeWrite` برابر ۳ ، تنها سه تا از آخرین گام های زمانی با فاصله ۲۰ از هم چاپ می شوند و بقیه از جواب ها پاک می شوند. گزینه های `timePrecision` و `writePrecision` نیز به ترتیب به معنی دقیق در نوشتن نتایج و دقیق در نوشتن زمان در چاپ فولدرها می باشد.

دیکشنری بعدی fvSchemes می باشد. این دیکشنری نحوه جدا سازی (discretization) ترم های مختلف در معادلات حاکم پر سالور را مشخص می کند.

```
/*-----*-\n| ======\n| \\\| F ield | OpenFOAM: The Open Source CFD Toolbox\n| \\\| O peration | Version: 1.7.1\n| \\\| A nd | Web: www.OpenFOAM.com\n| \\\| M anipulation |\n|\n/*-----*/\nFoamFile\n{\n    version      2.0;\n    format       ascii;\n    class        dictionary;\n    location     "system";\n    object       fvSchemes;\n}\n// * * * * *\n* * * * *
```

```

    datsSchemes
    {
        default           Euler;
    }

gradSchemes
{
    default           Gauss linear;
}

```

```

grad(p)           Gauss linear;
}

divSchemes
{
    default      none;
    div(phi,U)   Gauss linear;
}

laplacianSchemes
{
    default      none;
    laplacian(nu,U) Gauss linear corrected;
    laplacian((1|A(U)),p) Gauss linear corrected;
}

interpolationSchemes
{
    default      linear;
    interpolate(HbyA) linear;
}

snGradSchemes
{
    default      corrected;
}

fluxRequired
{
    default      no;
    p            ;
}

```

همانطور که در شکل بالا مشخص است، روش های جداسازی تمامی ترم های حاضر در معادلات

اعم از مشتقات زمانی ، دیوژانس ها ، گرادیان ها ، میانیابی ها و در این دیکشنری معین شده

است. برای آگاهی از تمامی روش های موجود برای هر بخش به مرجع [۶۶] زیر مراجعه کنید.

حال که روش جداسازی ترم ها در معادلات مشخص شد، نوبت به حل معادلات می گردد. برای

fvSolution مشخص کردن روش حل، کاربر می تواند روش حل مورد نظر خود را در دیکشنری

وارد کند.

```

/*
-----*-- C++ --*-----
-----*\ \
| ====== |
| \\     / F ield          | OpenFOAM: The Open Source CFD Toolbox
| \\     / O peration       | Version:  1.7.1
| \\   / A nd              | Web:      www.OpenFOAM.com
|   |

```

```

|   \\\|   manipulation |
|-----|
\*-----*/
FoamFile
{
    version      2.0;
    format       ascii;
    class        dictionary;
    location     "system";
    object       fvSolution;
}
// * * * * *
* * * * //

solvers
{
    p
    {
        solver          PCG;
        preconditioner DIC;
        tolerance       1e-06;
        relTol          0;
    }

    U
    {
        solver          PbiCG;
        preconditioner DILU;
        tolerance       1e-05;
        relTol          0;
    }
}

PISO
{
    nCorrectors      2;
    nNonOrthogonalCorrectors 0;
    pRefCell         0;
    pRefValue        0;
}

```

چون این حل کننده laminar است، تنها روش حل برای معادلات U و P آورده شده است. برای حل کننده های توربولانس روش حل معادلات توربولانسی نیز باید در این دیکشنری اضافه گردد، همچنین روش جداسازی ترم های این معادلات نیز باید در دیکشنری fvSchemes وارد گردند. برای اطلاع از روش ها حل مختلف معادلات به مرجع [۶۷] زیر مراجعه کنید.

در آخر این دیکشنری هم ترم های مربوط به الگوریتم PISO آمده است. اگر حل کننده Steady-

بود، این مشخصات باید برای حلقه SIMPLE نوشته می شدند.

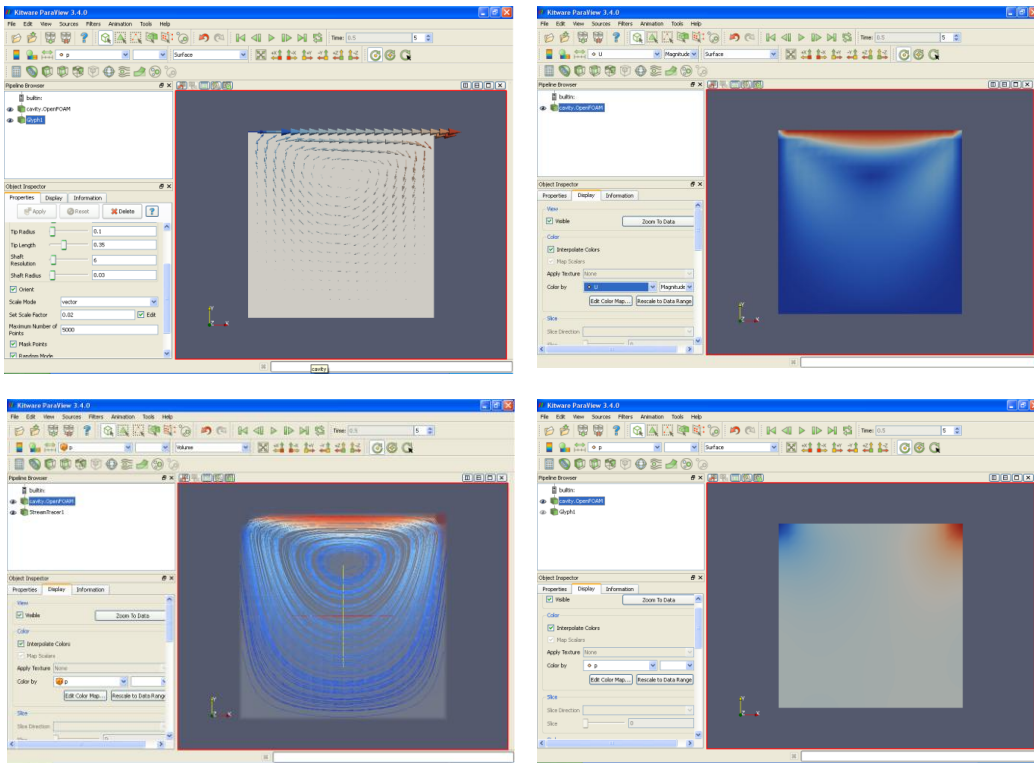
الف-۶- نحوه اجرای حل کننده و مشاهده نتایج

با کامل کردن همه دیکشنری ها، حال به سراغ اجرای حل کننده و مشاهده نتایج می رویم. برای اجرای حل کننده (در اینجا `icoFoam`) کافی است نام حل کننده را در ترمینال در فolder `case` بزنیم. برای این حالت کافی است نام `icoFoam` را در ترمینال در فolder `case` تایپ کنیم و `enter` بزنیم. با این کار حل کننده شروع به حل مساله می کند و روند حل بر روی صفحه ترمینال قابل مشاهده خواهد بود. با گذشت هر تعداد گام زمانی که در دیکشنری `controlDict` مشخص کردیم، فولدری با نام زمان مربوطه در فolder `Case` ظاهر می شود. این فolder حاوی اطلاعات `U` و `P` در نقاط مختلف می باشد.

بعد از پایان حل برای مشاهده نتایج، کافی است در ترمینال و در فolder `case` ، دستور `paraFoam` را اجرا کنید. با این کار نرم افزار `paraview` که برای `post-processing` و مشاهده نتایج در `OpenFOAM` بکار می رود اجرا می شود. این نرم افزار با قدرت بالا و امکانات وسیعی که برای مشاهده و ویرایش نتایج دارد به کاربر این امکان را می دهد تا نتایج بدست آمده را بدقت مورد بررسی قرار دهد. این نرم افزار با توانایی گرافیکی بالا قادر به مشخص کردن شبکه، نمایش بردارهای سرعت و خطوط جریان می باشد.

الف-۷- پسپردازش در `OpenFOAM`

پسپردازش در `OpenFOAM` از طریق نرم افزار `Paraview` انجام می شود. این نرم افزار با امکانات وسیعی که برای مشاهده و ویرایش نتایج دارد به کاربر این امکان را می دهد تا نتایج بدست آمده را بدقت مورد بررسی قرار دهد. این نرم افزار با توانایی گرافیکی بالا قادر به مشخص کردن شبکه، نمایش بردارهای سرعت و خطوط جریان می باشد. شکل زیر نمایی از پسپردازش های انجام شده بر روی یک حفره را نشان می دهد.



شکل الف-۲- نمونه‌ای از عملیات مختلف پس‌پردازش در *OpenFOAM*

همچنین *OpenFOAM* در صورت نیاز، قابلیت انتقال نتایج به نرمافزارهای دیگر پس‌پردازش

از جمله *tecplot* را نیز دارا می‌باشد.

کاربر می‌تواند برای هر سالور دلخواه یک نمونه از مثال‌های موجود در *tutorials* و یا اینترنت

را بررسی کرده و با مطالعه راهنمای سالور، با روش کار آن و چگونگی استفاده از دیکشنری‌ها آشنا

شود. مراجع [۶۲ و ۶۳ و ۶۷] در جهت آشنایی خواننده با *OpenFOAM* توصیه می‌شوند.

مراجع

- 1- Delluer , J . W. , and McManus , D . S (1959). , " **Secondary Flow In Straight Open Channels**" , Proceedings 6th Midwest Conference on Fluid Mechanics , Austin , Texax , Sep , p . 81.
- 2- Nikuradse , J. (1926) . ,"**Untersuchunge u"ber die Geschwindikeitsverteitung in turbulenten stro"mungen**", Thesis Go"ttingen,VDI-Forschungsheft 281,Berlin.
- 3- Nikuradse , J. (1930) ,"**Turbulente stro"mung in nicht kreisfo"rmigen Rehren**", Ing. Arch . , 1,306
- 4- Prandtl , L. , Proc (1926). 2nd International Congress of Applied Mechanics p. 71, et seq (Zurich , 1927) (Also translated as NACA TM-435).
- 5- Moissis , R (1957). " **Secondary Flow In Rectangular Ducts** " , Thesis in Mech . Engr , M . I . T . June.
- 6- Maslen , S . H .(1958) ,"**Transverse Velocities In Fully Developed Flows**", Quarterly of Applied Mathematics , Vol 16, p .173.
- 7- Howarth , L . (1934), "**Concerning Secondary Flow In Straight Pipes**", Proc. , Cambridge phil. Soc. , 34 .
- 8- Einstein , H . A. , and Li , Huon(1958) , " **Secondary Current In Straight Channels**" , Trans . Amer . Geophysical Union , Vol 39, No . 6.
- 9- Deissler, R. G. , and Taylor, M. F.(1958) , " **Analysis of Turbulent Flow and Heat Transfer In Noncircular Passages**" , NACA-TN 4384, Sept.
- 10- BRADSRAWP., (1987) "**Turbulent secondary flows**". Ann. Rev. Fluid Mech. 19, 53-74.
- 11- J. Nikuradse(1930) , Ing . Arch .1 , 306 .
- 12- DEMUREN, A . O. & RODI,W . (1984), " **Calculation of turbulence-driven secondary motion in noncircular ducts**" . J . Fluid Mech. 140, 189-222.
- 13- Hoagland, 'L. C. (1960), Ph.D. thesis, Massachusetts Institute of Technology.

- 14- Brundrett. E. and Baines,W. D. J. Fluid Mech. 19, 375 (1964).
- 15- Leutheusser, H. J, Hydraul, J. Div. A&. Sot. Civil Eng. 89, 1 (1963).
- 16- Gessner, F. B. and Jones, J. B. (1965). " **A Reynolds Stress Model for Turbulent Corner Flow.**" . J. Fluid Mech. 23: 689.
- 17- Gessner, F. B. J,(1993), " **Numerical Simulation of low-Reynolds-number Turbulent Flow Through a straight Square Duct**", Fluid Mech. Vol. 401, p.201-203.
- 18-Launder B. E. and Ying, W. M. (1972) , " **Secondary Flows in Ducts of Square Cross Section.**" J. Fluid Mech. 54:289-295.
- 19- Gessner, F. B. J. K. PO, and A. F. Emery (1979), " **Turbulent Shear Flows**" I (Springer-Verlag, Berlin), p. 119.
- 20-Speziale, C.G. (1984)," **Computation of Internal Flows: Methods and Applications**" (ASME, New York, FED 14 , p. 101.
- 21- Speziale, C.G. (1987), " **On Nonlinear $k - \varepsilon$ Models of Turbulence.**" J . Fluid Mech. 178:459-475.
- 22-Nisizima,(1990)," **Turbulent Channel and Couette Flows Using an Anisotropic $k - \varepsilon$ Model.**" AIAA J. 25: 414-420.
- 23- Deardorff J.(1970), A " **Numerical Study of Three-Dimensional Turbulent Channel Flow at Large Reynolds Numbers**", J. Fluid Mech., Vol 41: 453-80.
- 24- Smagorinsky J.S.,(1963) " **General circulation experiments with the primitive equations**", I, the basic experiment, Mon. Weather, Rev.91:99-164.
- 25-GAVRILAKIS. S. (1992), " **Numerical simulation of low-Reynolds-number turbulent flow through a straight square duct**". J . Fluid Mech. vol. 244, p p . 101-129.
- 26- Germano M., Piomelli U., Moin P., Cabot W.H.(1991), " **A dynamic Sub Grid-Scale Eddy Viscosity Model**", Phys. Fluids, A3, 1760–1765.

- 27- Ghosal S., Lund T.S., Moin P., Akselvoll K.(1995)," **A Dynamic Localization Model for Large Eddy Simulation of Turbulent Flows**", Journal of Fluid Mechanics, Vol. 286, Mar, pp. 229-255.
- 28- Kim, J., Moin, P.(1985), "Application of a Fractional-Step Method to Incompressible Navier-Stokes Equations", Journal of Computational Physics, Vol. 59,.
- 29- Shah, K.B. (1998), "Large eddy simulations of flow past a cubic obstacle", Ph.D. Dissertation, Department of Mechanical Engineering, Stanford University.
- ٣٠- حل عددی جریان آشفته به روش گردابه های بزرگ با استفاده از مدل زیرشبکه دینامیکی موضعی ، تابستان ۱۳۸۹، قاسم حیدری نژاد- توحید صداقت - مجله فنی و مهندسی مدرس، مکانیک. دوره دهم، شماره دو.
- 31-Aly, A.A.M. Trupp, A.C. and A.D.Gerrard,(1978), "Measurements and prediction of fully developed turbulent flow in an equilateral triangular duct",J.Fluid Mech.85,pp.57-83.
- 32- Fujita,H. Yokosawa H. and Hirota,M. (1989), "Secondary flow of the second kind in rectangular ducts with one rough wall", Exp.Thermal Fluid Sci.2,pp. 72-80.
- 33-Metzger, D.E and Vedula,R.P. (1987),"Heat transfer in triangular channels with angled ribs on two walls",Exp.Heat Transfer 1,pp.31-44.
- 34- Myong, H.K. (1991), "Numerical investigation of fully developed turbulent flow and heat transfer in a square duct". Int.J.Heat Fluid Flow 12 , 344.
- 35-Myong. H.K and Kobayashi,T. (1991), "Numerical simulation of three – dimensional developing turbulent flows in a square duct with the anisotropic k- ϵ model". In Advances in Numerical Simulation of Turbulent Flows; ASME FED 117, 17. ASME, New York.

- 36- Myong, H. K. and Kobayashi,T. (1991), "Prediction of three-dimensional turbulent flow in a square duct with an anisotropic low Reynolds number k- ϵ model". Trans. ASME JI Fluids Engng 113,608.
- 37 - Prandtl,L. (1953), "Essentials of Fluid Dynamics", Hafner, New York, p. 148.p.
- 38- McGraw Hill ,(1979), H. "Schlichting, Boundary Layer Theory" (New York,).
- 39- Bradshaw, P. (1987), "Turbulent Secondary Flows". Annual Rev Fluid Mech; 19;53-74.. Rev. Fluid Mech. 19, 53.
- 40- Demuren, A. (1990), "Calculation of Turbulence-Driven Secondary Motion in Non-Circular Ducts". J. Fluid Mech. 140:189-222.
- 41- GAVRILAKIS, S.(1992) , "Numerical simulation of low-Reynolds-number turbulent flow through a straight square duct". J . Fluid Mech. vol. 244, p p . 101-129.
- 42- A. Huser and S. Birigen, J. Fluid Mech. 257, 65 (1993).
- 43- Townsend , A . A . ,(1956), "The Structure of turbulent shear flow , Cambridge monographs on mechanics and applied mathematics" , Cambridge univ press , London , p 259 .
- 44- Lawrence C.Hoagland. (1960), "fully developed turbulent flow in straight rectangular ducts-secondary flow, it's cause and effect on the primary flow" , by September .
- 45- Madabhushi, Ravi K. and vanka, S.P. , (1991),"Large Eddy Simulation of Turbulence – driven secondary flow in a square duct" , Urbana Illinois 6801 .
- 46-Baldwin, B. S. and Lomax, H. (1978). "Thin Layer Approximation and Algebraic Model for Separated Turbulent Flows". AIAA .
- 47-Kolmogorov,A.N.(1942), "Equations of Turbulent Motion of an Incompressible Fluid", Izvest. Akad. Nauk. USSR, Ser, Phys.,6, 56-58.

- 48- Wilcox, D. C. (1988). "**Reassessment of the Scale – Determining Equation for Advanced Turbulence Models**". AIAA J. 26.
- 49- Wilcox, D. C. "**Turbulence Modeling for CFD**" (1998), 2. Dd., DCW Industries Inc.,
- 50- Bernard, P.S., Wallace, J. (2002), "**Turbulent Flow**", Pub. John Wiley, Hoboken, NJ.
- 51- Henderson, R.D., Barkley, and Gomez,(1998). G. "**Instability and transition in flow over a backward facing step**", 13th Australian fluid mechanics conference, Melbourne, Australia, Dec.
- 52- Schlichting, H. (2002), "**Boundary-layer theory**", 8th rev.,Springer, ISBN 3-540-66270-7.,
- 53- Stephen B .pope (1978) ., "**Turbulent Flows**", p : 558-559
- 54-Leonard A. Energy Cascade in (1973),"**Large Eddy Simulation of Turbulent Fluid Flows, In Turbulent diffusion in environmental pollution**"; Proceeding of the Second Symposium, Charottesville, Va., April 8-14., Volume A.
- 55- Smagorinsky J.S.(1963), "**General circulation experiments with the primitive equations**", I, the basic experiment, Mon. Weather , Rev. 91:99-164.
- 56- Pope, S. B. (1985). "Pdf Methods for Turbulent Reactive Flows. Prog. Energy Combust. Sci.
- 57- Xue, S. C. Phan-Thien, N. Tanner ,R.I. (1995). "**Numerical study of secondary flows of viscoelastic fluid in straight pipes by an implicit finite volume method**". s.l. , J. Non-newtonian Fluid Mech.,

- 58- Oliveira , P. J. and R. I .Issa. (2001). "An improved PISO algorithm for the computation of buoyancy-driven flows. Numerical Heat Transfer", Part B, 40:473-493.
- 59- Nilsson. H. The PISO algorithm(2007), "The incompressible flow equations. Notes from PhD Course in CFD with OpenSource software", Department of Thermo and Fluid Dynamics, Chalmers University of Technology, Goteborg, Sweden.
- 60- Issa . R. I. (1985)." Solution of the implicitly discretized fluid flow equations by operator-splitting". Journal of Computational Physics, 62:40-65.
- 61- www.openfoam.com
- 62- <http://www.openfoam.com/features/standard-solvers.php>
- 63-IcoFoam. OpenFOAM Wiki page at <http://openfoamwiki.net/index.php/IcoFoam>, 2009.
- 64- www.sourceforge.net
- 65- <http://www.openfoam.com/docs/user/boundaries.php>
- 66- <http://www.openfoam.com/docs/user/fvSchemes.php>
- 67- <http://www.openfoam.com/docs/user/fvSolution.php>
- 68- <http://www.openfoamwiki.net>

Abstract

Turbulent flow inside square ducts represent important engineering issues, which are characterised by the existence of secondary flows. A phenomenon not observed in circular ducts nor in fully developed laminar flows through straight rectangular ducts.

Many researches about secondary flow in non-circular duct is conducted for square duct. In this research, fully developed turbulent flow in non-circular straight ducts with square, rectangular, triangular and regular polygon of cross sections has been simulated using the large eddy simulation for an incompressible flow and the presence or absence of secondary flows is investigated.

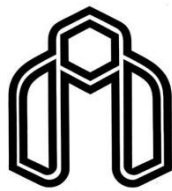
In this model Navier-Stokes Equations using the finite volume method on non-uniform grid for the entire field using Smagorinsky model will be considered.

The secondary velocities are usually about 0.5%-1% of the streamwise bulk velocity in magnitude but appreciably alter the rates of momentum and heat transfer near the walls. This secondary flow has been thought to be arising due to the anisotropy of the Reynolds stresses.

There is no secondary flow in circular duct. Therefore in second section of this research, the corners of these sections is rounded and step by step round radius is increased and cross section likes circle, and the presence or absence of secondary flows is investigated.

Flow simulation is performed using OpenFOAM software. PisoFoam solver is used in this simulation that is created for single-phase and incompressible fluid. Numerical solution methods used in pisoFoam solver is based on PISO algorithm.

Keywords: Turbulent flow, Duct, Non-circular cross sections, Open source OpenFOAM, Large Eddy Simulation, Rounding corne



**Shahrood University of Technology
Faculty of Civil and Architecture Engineering**

Numerical Simulation of Turbulent Flow in Non- Circular Ducts

Sakineh Ammarlu

Supervisors:

**Dr. Ramin Amini
Dr. Mahmood Norouzi**

July 2012